

UNIVERSITE DE NANCY I

Dactyl  
FACULTE DES SCIENCES

Double Sc. N. 71/97 B

**SYSTEME GENERAL**  
**D'ANALYSE SYNTAXIQUE**



**THESE**

pour l'obtention du

**DOCTORAT de SPECIALITE MATHEMATIQUES (3ème CYCLE)**

Soutenu devant le Jury le 6 Novembre 1971

par

**CLAUDE LEMAIRE**

2

Jury : Mr LEGRAS J. , Président  
Mr DEPAIX M. , Examineur  
Mr PAIR C. , Examineur

UNIVERSITE DE NANCY I

FACULTE DES SCIENCES

**SYSTEME GENERAL**

**D'ANALYSE SYNTAXIQUE**



par

**CLAUDE LEMAIRE**

Je remercie Monsieur le Professeur J. LEGRAS,  
Directeur de l'Institut Universitaire de Calcul Automatique,  
qui m'honore de sa présence dans le Jury.

Ce travail a été effectué sous la direction de  
Monsieur le Professeur C. PAIR à qui j'adresse l'expression  
de ma haute considération pour l'enseignement qu'il m'a  
prodigué, ainsi que pour l'aide précieuse qu'il m'a apportée  
dans ce travail.

J'exprime ma gratitude à Monsieur le Professeur  
M. DEPAIX qui a accepté de faire partie du Jury.

Je tiens également à remercier toute l'équipe de  
l'Institut de Calcul Automatique et particulièrement  
Mademoiselle D. COLIN qui a réalisé matériellement ce travail.

## SOMMAIRE

### INTRODUCTION

#### CHAPITRE I - GENERALITES

- 1.1 - Rappel sur les graphes
- 1.2 - Quelques définitions à propos du monoïde libre  $V^*$  sur le vocabulaire  $V$
- 1.3 - Langage local et langage régulier
- 1.4 - Langage de parenthèses
- 1.5 - Pile
- 1.6 - Ramifications sur  $V$
- 1.7 - Grammaires de Chomsky
- 1.8 - Bilangages

#### CHAPITRE II - ETUDE DE L'ANALYSE SYNTAXIQUE PAR «LES STRUCTURES COMPATIBLES» DE BINOÏDE UNIVERSEL SUR LES LANGAGES DE PARENTHÈSES

- 2.1 - Etude du binoïde universel parenthétique sur un alphabet  $V$
- 2.2 - Définition des structures compatibles d'un binoïde universel sur les langages de parenthèses
- 2.3 - Etude de quelques «structures compatibles»
  - 2.3.1 - Analyse descendante parenthétique
  - 2.3.2 - Analyse descendante prédictive
  - 2.3.3 - Analyse ascendante
- 2.4 - Analyse avec marqueurs

#### CHAPITRE III - ETUDE DU PASSAGE D'UNE GRAMMAIRE AUX QUADRUPLETS $(V', g, K, h)$ POUR UNE STRUCTURE COMPATIBLE DONNÉE

- 3.1 - Représentation en mémoire d'un graphe, d'un langage local, d'un langage régulier et d'une grammaire
- 3.2 - Algorithme
- 3.3 - Etude des programmes de passage d'une grammaire aux quadruplets  $(V', g, K, h)$  associés aux structures compatibles

3.4 - Etude des circuits des graphes des transitions des langages locaux :  
 $L_1, L_2, L_3$ .

#### CHAPITRE IV - PROGRAMMES D'ANALYSE

- 4.1 - Introduction
- 4.2 - Etude du fonctionnement de l'Automate
- 4.3 - Analyse par empilement et retour-arrière
- 4.4 - Analyse par traitement en parallèle

#### CHAPITRE V - ETUDE DES TESTS

- 5.1 - Introduction
- 5.2 - Définition des « triplets acceptables »
- 5.3 - Etude des « triplets intermédiaires »
- 5.4 - Programmation de l'algorithme (3)
- 5.5 - Etude contextuelle

#### CONCLUSION

## INTRODUCTION

Jusqu'à présent pour réaliser l'analyse syntaxique d'un mot appartenant au langage engendré par une grammaire de Chomsky (ou C-grammaire) nous avons à notre disposition un certain nombre de méthodes d'analyse qui pouvaient être utilisées séparément (PAIR [1], [4]). Il s'agit dans cette étude de jeter les prémices de la construction d'un "système général d'analyse", qui pour toute C-grammaire,  $G=(T \cup N, \rightarrow, X)$ , nous fournirait un "programme d'analyse" constitué essentiellement par un quadruplet  $(V', g, K, h)$ , avec

- $g$  une application de  $V'$  dans  $V$  ( $V = T \cup N$ )
- $K$  un langage régulier sur  $V' \cup \bar{V}'$
- $h$  un homomorphisme alphabétique de  $V'^*$  dans  $T^*$ , qui à tout mot  $\alpha$  de  $T^*$  associe l'ensemble,  $h^{-1}(\alpha) \cap g^*(K \cap P(V'))$ , (1), des analyses de  $\alpha$  selon la grammaire  $G$ .

Ce système d'analyse permettrait en particulier l'étude du choix automatique de la méthode d'analyse la mieux adaptée à une grammaire  $G$ . Nous nous contenterons en fait, de donner une formalisation de l'analyse syntaxique, suggérée par Monsieur PAIR [4], qui conduise aux ensembles définis ci-dessus, (1), ainsi qu'aux techniques qui conviennent à leur construction.

## ERRATA

p. 8 - ligne 14 :

-  $v(r+s) > v(r)$  si  $s \neq \Lambda$ ,  $v(r+s) > v(s)$  si  $r \neq \Lambda$

p. 12 - ligne 12 :

" Z est une initiale de Y "

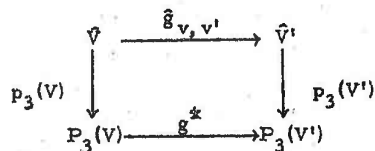
p. 18 - ligne 24 :

1) Soit L un bilangage régulier de  $P_1(V)$ , non réduit au mot vide

p. 20 - ligne 14 :

, la structure S est dite compatible si

p. 25 -



p. 32 - avant dernière ligne :

une analyse de gauche à droite qui

p. 44 - ligne 3 :

$$K_3^- = K_3 \cap L(V)$$

p. 74 - ligne 13 :

, par l'isomorphisme de binômes,  $p$ , de  $\hat{W}$  dans le binôme ...

p. 95 -

Dans le titre, il faut lire : Chapitre V et non : Chapitre IV.

p. 117 - ligne 16 :

Soit une fausse piste pour le couple  $(v, \gamma)$

- ligne 22 :

$$(g_q(\hat{v}), g_k(\hat{\gamma}))$$

- ligne 21 :

Si nous supposons,  $q' \geq q$  et  $k' \geq k$ , et que nous connaissons les ensembles  $\mathcal{E}(q, k, x)$ , une condition suffisante ...

p. 121

Dans la proposition 5, il faut lire  $(p_2(t)v, a\gamma)$  au lieu de  $(p_2(t)v, q\gamma)$

## CHAPITRE I

### Généralités

### RAPPEL SUR LES GRAPHS

Définition : Un graphe est un couple  $(E, \Gamma)$ , formé :

- d'un ensemble  $E$ ,
- d'une relation binaire,  $\Gamma$ , dans  $E$ .

#### Chemin d'un graphe $(E, \Gamma)$

Une suite  $(x_0, \dots, x_n)$  de points du graphe  $(E, \Gamma)$  telle que :

$x_{i-1} \Gamma x_i$ , pour  $i=1, 2, \dots, n$ , est un chemin du graphe  $(E, \Gamma)$  qui joint  $x_0$  à  $x_n$  ;  $x_0$  est son origine et  $x_n$ , son extrémité.

On emploiera dans la suite la notation,  $C(A, B)$ , pour désigner l'ensemble des chemins d'un graphe  $(E, \Gamma)$ , d'origine dans le sous-ensemble  $A$  de  $E$  et d'extrémité dans le sous-ensemble  $B$  de  $E$  (ceci, lorsqu'il n'y aura pas d'ambiguïté sur le graphe utilisé)

#### Successesurs d'un point, $x$ , de $(E, \Gamma)$

On notera,  $\Gamma(x)$ , l'ensemble des successesurs de  $x$  :

$$y \in \Gamma(x) \iff x \Gamma y.$$

#### Prédécesseurs d'un point $x$ de $(E, \Gamma)$

On notera,  $\Gamma^{-1}(x)$ , l'ensemble des prédécesseurs de  $x$  :

$$y \in \Gamma^{-1}(x) \iff y \Gamma x$$

#### Circuit d'un graphe $(E, \Gamma)$

Un circuit sur  $x$  est un chemin de  $(E, \Gamma)$  dont l'origine et l'extrémité sont confondues avec le point  $x$ .

#### Chemin élémentaire et circuit élémentaire :

Un chemin (ou un circuit),  $(x_0, x_1, \dots, x_n)$  est élémentaire si :

$$(\forall i, j \in \{0, 1, \dots, n\}) (i \neq j) (x_i \neq x_j).$$

#### Sous-graphe d'un graphe $(E, \Gamma)$

Un couple  $(E', \Gamma')$  est un sous-graphe de  $(E, \Gamma)$  si  $E'$  est un sous-ensemble de  $E$  et  $\Gamma'$  la restriction de  $\Gamma$  à  $E$ .

1.2 - QUELQUES DEFINITIONS A PROPOS DU MONOIDE LIBRE  $V^*$  SUR UN VOCA-

LAIRE V

Longueur d'un mot  $\alpha$  de  $V^*$ :

Soit,  $\alpha = a_1 a_2 \dots a_k$  un mot sur  $V$  :  $k$  est la longueur de  $\alpha$ .

On notera :  $|\alpha| = k$ .

Facteurs d'un mot sur  $V$ :

Soient  $\alpha, \beta, \gamma$  trois mots sur  $V$  tels que :  $\alpha = \beta \gamma$ .

On dit que  $\beta$  est facteur gauche de  $\alpha$ , et que  $\gamma$  est facteur droit de  $\alpha$ .

Facteurs gauches de longueur donnée:

Soit,  $g_k$ , l'application qui associe à tout mot  $\alpha$  de  $V^*$ , son facteur gauche de longueur  $k$ , lorsque  $|\alpha| \geq k$  et  $\alpha$  lorsque  $|\alpha| < k$ .

On démontre aisément les propriétés suivantes :

$$\forall \alpha, \beta \in V^* \quad g_k(\alpha\beta) = g_k(g_k(\alpha)g_k(\beta)).$$

- et d'une manière générale en désignant par  $\prod_{i=1}^p \alpha_i$ , la concaténation des mots,  $\alpha_i$ , de  $V^*$  on a :

$$g_k \left( \prod_{i=1}^p \alpha_i \right) = g_k \left( \prod_{i=1}^p g_k(\alpha_i) \right)$$

$$- (\forall k, k' \in \mathbb{N}) (k \leq k') : g_k \circ g_{k'} = g_k$$

Réfléchi ou miroir d'un mot de  $V^*$

Si un mot  $\alpha$  de  $V^*$  s'écrit  $a_1 a_2 \dots a_k$ , le mot réfléchi de  $\alpha$ , noté  $\tilde{\alpha}$  est :  $a_k a_{k-1} \dots a_2 a_1$ .

1.3 - LANGAGE LOCAL ET LANGAGE REGULIER

Définition d'un langage local sur  $V$ : Soient  $D$  et  $F$  deux sous-ensembles de  $V$  et  $t$  une partie de  $V \times V$ . Le langage local sur  $V$  est le langage formé des mots  $a_1 a_2 \dots a_n$  non vides qui possèdent les propriétés suivantes :

$$- a_1 \in D$$

$$- a_n \in F$$

- les couples  $(a_{i-1}, a_i)$  appartiennent à  $t$  pour :  $2 \leq i \leq n$ .

Graphe des transitions d'un langage local  $L$  sur  $V$ :

Soit le graphe,  $g\ell = (V, \Gamma)$ , défini par,

$$\forall x, y \in V \quad x \Gamma y \iff (x, y) \in t$$

Le langage local  $L$ , d'ensemble initial  $D$ , d'ensemble final  $F$ , et d'ensemble de transitions  $t$ , est l'ensemble des chemins du graphe  $g\ell$  dont l'origine appartient à  $D$ , et l'extrémité à  $F$ . On représentera généralement un tel langage local par le quadruplet :  $(V, D, F, g\ell)$ . Le graphe  $g\ell$  est appelé graphe des transitions de  $L$ .

Langage régulier (ou langage de Kleene)

Nous ne rappellerons pas les diverses définitions des langages réguliers, car nous nous intéresserons plus particulièrement aux langages réguliers considérés comme transcrits de langages locaux; on sait en effet (voir [3]) :

Les langages réguliers ne contenant pas le mot vide sont les langages transcrits des langages locaux.

On peut ainsi caractériser les langages réguliers, comme étant les transcrits des langages locaux, éventuellement réunis au mot vide.

LANGAGE DE PARENTHESSES

Soit un ensemble  $V$ ; ses éléments sont considérés comme des parenthèses ouvrantes. A chacune d'elles,  $a$ , on associe une parenthèse fermante,  $\bar{a}$ , n'appartenant pas à  $V$ .

On appelle,  $\bar{V}$ , l'ensemble de ces parenthèses fermantes ( $W = V \cup \bar{V}$ ).

Soit,  $0$ , un élément n'appartenant pas à  $V^*$ .

Définition: Soit  $\iota$  l'application du monoïde libre  $V^*$  dans  $V^* \cup \{0\}$  définie par récurrence :  $\forall a \in V$ ,

$$- \iota(\Lambda) = \Lambda \quad (\Lambda \text{ est le mot vide de } V^*)$$

$$- \text{si } \iota(\alpha) \neq 0, \text{ alors } \iota(\alpha a) = \iota(\alpha) a, \text{ sinon } \iota(\alpha a) = 0$$

$$- \text{si } \iota(\alpha) = \beta a, \text{ alors } \iota(\alpha \bar{a}) = \beta$$

$$- \text{si } \iota(\alpha) = 0 \text{ ou si } \iota(\alpha) \text{ est un mot non terminé par } a, \text{ alors } \iota(\alpha \bar{a}) = 0.$$

L'ensemble  $P(V)$  des mots  $\alpha$  sur  $W$  tels que :  $\iota(\alpha) = \Lambda$ , s'appelle langage parenthèses déduit de  $V$ . On énoncera sans les démontrer quelques propriétés de l'application  $\iota$ , et du langage de parenthèses  $([4])$ .

Propriétés :

Soient  $\alpha, \alpha', \beta$  des mots sur  $W$ .

- 1)  $\iota(\alpha) = \iota(\alpha') \Rightarrow \iota(\alpha\beta) = \iota(\alpha'\beta)$
- 2)  $\iota(\alpha) = 0 \Rightarrow \iota(\alpha\beta) = 0$
- 3)  $\iota(\alpha) \neq 0$  et  $\iota(\beta) \neq 0 \Rightarrow \iota(\alpha\beta) = \iota(\alpha)\iota(\beta)$
- 4) Soit  $\alpha$  un mot non vide appartenant à  $P(V)$ .

Il existe  $a \in V, \beta \in P(V), \gamma \in P(V)$  uniques et tels que :

$$\alpha = a\beta\bar{a}\gamma.$$

- 5)  $\iota(\iota(\alpha)) = \iota(\alpha)$

Lemme 1 :

Soient  $\alpha$  et  $\beta$  des mots sur  $W$ , alors  $\iota(\alpha\beta) = \iota[\iota(\alpha)\beta]$

Démontrons-le par récurrence sur la longueur de  $\beta$ .

Pour  $\beta$  appartenant à  $W, (|\beta|=0)$ , le lemme traduit exactement la définition de l'application  $\iota$ . Supposons le démontré pour des mots de longueur inférieure.

Soit  $\beta$  un mot de  $W^*$ , de longueur égale à  $n : \beta = \beta'b, b \in W$  ;

$\iota(\alpha\beta) = \iota(\alpha\beta'b) = \iota(\iota(\alpha\beta')b)$ , mais  $\beta'$  étant de longueur égale à  $(n-1)$  :

$$\iota(\alpha\beta) = \iota[\iota(\alpha)\beta'].$$

$$\iota(\alpha\beta) = \iota[\iota(\iota(\alpha)\beta')b] = \iota(\iota(\alpha)\beta'b) = \iota(\iota(\alpha)\beta).$$

Lemme 2 :

$$\forall \alpha, \beta \in W^*, \forall a, b \in V : \alpha a \bar{b} \beta \in P(V) \Rightarrow a = b.$$

Démonstration : Soit  $m = \alpha a \bar{b} \beta$ , un mot de  $P(V)$ .

En particulier :  $\iota(m) = \Lambda \neq 0$ .

$\iota(\alpha a \bar{b} \beta) = \iota[\iota(\alpha a \bar{b})\beta]$ , et  $\iota(\alpha a \bar{b}) = \iota[\iota(\alpha a)\bar{b}]$ , mais  $\iota(\alpha a) \neq 0$ , car sinon on aurait  $\iota(m) = 0$  ; on peut donc écrire,  $\iota(\alpha a) = \alpha'a, \alpha'$  appartenant à  $V^*$ .

La condition nécessaire pour que  $m$  puisse appartenir à  $P(V)$  est l'égalité, car sinon :  $\iota(\alpha a \bar{b}) = \iota(\alpha'a \bar{b}) = 0 \Rightarrow \iota(m) = 0$ .

La proposition suivante nous sera utile au chapitre 2.

Proposition 1 :

Soit  $K$  un langage régulier sur  $W = V \cup \bar{V}$ , et  $L$  le langage local sur  $W$ , admettant comme ensemble de transitions :

$$\{ab, \bar{a}\bar{b}, a\bar{a} ; \forall a, b \in V\}.$$

Alors le langage régulier sur  $W, K^* = K \cap L$  vérifie :

$$P(V) \cap K = P(V) \cap K^*.$$

Démonstration :

La proposition est une conséquence du lemme 2 dont on déduit

$$\text{l'égalité : } P(V) = P(V) \cap L.$$

Transcriptions entre monoïdes libres et transcriptions de parenthèses :

Toute application  $g$  de  $V$  dans  $V'$  se prolonge en un homomorphisme unique,  $g^*$  du monoïde libre  $V^*$  dans le monoïde libre  $V'^*$  :

$$\forall a_i \in V, \text{ pour } i=1, 2, \dots, n, \quad g^* \left[ \prod_{i=1}^n a_i \right] = \prod_{i=1}^n g(a_i)$$

Nous dirons qu'un tel homomorphisme est une transcription entre monoïdes libres.

Toute transcription,  $g^*$ , d'un monoïde libre  $V^*$  dans un monoïde libre  $V'^*$ , peut

être prolongée en un homomorphisme du langage de parenthèses  $P(V)$  dans le langage de parenthèses  $P(V')$  en convenant :  $\forall a \in V, g(\bar{a}) = \overline{g(a)}$ .

Une telle transcription sera dénommée transcription de parenthèses.

PILE

Définition [ 1 ] :

Soit un ensemble  $V$ . On appelle pile sur  $V$  toute suite finie

$U = (u_0, u_1, \dots, u_n)$  d'éléments de  $V^*$  telle que :

- 1)  $u_0 = u_n = \Lambda$
- 2) pour  $i=1, \dots, n$  il existe  $a_i \in V$  tel que  $u_i = u_{i-1} a_i$  ou  $u_{i-1} = u_i a_i$  ; dans le premier cas,  $i$  est une entrée de  $a_i$  ( $a_i$  est le sommet de  $u_i$ ), dans le second  $i$  est une sortie de  $a_i$  ( $a_i$  est le sommet de  $u_{i-1}$ ).

Les mots  $u_0, u_1, \dots, u_n$  sont les états de la pile.

Remarque :

L'application,  $\nu$ , associée à tout mot  $\alpha = \alpha_1 \dots \alpha_n$ , appartenant à  $P(V)$  la pile,  $(\nu(\alpha_0), \nu(\alpha_1), \dots, \nu(\alpha_n))$ , de façon biunivoque, si l'on pose :  $\alpha_0 = \Lambda$  et  $\alpha_i = x_1 \dots$ . Nous utiliserons le théorème suivant, [1], dans le chapitre 3.

Théorème 1 : Soit  $u_i$  un état non vide d'une pile  $U$ , et  $j$  le plus petit  $i$  supérieur à  $i$  tel que :  $|u_j| < |u_i|$   
 a) pour  $i \leq k < j$ ,  $u_i$  est facteur gauche de  $u_k$ .  
 b)  $j$  est une sortie du sommet de  $u_i$ .

Pile simple : Une pile  $U$  sur un ensemble fini  $V$  est simple lorsque tout élément de  $V$  possède une entrée et une seule dans  $U$ .

Les piles simples jouent un rôle important dans l'étude des "piles attachées aux ramifications" ([1]).

Mot lié à une pile :

Soit  $U = (u_0, \dots, u_n)$  une pile sur  $V$  ; associons à  $U$  une suite de mots sur la manière suivante :

$$m_0 = \Lambda$$

$$\text{pour } i=1, 2, \dots, n \begin{cases} m_i = m_{i-1} e_i & \text{si } i \text{ est une entrée de } e_i, \\ m_i = m_{i-1} & \text{si } i \text{ est une sortie de } e_i, \end{cases}$$

Le mot  $m = m_n$  est appelé mot d'entrée de la pile  $U$ .

1.6 - RAMIFICATIONS SUR V

Rappelons brièvement que les ramifications sur  $V$  ([2]) peuvent être définies comme des suites finies de pseudo-arborescences sur  $V$ . L'ensemble des ramifications sur  $V$  c'est à dire le monoïde libre déduit de l'ensemble,  $\mathcal{A}(V)$ , des pseudo-arborescences sur  $V$  sera noté  $\hat{V}$ . La loi de composition de ce monoïde sera notée  $+$  ; l'élément neutre de cette loi sera nommée ramification vide et noté  $\Lambda$ .

La figure 1 schématise une ramification sur  $V = \{a, b, c, f, e\}$ .

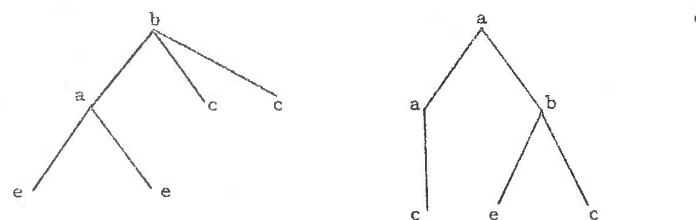


Figure 1

Une approche plus intéressante de la notion de ramification peut être faite par celle de binofde.

Binofde sur V : C'est un ensemble muni,

- 1) d'une loi de composition interne associative,  $+$ , avec élément neutre, noté  $\Lambda$ .
- 2) d'une loi de composition externe,  $\times$ , à opérateurs dans  $V$ . On peut donner une définition axiomatique de  $\hat{V}$  ([4]) qui est d'un emploi facile dans l'étude des ramifications.

Axiomes :

- 1)  $\hat{V}$  est un binofde sur  $V$
- 2) Soit  $r \neq \Lambda$  une ramification de  $\hat{V}$  ; il existe  $a \in V, s \in \hat{V}, t \in \hat{V}$  uniques tels que :  $r = a \times s + t$
- 3) Il existe une application  $\nu$  de  $\hat{V}$  dans  $\mathbb{N}(\ast)$  telle que :
  - $\nu(\Lambda) = 0$
  - $\nu(r+s) > \nu(r)$  si  $r \neq \Lambda, \nu(r+s) > \nu(s)$  si  $s \neq \Lambda$
  - $\nu(a \times r) > \nu(r)$ .

En utilisant les lois  $+$  et  $\times$ , la ramification de la figure 1 peut se décomposer comme suit :

$$\{b \times [a \times (e+e) + c + c]\} + \{a \times [(a \times c) + b \times (e+c)]\} + d$$

Principe de récurrence : On définit dans  $\hat{V}$  un principe de récurrence qui permet de démontrer de nombreuses propriétés sur les ramifications :

(\*) Nota : On notera toujours  $\mathbb{N}$  pour désigner l'ensemble des entiers naturels.

- Soit P un prédicat tel que :
- 1)  $P(\wedge)$  est vrai
  - 2)  $(\forall r, s \in \hat{V}) P(r) \text{ et } P(s) \implies (\forall a \in V) P(r+axs)$ , alors  $P(r)$  est vrai pour tout  $r \in \hat{V}$ .

En particulier il nous permet de définir par récurrence un certain nombre d'applications :

- . Appelons mot des feuilles d'une ramification  $r$  de  $\hat{V}$  le mot  $\varphi(r)$  sur tel que l'application  $\varphi$  de  $\hat{V}$  dans  $V^*$  vérifie :  $\forall r, s \in \hat{V}, \forall a \in V$ 
  - $\varphi(\wedge) = \wedge$  ;  $\varphi(r+s) = \varphi(r) \cdot \varphi(s)$
  - $\varphi(axr) = \text{SI } \varphi(r) \neq \wedge \text{ ALORS } \varphi(r) \text{ SINON } a$
- . Appelons mot des racines de  $r$  le mot  $\rho(r)$  de  $V^*$  défini par :
  - $\forall r, s \in \hat{V}; \forall a \in V; \rho(\wedge) = \wedge; \rho(r+s) = \rho(r)\rho(s); \rho(axr) = a$
- . Soit  $a$  un élément de  $V$ , et  $F_a$  l'application de  $\hat{V}$  dans l'ensemble  $P(V^*)$  des parties de  $V^*$ , définie par :
  - $F_a(\wedge) = \emptyset$  ,  $F_a(r+s) = F_a(r) \cup F_a(s)$
  - $F_a(bxr) = \text{SI } b=a \text{ ALORS } F_a(r) \cup \{\rho(r)\} \text{ SINON } F_a(r)$
- . Par définition  $F_a(r)$  est l'ensemble des familles de prédécesseur  $a$  dans

- Chafne (ou rangée) d'une ramification :

Soit  $ch$  l'application de  $\hat{V}$  dans  $P(V^*)$  définie par :

$$\forall a \in V, \forall r, s \in \hat{V}, \quad ch(\wedge) = \wedge$$

$$ch(axr) = a \cdot ch(r) = \{am \mid m \in ch(r)\}$$

$$ch(r+s) = ch(r) \cup ch(s)$$

Pour toute ramification  $r$  de  $\hat{V}$ ,  $ch(r)$  représente l'ensemble des chafnes (ou rangées) de  $r$ .

Dans l'exemple de la figure 1 :

$$\rho(r) = bad ; \varphi(r) = eeccecc ; F_a(r) = \{ec, ab, e\}$$

$$ch(r) = \{bae ; bc ; aac ; abe ; abc ; d\}$$

Transcription d'une ramification : Soit  $V'$  un ensemble fini, et  $g$  une application de  $V$  dans  $V'$ . L'application  $\hat{g}$  de  $\hat{V}$  dans  $\hat{V}'$  définie ci-dessous remplace toute "étiquette",  $a$  appartenant à  $V$ , d'une ramification  $r$  de  $\hat{V}$  par  $g(a)$  appartenant à  $V'$  :

$$\hat{g}(\wedge) = \wedge ; \hat{g}(axs+t) = g(a) \times \hat{g}(s) + \hat{g}(t).$$

L'application  $\hat{g}$  s'appelle transcription de  $\hat{V}$  dans  $\hat{V}'$ , associée à l'application  $g$ .

Ensemble de ramifications,  $R(T, N)$  : Appelons noeud d'une ramification sur  $V$  tout élément de  $V$  qui est prédécesseur d'une famille non vide. L'étude des grammaires nous conduira à étudier des ramifications dont les feuilles et les noeuds appartiennent à des ensembles disjoints. Soient  $T$  et  $N$  deux ensembles disjoints ; nous désignerons par  $R(T, N)$ , l'ensemble des ramifications sur la réunion  $V$ , de  $T$  et  $N$ , dont les feuilles appartiennent à  $T$  et les noeuds à  $N$ .

Binoïde universel : Un binoïde universel sur un ensemble  $V$  (ou engendré par  $V$ ) est un ensemble  $\hat{V}$ , qui vérifie les axiomes 1, 2, 3.

Si  $B$  et  $B'$  sont deux binoïdes sur un même ensemble  $V$ , l'homomorphisme de  $B$  dans  $B'$  est l'application  $\psi$  de  $B$  dans  $B'$ , telle que pour  $r$  et  $s$  dans  $B$ , et  $A$  dans  $V$  :

$$\psi(\wedge) = \wedge ; \psi(r+s) = \psi(r) + \psi(s) ; \psi(Axr) = A \times \psi(r).$$

On démontre que les binoïdes universels sur  $V$  sont tous isomorphes (isomorphisme de binoïdes).

Un binoïde universel sur un alphabet  $V$  est ainsi toujours défini à un isomorphisme près. C'est une conséquence directe de la proposition suivante :

- | Soit  $B$  un binoïde sur  $V$ . Il existe un, et un seul, homomorphisme de binoïdes sur  $V$ , de  $\hat{V}$  dans  $B$ .

1.7 - GRAMMAIRES DE CHOMSKY

Nous appellerons grammaire de Chomsky (ou simplement grammaire) un triplet  $(V, \rightarrow, X)$ , où :

- V est un ensemble fini, appelé alphabet de la grammaire, qui est la réunion de deux sous-ensembles disjoints,  $(V=N \cup T)$ , l'alphabet terminal T et l'alphabet non terminal (ou auxiliaire) N.
- $\rightarrow$  est une relation binaire entre N et  $V^*$  (relation de production) telle que pour tout a de N, les mots  $\alpha$  vérifiant  $a \rightarrow \alpha$  forment un langage régulier contenant pas le mot vide ; ce langage régulier est nommé langage des productions de a, et on le note  $K_a$ .
- X est un langage régulier ne contenant pas le mot vide (ensemble des axiomes).

Grammaire locale :

Une grammaire,  $G=(N \cup T, \rightarrow, X)$ , est dite locale si les langages de production, pour tout a de N, et le langage X sont des langages locaux possédant le même ensemble de transitions.

Règles d'une grammaire :

Etant donné un symbole auxiliaire A (élément de l'alphabet auxiliaire N) d'une grammaire,  $G=(N \cup T, \rightarrow, X)$ , et un mot  $\varphi$  de  $V^*$  qui vérifient :  $A \rightarrow \varphi$ , on appelle règle de la grammaire G la donnée d'un tel couple en relation  $(A, \varphi)$  ; on préfère quelque fois la notation,  $A ::= \varphi$ , pour désigner une règle de grammaire.

Exemple : Soient les ensembles  $N=\{X, A, C\}$  et  $T=\{a, b, c\}$  la grammaire d'axiome X, admettant les règles suivantes :

- $X ::= AC \mid C$
- $A ::= aAb \mid ab$
- $C ::= cC \mid c$

engendre le langage  $L = \{a^n b^n c^p \mid n \geq 0, p > 0\}$ .

Dérivation :

Etant donnée la grammaire,  $G=(N \cup T, \rightarrow, X)$ , on lui associe la relation binaire  $\xrightarrow{G}$ , dans  $V^*$  définie par :

$\alpha \xrightarrow{G} \beta \iff (\exists A \in N, \lambda \in V^*, X \in V^*, \varphi \in V^*) (\alpha = \lambda A \lambda' \text{ et } \beta = \lambda \varphi \lambda' \text{ et } A ::= \varphi)$

Lorsqu'il existe une suite de mots de  $V^*$   $\delta_0, \delta_1, \dots, \delta_n$  ( $n \geq 0$ ) telle que  $\delta_0 = \alpha$ ,  $\delta_n = \beta$  et

$\delta_0 \xrightarrow{G} \delta_1 \xrightarrow{G} \dots \xrightarrow{G} \delta_n$  on dit que  $\alpha$  dérive de  $\beta$ .

Une telle suite est appelée une dérivation.

Lorsque  $\delta_i \in N$  ( $i=0, \dots, n$ ), et  $\delta_0 = \delta_n = A$ , avec  $A \in N$  on dit que le symbole auxiliaire A dérive strictement de lui-même.

Initiales et finales

Soit une grammaire  $(V, ::=, X)$ , et un élément Y de N ( $V=N \cup T$ ). On dit que  $Z \in V$  est une initiale de Y s'il existe un mot  $\varphi$  de  $V^*$  tel que  $Z\varphi$  dérive de Y. On dit que  $Z' \in V$  est une finale de Y s'il existe un mot  $\varphi'$  de  $V^*$  tel que  $\varphi'Z'$  dérive de Y.

La relation " $Z$  est une initiale de  $V$ " est la fermeture transitive ( $[ \delta ]$ ) de la relation in définie dans V par :

$Z \text{ in } Y \iff (\exists \psi \in V^*) (Y ::= Z\psi)$ .

"Z est une finale de Y" est la fermeture transitive de fn :

$Z \text{ fn } Y \iff (\exists \psi \in V^*) (Y ::= \psi Z)$

Le graphe  $(V, \text{in})$  (respectivement  $(V, \text{fn})$ ) sera nommé graphe des initiales (respectivement graphe des finales) de la grammaire.

BILANGAGES

Une partie de  $\hat{V}$  est un "langage à deux dimensions", ce qu'on peut appeler un bilangage.

1.8.1 - Bilangages grammaticaux

Une ramification r sur V est engendrée par une grammaire  $G=(V, \rightarrow, X)$  si, dans r: avec  $V=N \cup T$ ,

- a) pour toute famille  $\alpha$  de prédécesseur a appartenant à N,  $a \rightarrow \alpha$  ;
- b) toute famille de prédécesseur a appartenant à T est vide ;
- c) le mot des racines,  $\rho(r)$ , appartient à X.

L'ensemble des ramifications engendrées par une grammaire  $G$ , noté  $S(G)$  et appelé bilangage engendré au sens strict, (ou simplement, engendré) par  $G$ .

Les bilangages engendrés par une grammaire sont dits bilangages grammaticaux. L'ensemble  $S(G)$  appartient à  $R(T, N)$ .

L'ensemble des mots des feuilles des ramifications de  $S(G)$  s'appelle langage engendré par la grammaire  $G$ .

Les langages engendrés par une grammaire sont les langages de Chomsky ou C-langages.

### 1.8.2 - Bilangages réguliers

La notion d'homomorphisme de binoïdes permet de généraliser la notion de langage régulier en celle de bilangages réguliers (référence [2]).

Un bilangage  $L$  sur  $V$  est dit régulier s'il existe un binoïde fini  $B$ , une partie de  $B$  tels que, si  $\psi$  est l'homomorphisme de  $\hat{V}$  dans  $B$ ,  $L = \psi^{-1}(B')$ .

Nous dirons que  $L$  est associé au triplet  $(B, B', \psi)$ .

Bilangage local : Etant donné trois sous-ensembles de  $V^2$  :  $\tau, d, f$  et trois sous-ensembles de  $V$  :  $D, F$  et  $\xi$ , on appelle bilangage local défini par  $\tau, d, f, D, F, \xi$  le bilangage grammatical  $S(G)$  engendré par la grammaire  $G = (V, \rightarrow, X)$  où :

- pour tout  $A$  de  $V$ , l'ensemble des productions de  $A$  est le langage local,  $[V, \{B \mid (A, B) \in d\}, \{B \mid (A, B) \in f\}, \tau]$ , réuni à  $\{\wedge\}$  si  $A$  appartient à

-  $X$  est le langage local  $[V, D, F, \tau]$ .

Il est démontré dans [2], les propositions suivantes :

- 1) Les bilangages réguliers ne contenant pas la ramification vide sont les transformées par transcription des bilangages locaux et eux seuls.
- 2) Tout bilangage régulier est déduit par transcription d'un bilangage grammatical.
- 3) Tout bilangage grammatical ne contenant pas la ramification vide est déduit par transcription d'un langage local.
- 4) L'image par une transcription d'un bilangage régulier est un-bilangage régulier.

### Bilangage régulier d'un binoïde universel sur un alphabet $V$

Les bilangages ont été définis comme les parties d'un binoïde universel sur un alphabet fini  $V$ ; celui-ci étant défini à un isomorphisme près les bilangages réguliers d'un binoïde universel sur  $V, B$ , seront considérés, au chapitre suivant, comme les images des bilangages réguliers de  $\hat{V}$ , par l'isomorphisme de  $\hat{V}$  dans  $B$ . En particulier on emploiera une définition similaire pour les bilangages locaux.

CHAPITRE II

-----

Etude de l'analyse syntaxique par  
« les structures compatibles » de binoïde universel  
sur les langages de parenthèses

### INTRODUCTION

Soit une grammaire,  $G = (V, \rightarrow, X)$ , d'alphabet  $V = N \cup T$ .

Effectuer l'analyse syntaxique, d'un mot  $\alpha$  sur l'alphabet terminal  $T$ , pour la grammaire  $G$ , c'est déterminer les ramifications engendrées par  $G$ , dont  $\alpha$  est le mot des feuilles, autrement dit l'ensemble :

$$E = \varphi^{-1}(\alpha) \cap S(G)$$

Cependant, le binoïde universel  $\hat{V}$ , auquel appartiennent les ramifications engendrées par  $G$ ,  $S(G)$ , est déterminé à un isomorphisme de binoïde près ; c'est pourquoi la résolution pratique de l'analyse syntaxique dépendra du choix de ce binoïde.

Nous allons étudier dans ce qui suit des représentations de  $\hat{V}$ , par le langage de parenthèses  $P(V)$  muni de certaines lois, pour lesquelles la recherche de l'ensemble  $E$  se ramène à la construction d'algorithmes, relativement simples, qui construisent des mots de  $P(V)$ .

Les lois de compositions définies sur l'ensemble des ramifications,  $\hat{V}$ , seront toujours notées :  $\rightarrow$ , pour la loi interne et  $\uparrow$ , pour la loi externe afin d'éviter toute confusion avec celles du langage  $P(V)$ .

### ETUDE DU BINOÏDE UNIVERSEL PARENTHÉTIQUE SUR UN ALPHABET $V$

#### 2.1.1 - Définition 1 :

Munissons le langage de parenthèses  $P(V)$  d'un couple,  $S_1 = (+, \times)$ , de lois de composition définies ci-dessous,

- une loi de composition interne notée,  $+$  :

$$\forall \beta, \gamma \in P(V) \quad \beta \uparrow \gamma = \beta \gamma$$

- une loi de composition externe à opérateurs dans  $V$ , notée  $\times$  :

$$\forall a \in V, \forall \beta \in P(V) \quad a \times \beta = a \beta \bar{a}$$

Il est démontré dans PAIR [4], que  $S_1$  définit sur  $P(V)$  une structure de binoïde universel, que nous appellerons le binoïde universel parenthétique et que nous noterons :  $P_1(V) = (P(V), S_1)$ .

Nous désignerons par,  $p_1$ , l'isomorphisme de binoïdes, unique, de  $\hat{V}$  dans  $P_1(V)$

- $\forall r, r' \in \hat{V} : p_1(r \rightarrow r') = p_1(r) p_1(r')$
- $\forall A \in V, \forall r \in \hat{V} : p_1(A \uparrow r) = A p_1(r) \bar{A}$

### 2.1.2 - Nature des transcriptions de binoïdes parenthétiques

Propriété 1 : Les transcriptions du binoïde universel  $P_1(V)$  dans le binoïde universel  $P_1(V')$ , définies à partir d'une application,  $g$ , de  $V$  dans  $V'$  (que nous avons notés  $\hat{g}$  au chapitre 1) sont les transcriptions de parenthèses  $g^*$ .

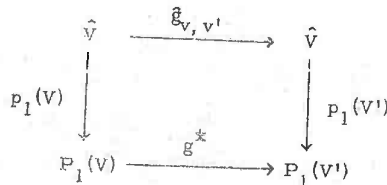
Démonstration : L'homomorphisme,  $g^*$ , de  $P(V)$  dans  $P(V')$  vérifie,

- $g^*(\wedge) = \wedge$
- $\forall \alpha, \beta \in P_1(V) : g^*(\alpha + \beta) = g^*(\alpha \beta) = g^*(\alpha) g^*(\beta) = g^*(\alpha) + g^*(\beta)$
- $\forall A \in V, \forall \alpha \in P_1(V) : g^*(A \times \alpha) = g^*(A \alpha \bar{A}) = g(A) g^*(\alpha) \overline{g(A)} = g(A) \times g^*(\alpha)$

D'après le "principe de récurrence", l'homomorphisme  $g^*$  est identique à l'unique transcription de binoïdes, de  $P_1(V)$  dans  $P_1(V')$ ,  $\hat{g}$ , que nous avons définie au chapitre 1 à partir d'une application,  $g$ , de  $V$  dans  $V'$ .

Remarque 1 :

Cette propriété traduit en fait la commutativité du diagramme,



$\hat{g}_{V, V'}$  étant la transcription de  $\hat{V}$  dans  $\hat{V}'$ , définie à partir de l'application,  $g$ , de  $V$  dans  $V'$

$$P_1(V') \circ \hat{g}_{V, V'} = g^* \circ p_1(V)$$

### 2.1.3 - Mot des feuilles des ramifications de $R(T, N)$

Propriété 2 :

Soit  $V = T \cup N$ ,  $T$  et  $N$  étant deux ensembles disjoints ; alors le mot des feuilles,  $\varphi(r)$ , pour toute ramification,  $r$ , de  $R(T, N)$  est égal à  $h o p_1(r)$ , où  $h$  est l'homomorphisme alphabétique de  $(V \cup \bar{V})^*$  dans  $T^*$ , défini par :  $\forall a \in V$   
 $h(\bar{a}) = \text{SI } a \in T \text{ ALORS } a \text{ SINON } \wedge$   
 $h(a) = \wedge$

Démonstration :

- $h o p_1(\wedge) = \wedge$
- $\forall r', r'' \in R(T, N) : h o p_1(r' \rightarrow r'') = h [p_1(r') p_1(r'')] = h o p_1(r') h o p_1(r'')$
- $\forall A \in V, \forall r \in R(T, N) : h o p_1(A \uparrow r) = h [A p_1(r) \bar{A}] = h o p_1(r) h(\bar{A})$

Si  $h o p_1(r) \neq \wedge$ , en particulier  $r$  est différent de  $\wedge$  et  $A$  appartient à  $N$ , puisque  $A \uparrow r$  appartient à  $R(T, N) : h o p_1(A \uparrow r) = h o p_1(r)$ .

Si  $h o p_1(r) = \wedge$ , alors  $r = \wedge$  et par conséquent  $A$  appartient à  $T :$

$$h o p_1(A \uparrow r) = h(\bar{A}) = A$$

D'après le "principe de récurrence" (chapitre 1), on a l'identité :

$$\forall r \in R(T, N) \quad h o p_1(r) = \varphi(r)$$

### 2.1.4 - Recherche des bilangages réguliers de $P_1(V)$

Théorème 1 :

Les bilangages réguliers de  $P_1(V)$  sont les transcrits par une transcription de parenthèses,  $g^*$ , (définie à partir d'une application  $g$  de  $V'$  dans  $V$ ) de l'intersection d'un langage régulier sur  $V' \cup \bar{V}'$  avec le langage de parenthèses  $P(V')$ .

Démonstration

1) Soit  $L$  un bilangage régulier de  $P_1(V)$ , non vide ; il existe un bilangage local  $L'$  de  $P_1(V')$ , tel que  $L$  est le transcrit de  $L'$  par une transcription  $g^*$ ,  $g$  étant une application de  $V'$  dans  $V$  (paragraphe 1.8.2 et propriété 1, 2.1.2) :  $L = g^*(L')$ .

Soit  $L'_1$ , le langage local de  $\hat{V}'$  tel que :  $L' = p_1(L'_1)$ .

Par définition, ce langage local est en fait un langage grammatical,  $S(G)$ , engendré par une grammaire locale,  $G = (V', ::=, X)$ .

Il est, en outre, démontré dans PAIR [4], que l'ensemble des représentations des ramifications engendrées par une grammaire locale,  $G$ , dans le binoïde parenthétique (sur son alphabet) est l'intersection d'un langage régulier local avec le langage de parenthèses qui constitue ce binoïde, soit :

$$p_1[S(G)] = L_1 \cap P(V'), \quad L_1 \text{ langage régulier local sur } V' \cup \bar{V}'.$$

On en déduit :

$$L = g^*(L') = g^* \circ p_1(L'_1) = g^* \circ p_1[S(G)] = g^*(L_1 \cap P(V')).$$

2) Soit  $K$  un langage régulier sur  $V' \cup \bar{V}'$  et,  $g^*$ , une transcription de parenthèses de  $P_1(V')$  dans  $P_1(V)$ . Il suffit de démontrer que  $K \cap P(V')$  est un langage régulier de  $P_1(V')$ . (propositions 1.8.2).

$K$  étant un langage régulier, il existe un monoïde fini  $M$ , une partie  $M'$  de  $M$  et un homomorphisme de monoïdes,  $\psi$  de  $(V' \cup \bar{V}')^*$  dans  $M$  tels que :  $K = \psi^{-1}(M')$ . Munissons le monoïde  $M$ , des lois  $\dot{+}$  et  $\dot{\times}$ , définies par :

$$\begin{aligned} - \forall u \in M \text{ et } \forall a \in V' & \quad a \dot{\times} u = \psi(a) u \psi(\bar{a}) \\ - \forall u, v \in M & \quad u \dot{+} v = u \cdot v \end{aligned}$$

Le triplet  $(M, \dot{+}, \dot{\times})$  définit une structure de binoïde,  $B$ , sur  $M$  :

- la loi,  $\cdot$  (ou  $\dot{+}$ ) sur  $M$  est une loi interne associative à élément neutre puisqu'elle définit sur  $M$  une structure de monoïde.
- la loi,  $\dot{\times}$ , est une loi externe dans  $M$  à opérateurs dans  $V'$ .

La restriction à  $P(V')$  de  $\psi, \psi_P(V')$ , est un homomorphisme de binoïdes de  $P_1(V')$  dans  $B$  :

$$\begin{aligned} - \forall \alpha \in P_1(V'), \quad \forall a \in V', \quad a \dot{\times} \alpha = a \alpha \bar{a} : \\ \psi(a \dot{\times} \alpha) = \psi(a) \psi(\alpha) \psi(\bar{a}) = a \dot{\times} \psi(\alpha) \\ - \forall \alpha, \beta \in P_1(V'), \quad \alpha \dot{+} \beta = \alpha \beta : \\ \psi(\alpha \dot{+} \beta) = \psi(\alpha \beta) = \psi(\alpha) \psi(\beta) = \psi(\alpha) \dot{+} \psi(\beta) \end{aligned}$$

$$\begin{aligned} \text{De plus :} \quad K \cap P(V') &= \{ x \in P(V') \mid \psi^{-1}(M') \} \\ " &= \{ x \in P(V') \mid \psi(x) \in M' \} \\ " &= \{ x \in P(V') \mid \psi_{P(V')}^{-1}(x) \in M' \} = \psi_{P(V')}^{-1}(M') \end{aligned}$$

Le triplet  $(B, M', \psi_{P(V')})$  détermine une structure de langage régulier sur  $P_1(V')$  : le langage  $K(V') \cap P(V')$ .

### DEFINITION DES STRUCTURES COMPATIBLES D'UN BINOÏDE UNIVERSEL SUR LES LANGAGES DE PARENTHÈSES

Les trois propriétés que nous avons élaborées dans l'exemple du binoïde parenthétique, va nous permettre de définir ce que nous appellerons «les structures compatibles».

#### 2.2.1 - Définition 2 :

Soit  $V$  un ensemble fini. Un couple,  $S$ , d'une loi interne et d'une loi externe à opérateurs dans  $V$  définissant une structure de binoïde universel sur un langage de parenthèses  $P(V)$  est dite «compatible» si l'on a les trois propriétés :

- a) Pour toute application  $g$  de  $V$  dans  $V'$  la transcription de parenthèses,  $g^*$ , de  $(V \cup \bar{V})^*$  dans  $(V' \cup \bar{V}')^*$  est la transcription du binoïde universel  $(P(V), S)$  dans le binoïde universel  $(P(V'), S)$ , définie à partir de  $g$ .
- b) La restriction à  $R(T, N)$  du mot des feuilles des ramifications de  $\hat{V}, \varphi$ , où  $T$  et  $N$  sont deux ensembles disjoints tels que  $V = T \cup N$  est la restriction à  $P(V)$  d'un homomorphisme alphabétique de  $(V \cup \bar{V})^*$  dans  $T^*$ .
- c) Les langages réguliers de  $(P(V), S)$  sont les transformés par les transcriptions de parenthèses de  $(P(V'), S)$  dans  $(P(V), S)$  de l'intersection d'un langage régulier sur  $V' \cup \bar{V}'$  et du langage de parenthèses  $P(V')$ .

De telles structures existent, puisque nous en avons exhibé une au paragraphe 2.1, la structure parenthétique  $S_1$ .

2.2.2 - Analyse syntaxique et «structure compatible»

Soit, B = (P(V), S), un binôme universel de parenthèses, S étant une structure compatible de binôme universel sur P(V). Proposons nous d'étudier plus précisément l'ensemble E = φ⁻¹(α) ∩ S(G), dont nous parlions dans l'introduction en choisissant le binôme universel B comme représentation de V̂. Un tel choix conduit non pas à déterminer E, mais son transformé par l'isomorphisme de binômes, p, de V̂ dans B ; c'est à dire l'ensemble

p [ S(G) ∩ φ⁻¹(α) ] = p [ S(G) ] ∩ p [ φ⁻¹(α) ] .

Le langage grammatical, S(G), de V̂ est un langage régulier de V̂ (1.8.2, chapitre 1), et par conséquent p [ S(G) ] est un langage régulier de B. S, étant «une structure compatible» sur P(V), une propriété de la définition 2 (§ 2.2.1) nous indique la nature des langages réguliers de B :

il existe un ensemble V', une application g de V' dans V et un langage régulier K sur V' ∪ V̄' tels que : p [ S(G) ] = g\* (K ∩ P(V')), où g\* est l'homomorphisme alphabétique de (V' ∪ V̄')\* dans (V ∪ V̄)\* déduit de g.

En outre, on peut déterminer un homomorphisme alphabétique, h, de (V ∪ V̄)\* dans T\* tel que :

φ [ S(G) ] = h ∘ p [ S(G) ]
φ⁻¹(α) = (h ∘ p)⁻¹(α) = p⁻¹ ∘ h⁻¹(α)
p ∘ φ⁻¹(α) = p ∘ p⁻¹ ∘ h⁻¹(α) = h⁻¹(α) (p est un isomorphisme)

Une résolution possible du problème de l'analyse syntaxique par «les structures compatibles sur P(V)» peut, ainsi, se formaliser par :

Etant données une grammaire G = (V, →, X) (d'alphabet V = T ∪ N, T et N étant disjoints, et T l'alphabet terminal), et «une structure compatible» S sur P(V), il faut associer à tout mot, α, sur l'alphabet terminal T de G, l'ensemble :

(I) A(α) = h⁻¹(α) ∩ g\* (K ∩ P(V')),

les ensembles V', K, g\* étant définis à partir de S comme précédemment.

La recherche de différentes «structures compatibles» sur les langages de parenthèses P(V), nous fournissant autant de méthodes d'analyse, distinctes, constitue ainsi la première étape de la mise en oeuvre d'un système d'analyse. Elle est en fait la finalité de ce chapitre. La seconde étape consistera pour chaque structure compatible, en l'association à toute grammaire G = (V, →, X) d'un quadruplet, (V', g, K, h), tel que

p [ S(G) ] = g\* (K ∩ P(V')) et ∀ r ∈ S(G) φ(r) = h ∘ p(r)

Cette association sera développée au chapitre 3 à partir des résultats obtenus dans ce chapitre.

Il faut noter que pour une structure donnée, on peut associer à toute grammaire, G, plusieurs de ces quadruplets. Ainsi, connaissant un tel quadruplet, on pourra lui préférer le quadruplet (V', g, K', h), dans lequel le langage régulier K' est l'intersection de K et du langage local sur V' ∪ V̄', qui admet pour ensemble de transitions, { ab, aᄡb, aᄡ ; ∀ a, b ∈ V' } (proposition 1, paragraphe 1.4, chapitre 1), et l'on a l'égalité :

K' ∩ P(V') = K ∩ P(V')

ETUDE DE QUELQUES «STRUCTURES COMPATIBLES»

2.3.1 - Analyse descendante parenthétique

Nous avons étudié au paragraphe 2.1 une première «structure compatible» de binôme universel sur les langages de parenthèses. Il s'agit dans ce paragraphe de mettre en évidence certains des quadruplets associés à cette structure, que nous avons nommée, S₁.

Nous utiliserons essentiellement, les deux résultats suivants :

1) - PAIR [4] - L'ensemble des représentations des ramifications engendrées par une grammaire locale, G, dans le binôme universel parenthétique (sur un alphabet) est l'intersection d'un langage régulier local, avec le langage de parenthèses qui constitue ce binôme, et l'on a : Soient D₀ et F₀ l'ensemble initial et final du langage X (axiome de G), D\_A et F\_A ceux des langages des productions de G, K\_A (A ∈ N), et I, l'ensemble des transitions communes à ces langages.

-  $p_1(V)[S(G)] = L_1 \cap P(V)$ , avec pour,  $L_1$ , le langage local d'ensemble initial  $D_0$ , d'ensemble final  $\bar{F}_0$  et d'ensemble de transitions,

$$I' = \left( \bigcup_{A \in N} AD_A \right) \cup \{A\bar{A} \mid A \in T\} \cup \left( \bigcup_{B \in N} \bar{F}_B \bar{B} \right) \cup \{\bar{A}B \mid AB \in I\}$$

$$- \varphi(r) = h \circ p_1(r) = h' \circ p_1(r) \quad \forall r \in S(G) \quad , \quad \text{où } h \text{ est l'homomorphisme défini au paragraphe 2.1.3 et } h', \text{ l'homomorphisme défini par, } h'(\bar{A}) = \bar{A}$$

$h'(A) = \text{SI } A \in T \text{ ALORS } A \text{ SINON } \Lambda$ , pour tout  $A$  de  $V = T \cup N$ .

2) - A toute grammaire  $G$ , d'alphabet  $V$ , on peut associer une grammaire locale  $G'$ , d'alphabet  $V'$ , pour laquelle il existe une transcription,  $\hat{g}$ , du binôme universel  $\hat{V}'$  dans le binôme  $\hat{V}$ , qui transforme biunivoquement  $S(G')$  en  $S(G)$ .  $G'$  et  $\hat{g}$  peuvent être définies par :

. Soit  $G = (V, \rightarrow, X)$  avec  $V = T \cup N$ , les langages réguliers,  $X$  et  $K_A$  (respectivement axiome et langages des productions), pour  $A$  appartenant à  $N$ , sont déduits biunivoquement de langages locaux  $L_0$  et  $L_A$  par des transcriptions de monoïdes libres,  $t_0$  et  $t_A$ , respectivement. On peut toujours supposer deux à deux disjoints les alphabets de  $L_0$  et des  $L_A$ , en modifiant au besoin  $t_0$  et les  $t_A$ . Soient  $V'$  la réunion de ces alphabets,  $D_0$  et  $F_0$  l'ensemble initial et final de  $L_0$ ,  $D_A$  et  $F_A$  ceux des langages  $L_A$ ,  $I$  la réunion des ensembles de transitions des langages  $L_A$  et  $L_0$ ,  $D = D_0 \cup \left( \bigcup_{A \in N} D_A \right)$ ,  $F = F_0 \cup \left( \bigcup_{A \in N} F_A \right)$

Définissons une application  $g$  de  $V'$  dans  $V$  :

$$. g(x) = t_0(x), \text{ pour } x \text{ appartenant à l'alphabet de } L_0$$

$$(\text{pour tout } A \text{ de } N) . g(x) = t_A(x), \text{ pour } x \text{ appartenant à celui de } L_A.$$

. Il est démontré dans (PAIR [4]), que  $S(G)$  se déduit biunivoquement de  $S(G')$  par la transcription,  $\hat{g}$ , de  $\hat{V}'$  dans  $\hat{V}$  définie sur  $\hat{g}$ , si  $G'$  est la grammaire définie par :  $(g^{-1}(T) \cup g^{-1}(N), \rightarrow', L_0)$ , où  $g^{-1}(T)$  est l'alphabet terminal de  $G'$   $\rightarrow'$ , la relation de production telle que :  $B \rightarrow' \beta \iff \beta \in L_{g(B)}$ ,  $\forall B \in g^{-1}(N)$ .

. Nous pouvons alors nous intéresser aux quadruplets associés à  $S_1$ .

. Soit une grammaire  $G$ ; associons lui la grammaire locale  $G'$  comme en (2) :

$$p_1(V')[S(G')] = L_1 \cap P(V') \text{ et } S[G] = \hat{g}(S[G']).$$

En utilisant la remarque 1 du paragraphe 2.1.2, nous avons :

$$p_1(V)[S(G)] = p_1(V) \circ g[S(G')] = g^* \circ p_1(V')[S(G')] = g^*(L_1 \cap P(V'))$$

Nous obtenons ainsi deux quadruplets,  $(V', g, L_1, h)$  et  $(V', g, L_1, h')$  qui peuvent être associés à  $S_1$ .

La méthode d'analyse, ainsi dégagée à l'aide de  $S_1$ , correspond à une analyse effectuée en "dents de scie", qui procède de la racine vers les feuilles; nous la dénommerons <<analyse descendante parenthétique>>.

### 2.3.2 - Analyse descendante prédictive

#### 2.3.2.1 - Le binôme universel descendant gauche

Munissons le langage de parenthèses  $P(V)$ , d'un couple,  $S_3 = (+, \chi)$ , de lois de composition définies ci-dessous,

- une loi de composition interne notée, + :

$$\forall \beta, \gamma \in P(V) \quad \beta + \gamma = \bar{\gamma}_V(\gamma) \beta \Delta_V(\gamma), \text{ où } \bar{\gamma}_V(\gamma) \text{ est le plus grand facteur gauche de } \gamma \text{ qui appartient à } V^*, \text{ et } \Delta_V(\gamma) \text{ le quotient à gauche de } \gamma \text{ par } \bar{\gamma}_V(\gamma) : \gamma = \bar{\gamma}_V(\gamma) \Delta_V(\gamma)$$

- une loi de composition externe à opérateurs dans  $V$ , notée  $\chi$  :

$$\forall a \in V, \forall \beta \in P(V) \quad a \chi \beta = a \bar{a} \beta.$$

Il est démontré dans PAIR [4] que  $S_3$  définit sur  $P(V)$  une structure de binôme universel, que nous appellerons le binôme universel descendant gauche et que nous noterons :  $P_3(V) = (P(V), S_3)$ . Nous désignerons par,  $p_3$ , l'isomorphisme de binômes, unique, de  $\hat{V}$  dans  $P_3(V)$  :

$$- \forall r, r' \in \hat{V} \quad : p_3(r \rightarrow r') = \bar{\gamma}_V[p_3(r')] p_3(r) \Delta_V[p_3(r')]$$

$$- \forall \alpha \in \hat{V}, \forall \Lambda \in V : p_3(\Lambda \rightarrow \alpha) = \bar{\Lambda} \bar{\alpha} p_3(\alpha).$$

Lorsqu'il n'y aura pas de confusion possible sur l'alphabet  $V$  employé,  $\bar{\gamma}_V$  et  $\Delta_V$  seront notés  $\bar{\gamma}$  et  $\Delta$ .

2.3.2.2 - Nature des transcriptions de binôdes universels descendants gauches

Propriété 3 : Les transcriptions du binôde universel  $P_3(V)$  dans le binôde universel  $P_3(V')$ , définies à partir d'une application,  $g$ , de  $V$  dans  $V'$  (que nous avons notées  $\hat{g}$  au chapitre 1) sont les transcriptions de parenthèses  $g^*$ .

Démonstration : L'homomorphisme,  $g^*$ , de  $P(V)$  dans  $P(V')$  vérifie,

- $g^*(\wedge) = \wedge$
- $\forall \alpha, \beta \in P_3(V) \quad g^*(\alpha + \beta) = g^*[\gamma_V(\beta)\alpha\Delta_V(\beta)] = g^*(\gamma_V(\beta))g^*(\alpha)g^*(\Delta_V(\beta)) = g^*(\alpha) + g^*(\beta)$ .

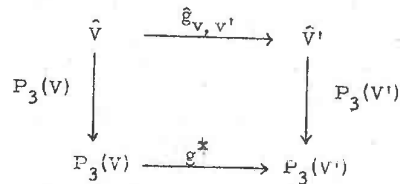
car les implications :  $\gamma_V(\beta) \in V^* \implies g^*(\gamma_V(\beta)) \in V'^*$ ,

et  $\{\Delta_V(\beta) = \bar{A}m, A \in V \text{ et } m \in (V \cup \bar{V})^*\} \implies g^*(\Delta_V(\beta)) = \overline{g(A)} g^*(m)$ , entraînent les égalités,  $g^*(\gamma_V(\beta)) = \gamma_{V'}(g^*(\beta))$  et  $g^*[\Delta_V(\beta)] = \Delta_{V'}[g^*(\beta)]$

-  $\forall A \in V, \forall \alpha \in P_3(V) : g^*(A \times \alpha) = g^*(A\bar{A}\alpha) = g(A) \overline{g(A)} g^*(\alpha) = g(A) \times g^*(\alpha)$ .

D'après le "principe de récurrence" (chapitre 1), l'homomorphisme,  $g^*$ , est identique à l'unique transcription de binôdes,  $\hat{g}$ , de  $P_3(V)$  dans  $P_3(V')$ .

Remarque 2 : Cette propriété traduit la commutativité du diagramme :



soit  $P_3(V') \circ \hat{g}_{V, V'} = g^* \circ P_3(V)$ .

2.3.2.3 - Mot des feuilles des ramifications de  $R(T, N)$

Propriété 4 :

Soit  $V = T \cup N$ ,  $T$  et  $N$  étant deux ensembles disjoints ; alors le mot des feuilles,  $\varphi(r)$ , pour toute ramification,  $r$ , de  $R(T, N)$  est égal à  $h \circ p_3(r)$ , où  $h$  est l'homomorphisme alphabétique de  $(V \cup \bar{V})^*$  dans  $T^*$  défini par :

- $\forall A \in V \quad h(\bar{A}) = \text{SI } A \in T \text{ ALORS } A \text{ SINON } \wedge$
- $\forall A \in V \quad h(A) = \wedge$

Démonstration :

- $h \circ p_3(\wedge) = \wedge$
- $\forall r, r' \in R(T, N) : h \circ p_3(r \rightarrow r') = h(\gamma[p_3(r')] p_3(r) \Delta[p_3(r')]) = h(\gamma(p_3(r'))) h \circ p_3(r) h(\Delta(p_3(r'))) = h \circ p_3(r) h(\Delta(p_3(r')))$ ,

puisque  $\gamma(p_3(r'))$  appartient à  $V^*$ , soit  $h(\gamma(p_3(r'))) = \wedge$ .

- On peut alors écrire :
- $h \circ p_3(r \rightarrow r') = h \circ p_3(r) h(\gamma(p_3(r'))) h(\Delta(p_3(r')))$
  - "  $= h \circ p_3(r) h(\gamma(p_3(r'))) \Delta(p_3(r'))$
  - "  $= h \circ p_3(r) h \circ p_3(r')$

- $\forall A \in V, \forall r \in R(T, N) : h \circ p_3(A \uparrow r) = h(A) h(\bar{A}) h \circ p_3(r) = h(\bar{A}) h \circ p_3(r)$ .

La même discussion, qu'à la propriété 2 (§ 2.1.3), nous donne :

Si  $h \circ p_3(r)$  est différent de,  $\wedge$ , alors  $h \circ p_3(A \uparrow r)$  est égal à  $h \circ p_3(r)$ , sinon il est égal à  $\wedge$ .

D'après le "principe de récurrence" on a l'identité :

$$\forall r \in R(T, N) \quad h \circ p_3(r) = \varphi(r).$$

2.3.2.4 - Recherche des bilangages réguliers de  $P_3(V)$

Théorème 2 :

Les bilangages réguliers de  $P_3(V)$  sont les transcrits par une transcription de parenthèses,  $g^*$ , (définie à partir d'une application,  $g$ , de  $V'$  dans  $V$ ) de l'intersection d'un langage régulier sur  $V' \cup \bar{V}'$  avec le langage de parenthèses  $P(V')$ .

Démonstration : 1) Soit L un bilangage régulier de  $P_3(V)$ , non réduit au mot vide, il existe un bilangage régulier,  $L'$ , de  $\bar{V}$ , tel que :  $L = P_3(L')$ . On peut trouver un bilangage grammatical,  $S(G)$ , sur un alphabet  $V'$  et une application,  $g$ , de  $V'$  dans  $V$  tels que :  $L' = \hat{g}(S[G])$ .  
En vertu de la remarque 2, § 2.3.2.2, on a :

$$L = P_3(V)[L'] = P_3(V) \circ \hat{g}(S[G]) = g^* \circ P_3(V')[S(G)].$$

Il est démontré dans PAIR [4] que l'ensemble des représentations des ramifications engendrées par une grammaire  $G$ , dans le binofde universel descendant gauche (sur son alphabet) est l'intersection d'un langage régulier avec le langage de parenthèses qui constitue ce binofde, soit :

$$P_3(V')[S(G)] = K(V') \cap P(V'), \quad K \text{ est un langage régulier sur } V' \cup \bar{V}'.$$

On a ainsi :  $L = g^*(K \cap P(V'))$ .

2) Soient  $K$  un langage régulier sur  $V' \cup \bar{V}'$ , et  $g^*$  une transcription de parenthèses de  $P_3(V')$  dans  $P_3(V)$ , il nous suffit de démontrer que  $K \cap P(V')$  est un bilangage régulier de  $P_3(V')$ . (1.8.2 et propriété 3, 2.3.2.3).

Soient  $M$  le monoïde fini,  $M'$  la partie de  $M$ , et  $\psi$ , l'homomorphisme de monoïdes de  $(V' \cup \bar{V}')^*$  dans  $M$ , pour lesquels :  $K = \psi^{-1}(M')$ . Définissons deux parties de  $M$ , par :  $M_1 = \psi(V'^*)$  et  $M_2 = \psi(\bar{V}'^*)$ .

Munissons le monoïde  $M$ , des lois  $\dagger$  et  $\dot{\chi}$ , définies par :

$$\begin{aligned} - \forall u \in M, \forall a \in V' \quad a \dot{\chi} u &= \psi(a) \psi(\bar{a}) u \\ - \forall \alpha, \beta \in M \quad \alpha \dagger \beta &= \dot{\gamma}(\beta) \alpha \dot{\Delta}(\beta), \text{ où } \dot{\gamma}(\beta) \end{aligned}$$

est le plus grand facteur gauche de  $\beta$  appartenant à  $M_1$  et  $\dot{\Delta}(\beta)$  le quotient à gauche de  $\beta$  par  $\dot{\gamma}(\beta)$ . On a :  $\beta = \dot{\gamma}(\beta) \dot{\Delta}(\beta)$ .

Le triplet  $(M, \dagger, \dot{\chi})$  définit une structure de binofde,  $B$ , sur  $M$  :

- la loi,  $\dagger$ , est associative et admet,  $\psi(\wedge)$ , comme élément neutre :

$$\forall \alpha, \beta, \gamma \in M : (\alpha \dagger \beta) \dagger \gamma = \dot{\gamma}(\gamma) \dot{\gamma}(\beta) \alpha \dot{\Delta}(\beta) \dot{\Delta}(\gamma) = \alpha \dagger (\beta \dagger \gamma)$$

$\forall \alpha \in M$  : soit  $m \in (V' \cup \bar{V}')^*$ , tel que,  $\alpha = \psi(m)$ , alors

$$\alpha \dagger \psi(\wedge) = \dot{\gamma}[\psi(\wedge)] \alpha \dot{\Delta}[\psi(\wedge)] = \psi(\wedge) \alpha = \psi(\wedge) \psi(m) = \psi(m) = \alpha$$

$$\psi(\wedge) \dagger \alpha = \dot{\gamma}(\alpha) \psi(\wedge) \dot{\Delta}(\alpha) = \dot{\gamma}(\psi(m)) \psi(\wedge) \dot{\Delta}(\alpha) = \psi(\dot{\gamma}(m)) \dot{\Delta}(\alpha) = \alpha,$$

puisque l'on a :  $\forall m \in (V' \cup \bar{V}')^*$   $\dot{\gamma}[\psi(m)] = \psi(\dot{\gamma}m)$

$$\dot{\Delta}[\psi(m)] = \psi(\dot{\Delta}m)$$

- la loi,  $\dot{\chi}$ , est une loi externe dans  $M$ , à opérateurs dans  $V'$ . La restriction à  $P(V')$  de  $\psi$ ,  $\psi_P(V')$ , est un homomorphisme de binofdes de  $P_3(V')$  dans  $B$  :

$$\forall \alpha \in P_3(V'), \forall a \in V' : a \chi \alpha = a \bar{a} \alpha$$

$$\psi(a \chi \alpha) = \psi(a) \psi(\bar{a}) \psi(\alpha) = a \dot{\chi} \psi(\alpha)$$

$$\forall \alpha, \beta \in P_3(V') : \alpha \dagger \beta = \dot{\gamma}(\beta) \alpha \dot{\Delta}(\beta)$$

$$\begin{aligned} \psi(\alpha \dagger \beta) &= \psi[\dot{\gamma}(\beta)] \psi(\alpha) \psi[\dot{\Delta}(\beta)] = \dot{\gamma}[\psi(\beta)] \psi(\alpha) \dot{\Delta}[\psi(\beta)] \\ &= \psi(\alpha) \dagger \psi(\beta) \end{aligned}$$

De plus :  $K \cap P(V') = \psi^{-1}_{P(V')} [M']$ .

Le triplet  $(B, M', \psi_{P(V)})$  détermine sur  $P_3(V')$ , une structure de bilangage régulier : le bilangage  $K \cap P(V')$ .

Le théorème 2, et les propriétés 3 et 4 nous permettent d'affirmer que  $S_3$ , définit une structure de binofde universel compatible sur les langages de parenthèses.

2.3.2.5 - Etude des quadruplets associés à  $S_3$

il est démontré dans PAIR [4], que l'ensemble des représentations des ramifications engendrées par une grammaire  $G = (V, \rightarrow, X)$  dans le binofde universel descendant gauche,  $P_3(V)$ , vérifie :

$$P_3(V)[S(G)] = K_3 \cap P(V), \text{ où } K_3 \text{ est le langage régulier défini par :}$$

$K_3 = \bigcup_{A \in V} \bar{A} K_A$ , avec pour  $K$ ,  $\bigcup_{A \in V} \bar{A} K_A$  ; les langages,  $K_A$ , étant les langages réguliers des productions de  $G$ .

$$\forall r \in S(G) : \varphi(r) = h \circ p_3(V)(r).$$

Nous pouvons prendre comme quadruplet associé à  $S_3$ , et pour la grammaire  $G$  :  $(V, I_V, K_3, h)$ ,  $I_V$  étant l'identité sur  $V \cup \bar{V}$ .

Les mots du langage de parenthèses,  $P(V)$ , se terminant par une parenthèse fermante,  $\bar{A}$ , ( $A \in V$ ) et puisque  $K_A = \{\wedge\}$ , pour  $A$  appartenant à l'alphabet terminal  $T$ , on a l'égalité :  $K_3 \cap P(V) = [K_3 \cap (V \cup \bar{V})^* T] \cap P(V)$ .

Un autre quadruplet possible est donc :  $(V, I_V, K_3 \cap (V \cup \bar{V})^* T, h)$ . L'emploi de la structure  $S_3$ , dans le problème de l'analyse syntaxique conduit à une analyse de droite à gauche qui procède des racines vers les feuilles ; nous la dénommerons analyse descendante prédictive.

2.3.3 - Analyse ascendante

2.3.3.1 - Binoïde universel ascendant gauche

Munissons le langage de parenthèses  $P(V)$ , d'un couple,  $\mathcal{S}_2 = (\uparrow, \downarrow)$ , de lois de composition définies ci-dessous,

- Une loi de composition interne notée,  $+$  :

$\forall \beta, \gamma \in P(V) \quad \beta + \gamma = \uparrow'_V(\beta) \gamma \Delta'_V(\gamma)$ , où  $\Delta'_V(\beta)$  est le plus grand facteur droit de  $\beta$  qui appartient à  $\bar{V}^*$ , et  $\uparrow'_V(\beta)$ , le quotient de  $\beta$  par  $\Delta'_V(\beta)$ , à droite :  $\beta = \uparrow'_V(\beta) \Delta'_V(\beta)$

- Une loi de composition externe à opérateurs dans  $V$ , notée  $\times$  :

$$\forall a \in V, \forall \beta \in P(V) \quad a \times \beta = \beta a \bar{a}$$

Il est démontré dans PAIR [4], que  $S_2$  définit sur  $P(V)$  une structure de binoïde universel, que nous appellerons le binoïde universel ascendant gauche et que nous noterons :  $P_2 = (P(V), S_2)$ . Nous désignerons par,  $p_2$ , l'isomorphisme de binoïdes, unique, de  $\bar{V}$  dans  $P_2(V)$  :

$$\forall r, r' \in \bar{V} \quad p_2(r-r') = \uparrow'_V[p_2(r)] p_2(r') \Delta'_V[p_2(r)]$$

$$\forall r \in \bar{V}, \forall A \in V : p_2(A \uparrow r) = p_2(r) A \bar{A}$$

Lorsqu'il n'y aura pas de confusion possible sur l'alphabet  $V$ ; employé,  $\uparrow'_V$  et  $\Delta'_V$  seront respectivement représentés par  $\uparrow'$  et  $\Delta'$ .

2.3.3.2 - Nature des transcriptions de binoïdes universels ascendants gauches

Propriété 5

Les transcriptions du binoïde universel  $P_2(V)$  dans le binoïde universel  $P_2(V')$ , définies à partir des applications,  $g$ , de  $V$  dans  $V'$  sont les transcriptions de parenthèses  $g^*$ .

Démonstration

L'homomorphisme,  $g^*$ , de  $P(V)$  dans  $P(V')$  vérifie :

$$- g^*(\Lambda) = \Lambda$$

$$- \forall \alpha, \beta \in P_2(V) \quad g^*(\alpha + \beta) = g^*(\uparrow'_V(\alpha) \beta \Delta'_V(\alpha)) = g^*(\uparrow'_V(\alpha)) g^*(\beta) g^*(\Delta'_V(\alpha)) = g^*(\alpha) + g^*(\beta),$$

car les implications :  $\Delta'_V(\alpha) \in \bar{V}^* \implies g^*(\Delta'_V(\alpha)) \in \bar{V}'^*$ .

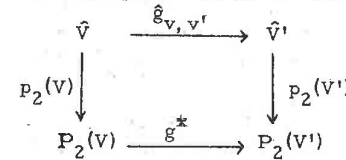
et,  $\uparrow'_V(\alpha) = mA, A \in V$  et  $m \in (V \cup \bar{V})^* \implies g^*(\uparrow'_V(\alpha)) = g^*(m) g(A)$ , entraînent les égalités :  $g^*(\uparrow'_V(\alpha)) = \uparrow'_{V'}[g^*(\alpha)]$  et  $g^*(\Delta'_V(\alpha)) = \Delta'_{V'}[g^*(\alpha)]$

$$- \forall A \in V, \forall \alpha \in P_2(V) : g^*(A \times \alpha) = g^*(\alpha) g(A) \overline{g(A)} = g(A) \times g^*(\alpha)$$

D'après le principe de récurrence, l'homomorphisme,  $g^*$ , est identique à l'unique transcription de binoïdes,  $\hat{g}$ , de  $P_2(V)$  dans  $P_2(V')$ , définie sur l'application  $g$ .

Remarque 3 :

Cette propriété traduit la commutativité du diagramme,



$$\text{soit } p_2(V') \circ \hat{g}_{V, V'} = g^* \circ p_2(V).$$

2.3.3.3 - Mot des feuilles des ramifications de  $R(T, N)$

Propriétés

Soit  $V = T \cup N$ ,  $T$  et  $N$  étant deux ensembles disjoints, alors le mot des feuilles  $\varphi(r)$ , pour toute ramification  $r$  de  $R(T, N)$  est égal à  $h' \circ p_2(r)$ , où  $h'$  est l'homomorphisme alphabétique de  $(V \cup \bar{V})^*$  dans  $T^*$ , défini par :

$$A \in V \cup \bar{V} \quad h'(A) = \text{SI } A \in T \text{ ALORS } A \text{ SINON } \Lambda.$$

Démonstration :

$$- h' \circ p_2(\Lambda) = \Lambda$$

$$- \forall r, r' \in R(T, N) : h' \circ p_2(r-r') = h'(\uparrow'[p_2(r)]) h' \circ p_2(r') h'(\Delta'[p_2(r)])$$

$$= h'(\uparrow'[p_2(r)]) h' \circ p_2(r'), \text{ puisque}$$

$\Delta'[p_2(r)]$  appartient à  $\bar{V}'^*$ , soit  $h'(\Delta'[p_2(r)]) = \Lambda$ .

On peut alors écrire :

$$h' \circ p_2(r-r') = h'(\uparrow'[p_2(r)]) h'(\Delta'[p_2(r)]) h' \circ p_2(r') = h' \circ p_2(r) h' \circ p_2(r')$$

$$- \forall A \in V, \forall r \in R(T, N) \quad h' \circ p_2(A \uparrow r) = h' \circ p_2(r) h'(A).$$

Si  $h' \circ p_2(r)$  est différent du mot vide, alors  $h' \circ p_2(A \uparrow r)$  est égal à  $h' \circ p_2(r)$ , sinon il est égal à  $A$ .

D'après le "principe de récurrence", on a l'identité

$$\forall r \in R(T, N) \quad h' \circ p_2(r) = \varphi(r)$$

2.3.3.4 - Recherche des bilangages réguliers de  $P_2(V)$

Théorème 3

Les bilangages réguliers de  $P_2(V)$  sont les transcrits par une transcription de parenthèses,  $g^*$ , (définie à partir d'une application,  $g$ , de  $V'$  dans  $V$ ), de l'intersection d'un langage régulier sur  $V' \cup \bar{V}'$  avec le langage de parenthèses  $P(V')$ .

Démonstration

1) Compte-tenu du fait que l'ensemble des représentations des ramifications engendrées par une grammaire,  $G$ , dans le binoïde universel ascendant gauche (sur son alphabet) est l'intersection d'un langage régulier avec le langage de parenthèses qui constitue ce binoïde, et de la remarque 3, § 2.3.3.2 on démontre aisément la partie directe du théorème comme celle du théorème 2.

2) Etant donné un ensemble  $V'$  et un langage régulier  $K$  sur  $V' \cup \bar{V}'$ , il suffit de démontrer que  $K \cap P(V')$  est un bilangage régulier de  $P_2(V')$ . Nous utilisons les mêmes notations qu'au théorème 2 :  $K(V') = \psi^{-1}(M')$  et  $M' \subset M$ ,  $M_2 = \psi(V'^*)$ .

Munissons le monoïde  $M$ , des lois  $\dot{+}$  et  $\dot{\times}$  :

$$\begin{aligned} - \forall u \in M, \forall a \in V' \quad a \dot{\times} u &= u \psi(a) \psi(\bar{a}) \\ - \forall \alpha, \beta \in M \quad \alpha \dot{+} \beta &= \dot{\gamma}'(\alpha) \beta \dot{\Delta}'(\alpha), \text{ où } \dot{\Delta}'(\alpha) \end{aligned}$$

est le plus grand facteur droit de  $\alpha$ , qui appartient à  $M_2$  et  $\dot{\gamma}'(\alpha)$  le quotient à droite de  $\alpha$  par  $\dot{\Delta}'(\alpha) : \alpha = \dot{\gamma}'(\alpha) \dot{\Delta}'(\alpha)$ . Le triplet  $(M, \dot{+}, \dot{\times})$  définit une structure de binoïde,  $B$ , sur  $M$  :

- la loi,  $\dot{+}$ , est associative et admet,  $\psi(\lambda)$ , comme élément neutre.
- $\forall \alpha, \beta, \gamma \in M : (\alpha \dot{+} \beta) \dot{+} \gamma = \dot{\gamma}'(\alpha) \dot{\gamma}'(\beta) \gamma \dot{\Delta}'(\beta) \dot{\Delta}'(\alpha) = \alpha \dot{+} (\beta \dot{+} \gamma)$
- $\forall \alpha \in M$ , si  $\alpha = \psi(m)$  avec  $m$  appartenant à  $(V' \cup \bar{V}')^*$ , alors on a,
 
$$\alpha \dot{+} \psi(\lambda) = \dot{\gamma}'(\alpha) \psi(\lambda) \dot{\Delta}'(\alpha) = \dot{\gamma}'[\psi(m)] \psi(\lambda) \dot{\Delta}'(\alpha) = \psi(\dot{\gamma}m) \dot{\Delta}'(\alpha) = \alpha$$

$$\psi(\lambda) \dot{+} \alpha = \alpha \psi(\lambda) = \psi(m) \psi(\lambda) = \psi(m) = \alpha,$$

puisque pour tout  $m$  de  $(V' \cup \bar{V}')^*$ ,  $\dot{\gamma}'[\psi(m)] = \psi[\dot{\gamma}'(m)]$  et  $\dot{\Delta}'[\psi(m)] = \psi[\dot{\Delta}'(m)]$ . La loi,  $\dot{\times}$ , est une loi externe dans  $M$ , à opérateurs dans  $V'$ .

La restriction à  $P(V')$  de  $\psi, \psi_{P(V')}$ , est un homomorphisme de binoïdes de  $P_2(V')$  dans  $B$  :

$$\begin{aligned} - \forall \alpha \in P_2(V'), \forall a \in V' : \psi(a \times \alpha) &= \psi(\alpha) \psi(a) \psi(\bar{a}) = a \dot{\times} \psi(\alpha) \\ - \forall \alpha, \beta \in P_2(V') : \psi(\alpha + \beta) &= \psi[\dot{\gamma}'(\alpha)] \psi(\beta) \psi[\dot{\Delta}'(\alpha)] \end{aligned}$$

$$= \dot{\gamma}'[\psi(\alpha)] \psi(\beta) \dot{\Delta}'[\psi(\alpha)] = \psi(\alpha) \dot{+} \psi(\beta)$$

De plus :  $K \cap P(V') = \psi^{-1}_{P(V')} (M')$ .

Le triplet  $(B, M', \psi_{P(V)})$  détermine sur  $P_2(V')$  une structure de bilangage régulier : le bilangage  $K(V') \cap P(V')$ .

Le théorème 3 et les propriétés 5 et 6 nous permettent d'affirmer que  $S_2$ , définit une structure de binoïde universel compatible sur les langages de parenthèses.

2.3.3.5 - Etude des quadruplets associés à  $S_2$

Il est démontré dans PAIR [4], que l'ensemble des représentations des ramifications engendrées par une grammaire,  $G = (V, \rightarrow, X)$ , dans le binoïde universel ascendant gauche,  $P_2(V)$ , est l'intersection d'un langage régulier  $K_2$ , avec le langage de parenthèse qui constitue ce binoïde :

$$- P_2(V) [S(G)] = K_2 \cap P(V), \text{ avec pour } K_2, \text{ le langage, } K^* \bar{X}, \text{ où}$$

$$K = \bigcup_{A \in V} \bar{K}_A A.$$

$$- \forall r \in S(G) : \varphi(r) = h' \circ p_2(V) [r].$$

Le quadruplet,  $(V, I_V, K_2, h')$ , peut être associé à la structure  $S_2$ . Tout mot de  $P(V)$ , commence par un élément de  $V$  ; on peut ainsi définir un autre quadruplet :  $(V, I_V, T(V \cup \bar{V})^* \cap K_2, h')$ , puisque  $[T(V \cup \bar{V})^* \cap K_2] \cap P(V) = K_2 \cap P(V)$ .

L'emploi de la structure,  $S_2$ , dans le problème de l'analyse syntaxique, conduit à une analyse de droite à gauche qui procède des feuilles vers les racines, nous la dénommerons analyse ascendante.

#### 2.4 - ANALYSE AVEC MARQUEURS

Soit  $(V, g, K, h)$ , un quadruplet associé à une structure compatible ; montrons que l'on peut toujours se ramener au cas où tous les mots de  $K$ , commencent par la même lettre,  $\#$ , et se terminent par la même lettre  $\bar{\#}$ ,  $\#$  et  $\bar{\#}$  n'ayant pas d'occurrence dans les mots de  $K$ .

Adjoignons à  $V$ , un marqueur  $\#$ , n'appartenant pas à ce dernier, et soit,  $\bar{\#}$  parenthèse fermante associée à  $\#$ , de telle sorte que  $\bar{\#}$  n'appartient pas à  $V$ . Posons  $V_1 = V \cup \#$  et  $K_1 = \# K \bar{\#}$ .

Alors  $K_1 \cap P(V_1) = \# (K \cap P(V)) \bar{\#}$ .

Si nous prolongeons l'application  $g$  par  $g(\#) = g(\bar{\#}) = \wedge$ , le langage régulier  $L$  vérifie l'égalité :

$$h^{-1}(\alpha) \cap g^*(K_1 \cap P(V_1)) = h^{-1}(\alpha) \cap g^*(K \cap P(V)).$$

La résolution du problème de l'analyse syntaxique par le quadruplet,  $(V_1, g, K_1, h)$  nous conduit au même ensemble,  $\mathcal{A}(\alpha)$ , que pour  $(V, g, K, h)$ .

Dans la suite, nous traiterons toujours des analyses avec adjonction de marqueurs. Ceci nous simplifiera, en particulier, l'étude du chapitre 5 et la réalisation des programmes d'analyse.

### CHAPITRE III

Etude du passage d'une grammaire,

aux quadruplets  $(V', g, K, h)$ ,

pour une structure compatible donnée.

## INTRODUCTION

Il s'agit dans ce chapitre d'étudier des techniques simples, nous permettant pour chacune des structures compatibles étudiées au chapitre précédent, de construire les quadruplets  $(V, g, K, h)$ .

Il nous faudra en particulier étudier les modes de représentations dans la mémoire de l'ordinateur, d'une grammaire, d'un langage régulier, et d'un graphe.

## REPRESENTATION EN MEMOIRE D'UN GRAPHE, D'UN LANGAGE LOCAL, D'UN LANGAGE REGULIER ET D'UNE GRAMMAIRE

### 3.1.1 - Représentation d'un graphe

Les graphes que nous utilisons seront toujours mémorisés, dans l'ordinateur sous forme de deux tableaux unidimensionnels TA1, et TS :

- Le tableau, TS, contient la liste des familles de successeurs de chacun des points du graphe.

Chaque dernier élément d'une famille est affecté d'un signe moins.

On peut diminuer la place en mémoire pour une telle représentation d'un graphe,  $G = (E, \Gamma)$ , en procédant comme suit :

Soit,  $F_i$ , pour  $i=1, \dots, n$ , les différentes familles de  $G$ , et supposons que l'intersection de  $p$  familles,  $I = \bigcap_{i=1}^p F_i$ , soit non vide ( $p \leq n$ ).

Chaque famille,  $F_i$ , de successeurs d'un point  $x$  de  $G$  pour laquelle,  $F_i \cap I = \emptyset$ , sera rangée dans le tableau TS comme précédemment, par contre pour les autres points on ne le fera que pour les sous-familles :  $F'_i = F_i - I$ . Pour différencier ces sous-familles on n'affectera pas leur dernier élément d'un signe moins, mais on leur imposera comme dernier élément, un point fictif n'appartenant pas à  $E$ .

L'ensemble,  $E$ , étant codifié en mémoire par des entiers on pourra prendre zéro pour celui-ci ; on considère ainsi que l'ensemble de définition d'un graphe sera toujours codifié à partir de un.

La sous-famille commune,  $I$ , sera implantée à la fin du tableau TS, à partir d'un rang fixé, NP1.

Un tel procédé sera avantageux, si il existe un entier,  $p$ , ( $p > 1$ ) pour lequel une sous-famille  $I$  possède un nombre d'éléments au moins supérieur ou égal à 2 :

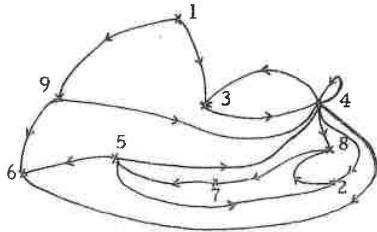
$$\text{card } I + p < p \text{ card } I$$

$$\text{card } I \geq \left[ \frac{p}{p-1} \right] + 1 = 2 + \left[ \frac{p}{p-1} \right] = 2$$

- Le tableau,  $TA_1$ , donne pour chaque point du graphe l'indice dans  $TS$ , du premier élément de la famille de ses successeurs.

Lorsqu'un point ne possède pas de successeur, cet indice sera nul.

Exemple :



Matrice booléenne associée

|   |   |   |   |   |   |   |   |   |   |
|---|---|---|---|---|---|---|---|---|---|
|   | 1 | 2 | 3 | 4 | 5 | 6 | 7 | 8 | 9 |
| 1 | 0 | 0 | 1 | 0 | 0 | 0 | 0 | 0 | 1 |
| 2 | 0 | 0 | 0 | 0 | 0 | 0 | 0 | 1 | 0 |
| 3 | 0 | 0 | 0 | 1 | 0 | 0 | 0 | 0 | 0 |
| 4 | 0 | 1 | 1 | 1 | 0 | 1 | 0 | 1 | 0 |
| 5 | 0 | 1 | 0 | 1 | 0 | 1 | 0 | 0 | 0 |
| 6 | 0 | 0 | 0 | 0 | 0 | 0 | 0 | 0 | 0 |
| 7 | 0 | 0 | 0 | 0 | 1 | 0 | 0 | 0 | 0 |
| 8 | 0 | 0 | 0 | 0 | 0 | 0 | 1 | 0 | 0 |
| 9 | 0 | 0 | 0 | 1 | 0 | 0 | 0 | 0 | 0 |

(Voir [8])

|        |   |   |   |   |    |   |   |   |    |
|--------|---|---|---|---|----|---|---|---|----|
|        | 1 | 2 | 3 | 4 | 5  | 6 | 7 | 8 | 9  |
| $TA_1$ | 1 | 3 | 4 | 5 | 12 | 0 | 8 | 9 | 10 |

|      |   |    |    |    |   |   |   |    |    |    |    |    |    |    |
|------|---|----|----|----|---|---|---|----|----|----|----|----|----|----|
|      | 1 | 2  | 3  | 4  | 5 | 6 | 7 | 8  | 9  | 10 | 11 | 12 | 13 | 14 |
| $TS$ | 3 | -9 | -8 | -4 | 8 | 3 | 0 | -5 | -7 | 4  | -6 | -2 | 4  | -6 |

Dans ce cas :  $NP_1 = 12$ .

Remarque : Lorsque pour un point,  $x$ , du graphe,  $I \cap F_1 = 1$ , la valeur de l'élément de rang  $x$  dans le tableau,  $TA_1$ , sera l'entier  $NP_1$ .

### 3.1.2 - Représentation d'un langage local sur un alphabet $V$

Un langage local,  $L$ , sur un alphabet  $V$ , sera toujours donné sous la forme d'un quadruplet,  $(V, D, F, gl)$  où :

- $D$  est l'ensemble initial ( $D \subset V$ )
- $F$  est l'ensemble final ( $F \subset V$ )
- $gl = (V, \Gamma)$ , est le graphe des transitions associé au langage  $L$ .

L'alphabet  $V$ , étant codifié dans l'ordinateur sous forme d'entiers, les ensembles  $D$  et  $F$  pourront être rangés dans des tableaux entiers, cependant comme les langages locaux nous sont utiles lors de la détermination des grammaires nous les représenterons d'une façon particulière que nous exposerons dans un paragraphe suivant.

Le graphe,  $gl$ , sera représenté comme nous l'avons convenu précédemment.

### 3.1.3 - Représentation d'un langage régulier

Un langage régulier étant considéré comme transcrit d'un langage local, tout langage régulier,  $K$ , sur un alphabet  $V$  sera donné sous la forme d'un triplet  $(V', L, t)$ , tel que :  $K(V) = t(L)$ , avec pour  $L$ , le langage local  $(V', D, F, gl)$  et  $t$ , une transcription de  $V'^*$  dans  $V^*$ .

La représentation en mémoire de  $L$ , est définie par deux tableaux :  $TA_1$  et  $TS$ , ainsi que par les ensembles  $D$  et  $F$ .

Un troisième tableau,  $TA_2$ , nous donnera pour tout point  $x$  de  $V'$ , la lettre associée à  $t(x)$  dans l'alphabet  $V$ .

Les deux ensembles  $D$  et  $F$ , et les trois tableaux  $TA_1$ ,  $TA_2$ , et  $TS$  détermineront entièrement le langage régulier  $K$ .

Etant donné un langage régulier,  $K$ , nous nous intéresserons au langage régulier  $K_1 = \#K\#$ , que nous avons défini au chapitre 2. L'introduction des marqueurs  $\#$  et  $\#$  nous conduit à adjoindre au graphe,  $gl$ , qui intervient dans la définition de  $K$ , deux points  $\varepsilon$  et  $\varepsilon'$  vérifiant,  $t(\varepsilon) = \#$  et  $t(\varepsilon') = \#$ , de telle sorte que  $K_1$  sera le transcrit par  $t_1$  du langage local,  $L_1 = (V'_1, D_1, F_1, gl_1)$ , avec :

- $V'_1 = V' \cup \{\varepsilon, \varepsilon'\}$
- $D_1 = \{\varepsilon\}$ , est l'ensemble initial
- $F_1 = \{\varepsilon'\}$ , est l'ensemble final
- $gl_1 = (V'_1, \Gamma_1)$ , est le graphe des transitions défini par :
  - $(\forall x, y \in V') (x \Gamma_1 y \iff x \Gamma y)$
  - $(\forall x \in D) (\varepsilon \Gamma_1 x)$
  - $(\forall x \in F) (x \Gamma_1 \varepsilon')$



|      |   |   |   |   |
|------|---|---|---|---|
|      | 1 | 2 | 3 | 4 |
| TAID | 1 | 2 | 5 | 7 |
| TAIF | 1 | 2 | 5 | 7 |

|     |     |   |   |     |   |    |    |     |
|-----|-----|---|---|-----|---|----|----|-----|
|     | 1   | 2 | 3 | 4   | 5 | 6  | 7  | 8   |
| TSD | -12 | 2 | 3 | -13 | 4 | -8 | 11 | -9  |
| TSF | -12 | 2 | 3 | -14 | 6 | -7 | 11 | -10 |

### 3.1.5 - Cas d'une grammaire donnée sous forme de règles

Le passage d'une grammaire, donnée par ses règles, aux langages réguliers des quadruplets associés aux structures compatibles a été étudié par Melle Studenman [5]. Nous nous contenterons d'indiquer ici la façon de passer des règles de grammaire à la représentation d'une grammaire, comme nous l'avons réalisée au paragraphe précédent. Il nous faut définir les transformations à effectuer pour construire le langage  $L^0$ , à partir des règles de grammaire.

Une méthode simple consiste à associer à chaque occurrence d'une lettre dans une règle, un entier qui caractérisera l'ordre de cette occurrence, et que l'on désigne par ORD. Ceci suppose que l'alphabet auxiliaire (c'est à dire l'ensemble des membres de gauche des règles) sera ordonné, ainsi que chacune des alternatives d'une règle ; on prendra par exemple l'ordre de rangement dans le tableau qui nous servira à introduire ces règles en mémoire.

Nous définissons alors un graphe,  $g\ell = (O, \Gamma)$ , sur l'ensemble  $O$ , des entiers associés à chacune des occurrences d'une lettre, dans une règle :

$$x \Gamma y \iff y = x + 1.$$

Ce graphe sera en fait le graphe  $g\ell^0$ , puisque le sous-graphe partiel associé à  $L_0$  est formé de points sans successeur, que nous pourrons représenter par les entiers de 2 à NAXIOM, si l'on désigne par NAXIOM le nombre, plus un, des axiomes. Si l'application,  $c_3$ , est la codification entière des lettres de l'alphabet de la grammaire donnée, la transcription  $t^0$ , sera :

$$\begin{aligned} & - \forall x \in O, t^0(x) = c_3[ORD^{-1}(x)] \\ & - \forall x, 2 \leq x \leq NAXIOM, t^0(x) = c_3(x). \end{aligned}$$

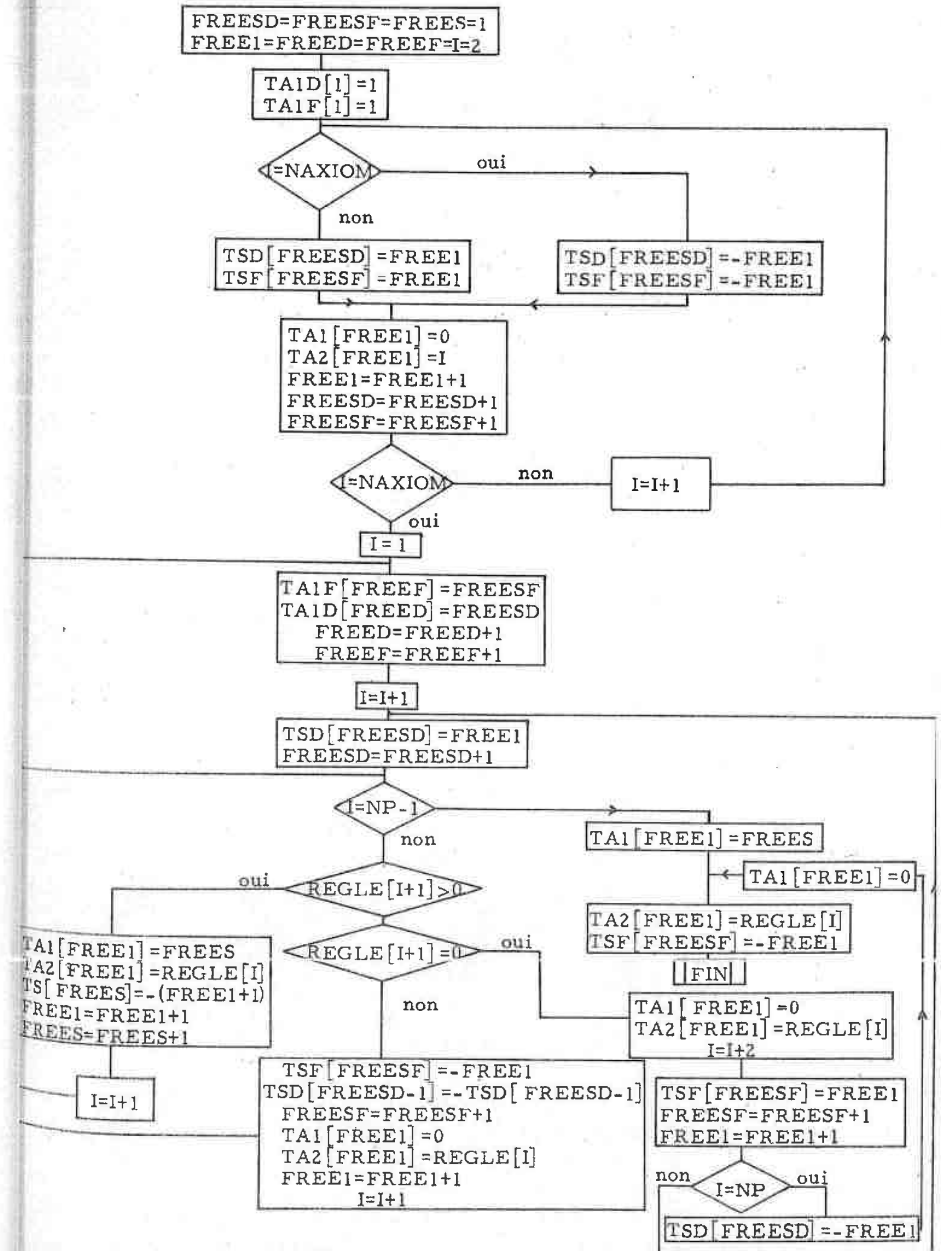
Les règles de grammaire sont rangées dans un tableau unidimensionnel, REGLE[1:NP]. Pour chaque règle on affectera au tableau, REGLE, le membre de gauche que l'on précédera du signe moins, puis les éléments du membre de droite avec le signe plus et un zéro pour chaque alternative d'une règle.

Cette méthode a le désavantage de ne pas optimiser la place en mémoire ; en effet une lettre apparaissant deux fois dans les membres de droite d'une même règle de grammaire est dédoublée. Au point de vue de l'étude contextuelle cela présentera au contraire l'avantage dans certains cas, de permettre un choix entre les deux possibilités d'une même règle.

#### Algorithmme

Les tableaux TA1, TA2, TS, TSD, TSF, TAID, TAIF sont remplis séquentiellement ; une variable nous permet de connaître pour chacun d'eux le premier élément du tableau non encore occupé, soit respectivement

FREE1, FREE1, FREES, FREESD, FREESF, FREED, FREEF.



ETUDE DES PROGRAMMES DE PASSAGE D'UNE GRAMMAIRE AUX QUADRUPLETS  
(V, g, K, h), ASSOCIES AUX STRUCTURES COMPATIBLES

3.3.1 - Mémorisation du langage régulier K et de l'homomorphisme,  $g^*$

3.3.1.1 - Données et résultats des programmes de passage

- Les données sont les sept tableaux unidimensionnels nécessaires à la définition d'une grammaire, en mémoire et dont les identificateurs sont : TAB1, TABS, TA1D, TSD, TA1F, TSF, TAB2.

Nous avons étudié en 3.2 la représentation en mémoire d'une grammaire, G, par le langage régulier,  $K^0 = t^0(L^0)$ , où  $L^0 = (V^0, D, F, gt^0)$  :

- TAB1 et TABS définissent les familles du graphe des transitions de  $L^0$ .
- TA1D et TSD définissent les familles du graphe représentant l'ensemble initial de  $L^0$  ; TA1F et TSF celles du graphe représentant l'ensemble final de  $L^0$ .
- TAB2 définit la transcription,  $t^0$ .

- Les résultats seront trois tableaux unidimensionnels, et, dans le cas de certaines structures compatibles, un entier d'identificateur NP1 :

- les tableaux, TA1 et TS, de dimension respective NPG1 et NPF, définissent entièrement le langage local L tel que :  $K = t(L)$ , puisque l'on convient qu'en mémoire l'ensemble initial de L (respectivement final) est représenté par {1} (respectivement NPG1), et que nous n'effectuerons que des analyses avec adjonction de marqueurs.

- le tableau TA2 à NPG1 éléments nous donne soit la transcription, t, soit l'application  $g^*$

- l'entier, NP1, définit dans certains cas l'adresse dans TS, d'une sous-famille commune aux familles du graphe  $gt^0$ .

Remarque 1 :

Soit un alphabet V possédant n éléments ; on conviendra toujours que les parenthèses fermantes associées à V,  $\bar{V}$  se déduisent de V de la façon suivante : si x appartient à V et c réalise la codification entière de V en mémoire, alors  $c(\bar{x}) = c(x) + n$ .

3.3.1.2 - Etude des programmes dans chacune des structures compatibles  
étudiées au chapitre 2

I. Structure  $S_3$

Le quadruplet associé  $S_3$ , que nous choisissons est  $(V_1, I_{V_1}, K, h)$ , avec :

$$K = \# [K_3 \cap (V \cup \bar{V})^* \bar{T}] \bar{\#} \text{ et } K_3 = \tilde{x} \left( \bigcup_{A \in V} \bar{A} \tilde{K}_A \right)^*$$

L'alphabet  $V_1$  est la réunion de  $\#$  avec l'alphabet  $V$  de  $G$ . Rappelons que  $K_3 = K_3 \cap L(V)$  où  $L(V)$  est le langage local admettant pour transitions :

$$\{ \forall a, b \in V \mid ab, \bar{a}b, a\bar{b}, a\bar{a} \}$$

Il nous reste à préciser le langage local  $L_3$  et à définir la transcription  $t_3$ , tel que :  $K = t_3(L_3)$  - Le tableau, TA2, associera à tout  $x$  de  $L_3$ , l'élément  $t_3(x)$  de  $K$ .

### 1. Etude de la génération de $K$

Le langage  $K$ , peut être défini à partir d'une suite de langages réguliers :  $K^1, K^2, K^3, K^4$  chacun d'eux étant mémorisé sous la forme d'un langage local  $L^i (i=1, 2, 3, 4)$ , et d'une transcription  $t^i (i=1, 2, 3, 4)$  tels que :  $K^i = t^i(L^i) (i=1, 2, 3, 4)$ .

Nous considérerons que tous les alphabets utilisés dans ce chapitre seront identifiés avec leur codification entière dans l'ordinateur.

1.1)  $K^1 = K^0 = \tilde{x} \cup \left( \bigcup_{A \in N} \tilde{K}_A \right) = t^0(L^1)$ , avec pour  $L^1$  le langage local,  $(V^1, F, \Gamma, gl^1)$  :

- l'ensemble,  $V^1$ , est formé des entiers de 2 à  $NB+1$ .
- le graphe  $gl^1 = (V^1, \Gamma^1)$  est donné par :

$$\forall x, y \in V^1 \quad x\Gamma^1 y \iff y\Gamma^0 x.$$

On définit ainsi "les transitions du type 1".

1.2)  $K^2 = \# \tilde{x} \cup \left( \bigcup_{A \in V} \bar{A} \tilde{K}_A \right) = t^2(L^2)$ .

Définissons par,  $V_T$ , (respectivement par  $V_N$ ) les entiers de  $N+NB+1$  à  $NB+VOC$  (respectivement de  $NB+1$  à  $NB+N$ ). On rappelle que l'alphabet de  $G$  possède,  $VOC-1$ , éléments.

Le langage local,  $L^2$ , est le quadruplet  $(V^2, V^2-V^1, DU, V_T, gl^2)$ .

(Les ensembles  $D$  et  $F$  seront souvent identifiés avec les graphes de même nom définis en 3.1.4). L'ensemble de définition de  $L^2, V^2$ , est égal à  $V_1^1 \cup V_T \cup V_N$ . c'est à dire les entiers de 1 à  $NB+VOC$ .

La transcription,  $t^2$ , est définie par :

$$- \forall x \in V^1 \quad t^2(x) = t^0(x)$$

$$- t^2(1) = 1 \quad (C_2(\#) = 1)$$

$$- \forall x \in V^2 - V^1 \quad t^2(x) = x + VOC - NB$$

(1 à  $NB+1$ ).

( $V_1^1$  est l'ensemble des entiers de

Quant au graphe  $gl^2 = (V^2, \Gamma^2)$  :

$$- (\forall x \in V^1) (x\Gamma^2 y \iff x\Gamma^1 y) \quad (\text{transitions du type 1})$$

-  $(\forall x \in V_N) (\forall y \in F(x-NB)) (x\Gamma^2 y)$  ; on crée ainsi "les transitions du type 2", plus explicitement définies par :

$$(\forall A \in N) (\forall B \in T_A(F_A)) (\bar{A}B)$$

$$- (\forall y \in F(1)) (1\Gamma^2 y), \text{ ce qui nous donne les "transitions du type 3" :}$$

$$(\forall A \in t_0(F_0)) (\#A).$$

1.3)  $K^3 = \# [\tilde{x} \left( \bigcup_{A \in V} \bar{A} \tilde{K}_A \right)^* \cap L(V)] = t^2(L^3)$ , avec pour  $L^3$ , le langage local  $(V^3, \{1\}, DU, V_T, gl^3)$ .

Le graphe,  $gl^3 = (V^3, \Gamma^3)$ , est donné par :

$$- (\forall x, x=1, 2, \dots, N) (\forall y \in D(x)) (y\Gamma^3 z, z = NB + t^2(y)), \text{ qui nous donne les "transitions du type 4" :}$$

$$(\forall A \in V) (\forall A \in t_0(D_0)) \cup \left( \bigcup_{C \in N} t_C(D_C) \right) (A\bar{A})$$

$$- (\forall x \in V_T) (\forall y \in V^2 - V^1) (x\Gamma^3 y), \text{ soit les "transitions du type 5" :}$$

$$(\forall A \in T) (\forall B \in V) (\bar{A}B)$$

1.4)  $K^4 = t^4(L^4) = [\# \tilde{x} \left( \bigcup_{A \in V} \bar{A} \tilde{K}_A \right)^* \cap L(V) \cap (V \cup \bar{V}) \bar{T}] \bar{\#}$  ; ou ce qui est

équivalent :  $K^4 = K$ .

$L^4$  est le langage local,  $L_3$ , que nous cherchions ; il est donné par le quadruplet  $(V^4, \{1\}, NPG1, gl^4)$

$$- \text{L'ensemble, } V^4, \text{ est formé des entiers de 1 à } NB+VOC+1$$

$$- NPG1 = NB+VOC+1$$

$$- \text{La transcription, } t^4, \text{ est obtenue en prolongeant } t^2 :$$

$$- \forall x \in V^2 \quad t^4(x) = t^2(x)$$

$$- t^4(NPG1) = VOC+1$$

$$- \text{Quant au graphe } gl^4 = (V^4, \Gamma^4) :$$

$$- (\forall x, y \in V^2) (x\Gamma^4 y \iff x\Gamma^3 y)$$

$$- (\forall x \in V_T) (x\Gamma^4 NPG1), \text{ ce qui nous donne "les transitions$$

du type 6" :

$$(\forall A \in T) (\bar{A}\bar{\#}).$$

2. Programmation de la mémorisation des langages  $K^1, K^2, K^3, K^4$

Il s'agit de construire la liste des familles des points du graphe des transitions de langage local,  $L^4$ . Notre analyse précédente nous a conduit à définir progressive-  
ment les transitions de  $L^4$ . Nous créerons ainsi une liste, LIS, qui sera celle des familles de  $gl^4$ . Nous générerons séquentiellement cette liste au cours de plusieurs étapes de façon à définir successivement les transitions de  $L^1$ , puis celles de  $L^2, L^3$  et  $L^4$ .

Nous associons à cette liste un tableau unidimensionnel, TA1, possédant NPG1 éléments ; il donne à chaque étape,  $i$ , ( $i=1, 2, 3, 4$ ) l'adresse dans LIS, du premier élément de la famille des successeurs des points du graphe des transitions de  $L^i$ . Un autre tableau unidimensionnel, TA2, possédant le même nombre d'éléments, donne à chaque étape,  $i$ , le transcrit par  $t^i$ , de chacun des points du graphe des transitions de  $L^i$ .

2.1) Définition de la liste LIS

Cette liste sera divisée en enregistrements de deux mots. Une adresse, FREE, donne à chaque instant l'adresse dans LIS, du premier enregistrement non défini. Supposons que nous ayons trouvé un point,  $y$ , tel que  $x \Gamma^i y$  à la  $i$ ème étape ; nous créons un enregistrement à l'adresse FREE.

Dans le premier mot de l'enregistrement, nous plaçons zéro, si  $y$  est le premier successeur de  $x$  que nous connaissons ; dans le cas contraire nous y placerons l'adresse du premier successeur de  $x$  ; mais nous conviendrons que,  $y$ , sera désormais le premier successeur de  $x$  :

- LIS[FREE] = 0 et TA1[x] = FREE,
- ou - LIS[FREE] = TA1[x] et TA1[x] = FREE.

Dans le deuxième mot, nous plaçons  $y$ .

Exemple :

|     |   |  |       |  |      |
|-----|---|--|-------|--|------|
|     | 1 |  | x     |  | NPG1 |
| TA1 |   |  | $n_1$ |  |      |

|     |       |       |       |       |         |
|-----|-------|-------|-------|-------|---------|
|     | $n_1$ |       | $n_2$ |       | $n_3$   |
| LIS | $n_2$ | $y_1$ | $n_3$ | $y_2$ | 0 $y_3$ |

Si nous sommes à l'étape,  $i$  :  $y_1, y_2, y_3 \in \Gamma^i(x)$ .

2.2) Organigramme général

L'analyse précédente nous invite à définir quatre modules que nous exécuterons successivement, et qui sont :

LECTURE, MIROIR1, TRANSITION1, et PASSAGE1.

Module LECTURE

Ce module réalise la lecture des tableaux :

TAB1, TABS ; TA1D, TA1F, TSD, TSF ; TA2.

Il initialise à zéro chacun des éléments de TA1.

Module MIROIR1

Il crée les transitions du type 1.

Module TRANSITIONS1

Ce module crée les transitions des types 2, 3, et 4 ; à chacune d'elles est associé un sous-module :

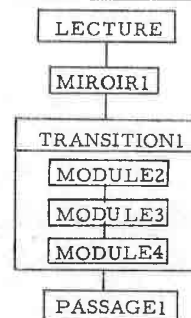
MODULE2, MODULE3, MODULE4.

Module PASSAGE1

Il s'agit dans ce module de construire à partir de LIS le tableau des familles, TS, tel que nous l'avons déjà défini. La seule famille de successeurs que nous n'avons pas rangée dans LIS est la famille de successeurs, commune aux éléments de  $V_T$  (soient les transitions des types 5 et 6).

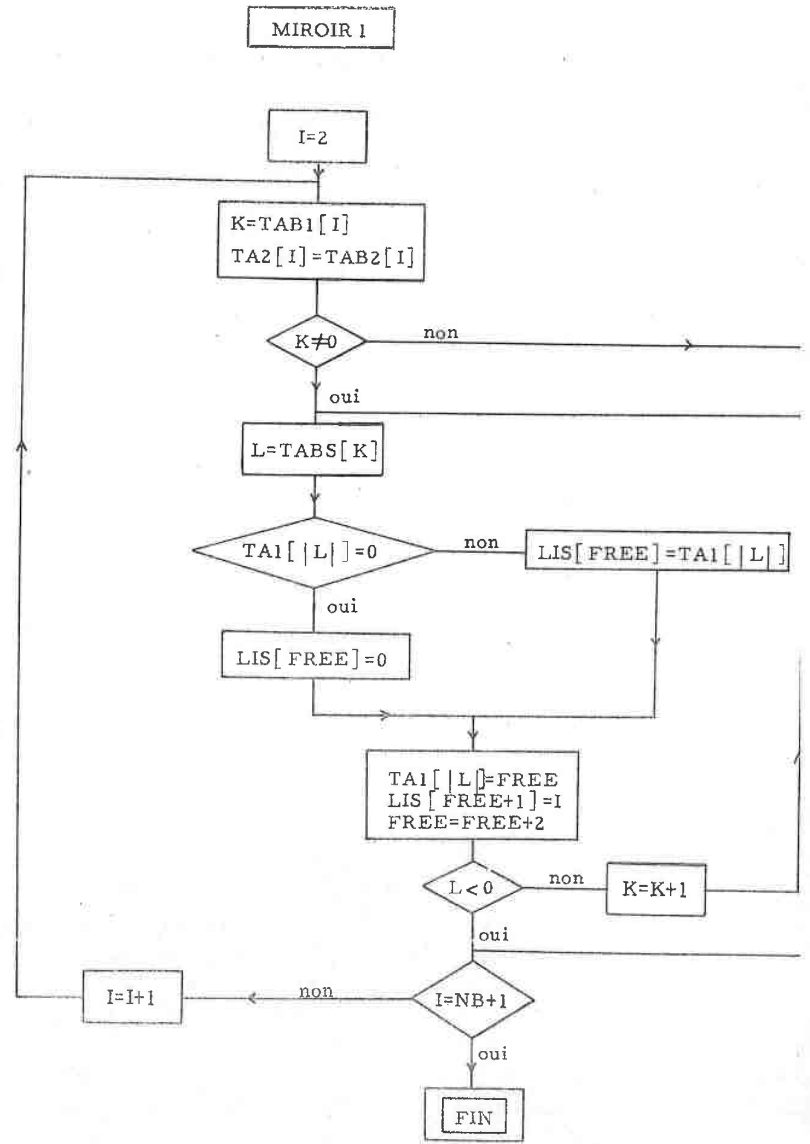
Il nous suffit ainsi de ranger séquentiellement les familles de LIS, puis la famille commune pour définir totalement le tableau TS.

Algorithme général

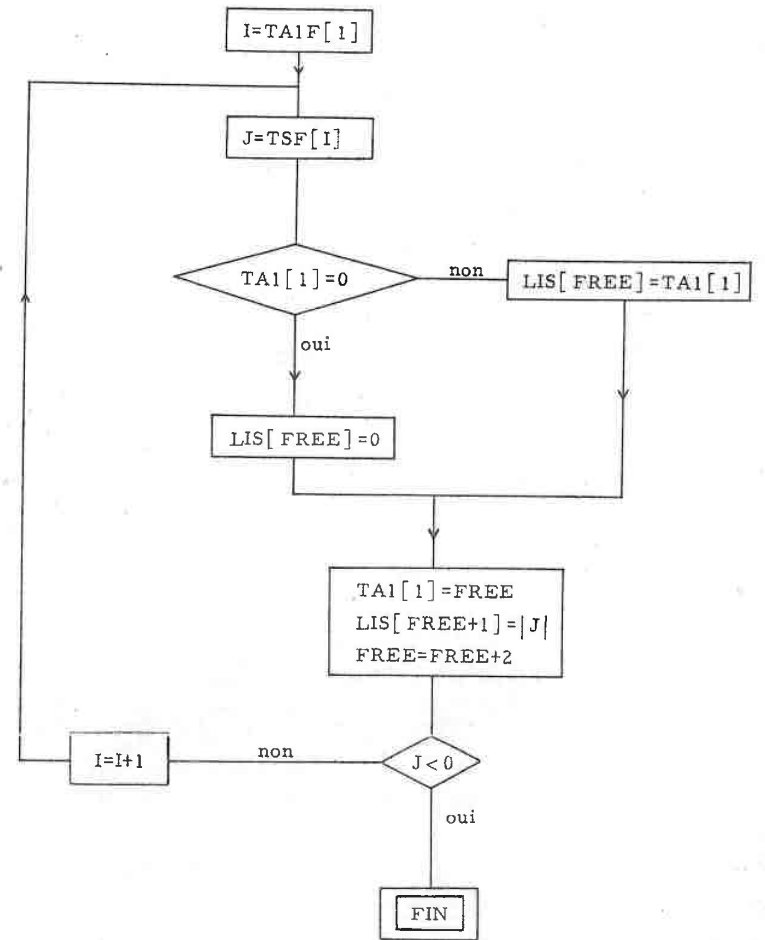


3. Définition en mémoire de  $g^*$

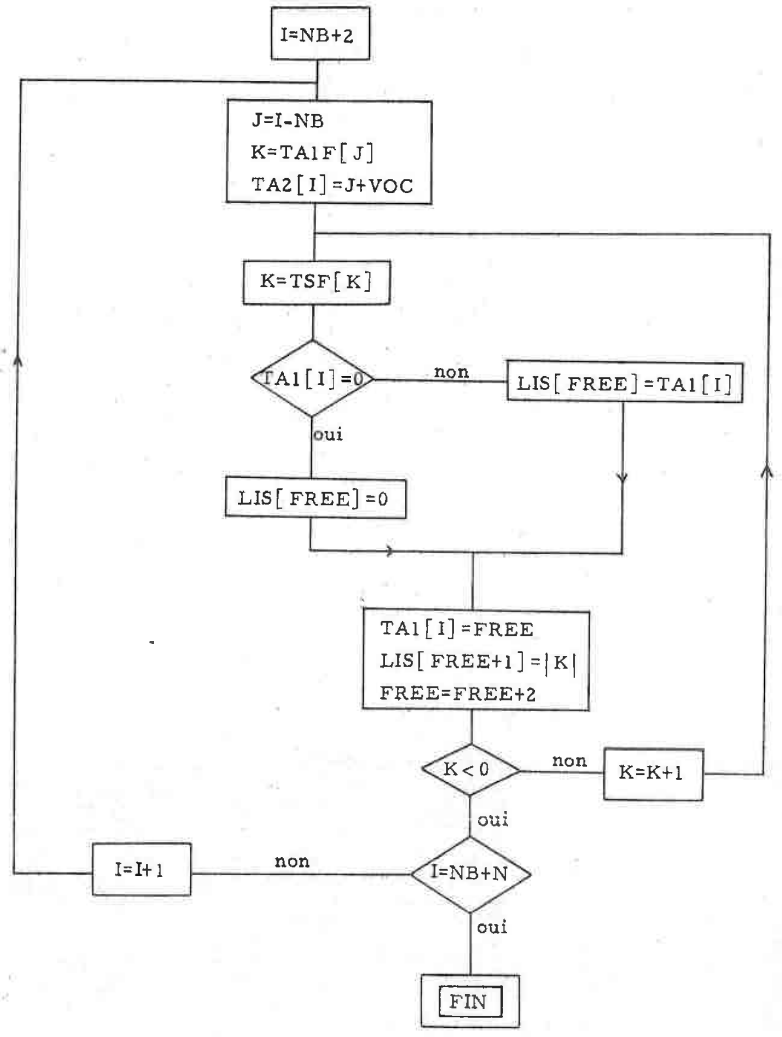
La restriction à  $V$  de  $g$  étant l'identité sur  $V$ , une procédure simple pourra être utilisée pour définir,  $g^*$ , en mémoire (Voir annexe).



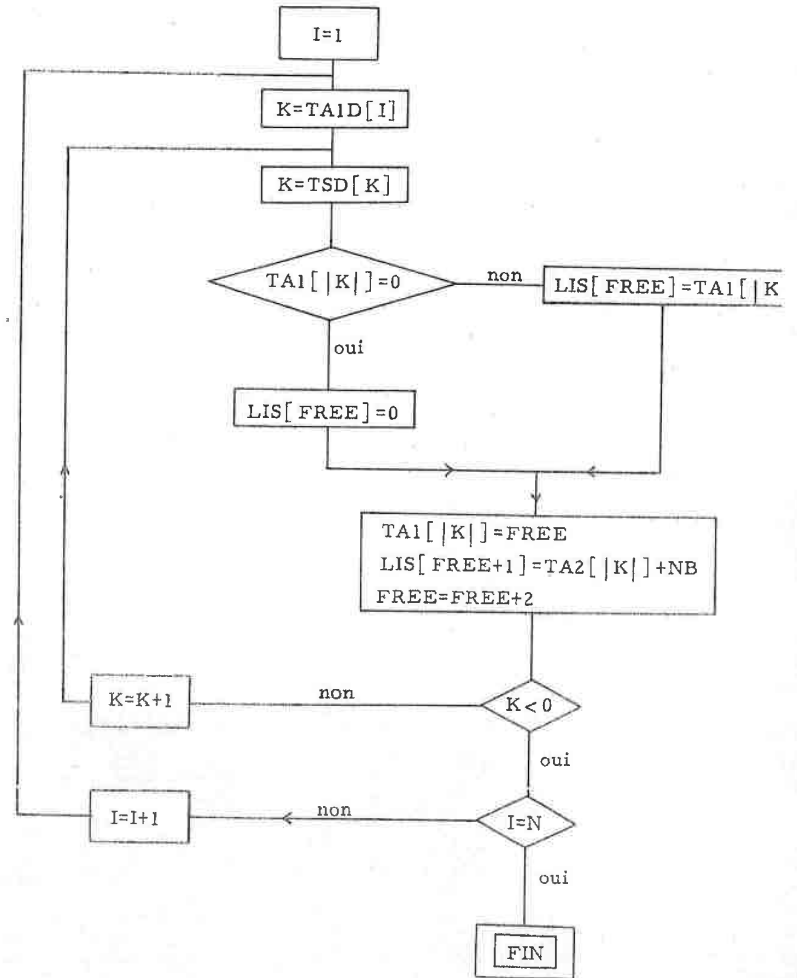
MODULE2



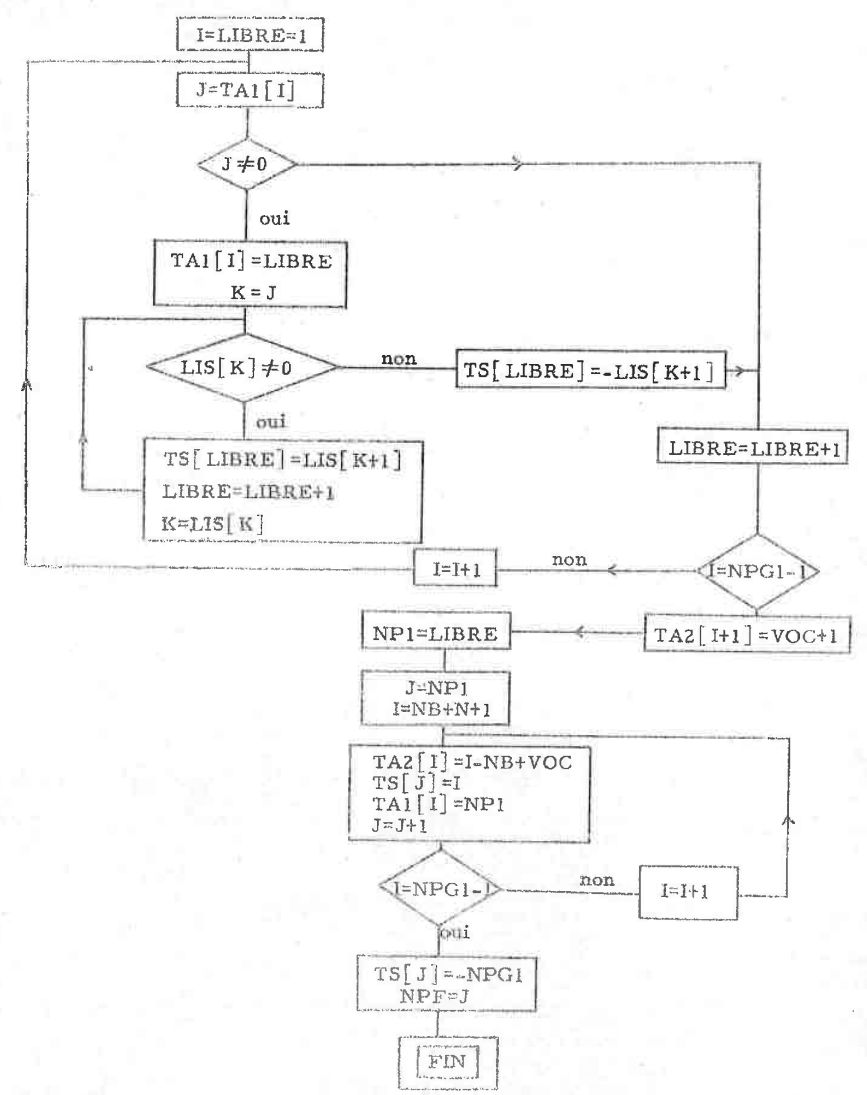
MODULE3



MODULE4



PASSAGE1



II. Structure  $S_2$

Le quadruplet associé que nous choisissons est  $(V_1, I_{V_1}, K, h')$ , avec

$$K = \# [K_2 \cap T(V \cup \bar{V})^*]^{-\#} \quad \text{et} \quad K_2 = \left( \bigcup_{A \in V} \bar{K}_A A \right)^* \bar{X}.$$

Il nous faut déterminer le langage local  $L_2$  et définir la transcription  $t_2$ , tels que  $K = t_2(L_2)$ . Comme au § I, le tableau TA2, associera à tout  $x$  de  $L_2$ , l'élément  $t_2(x)$  de  $K$ .

1. Etude de la mémorisation de  $K$

Nous allons construire, comme au paragraphe I, une suite de langages réguliers :  $K^0, K^1, K^5, K^6, K^7, K^8$ .

1.1) Les langages réguliers  $K^0$  et  $K^1$  sont ceux que nous avons définis aux paragraphes I 1.1 et I 1.2 :

$$K^1 = t^0(L^1) = K^0 = \bar{X} \cup \left( \bigcup_{A \in N} \bar{K}_A \right).$$

1.2)  $K^5 = t^5(L^5) = \bar{K}^1 = \bar{X} \cup \left( \bigcup_{A \in N} \bar{K}_A \right)$ , avec pour  $L^5$ , le langage local

$(V', F, D, gl^1)$ . Il nous est loisible de choisir,  $L^5$ , identique à  $L^1$  : ils possèdent en effet les mêmes transitions, puisque le langage régulier  $K^5$  se déduit de  $K^1$ , en remplaçant dans chacun de ses mots une parenthèse ouvrante par la parenthèse fermante, qui lui est associée biunivoquement.

La définition de la transcription  $t^5$  est alors immédiate :

$$\forall x \in V' \quad t^5(x) = t^0(x) + \text{VOC} \quad (\text{remarque 1 ; § 3.3.1.1})$$

1.3)  $K^6 = t^6(L^6) = \bar{X} \bar{\#} \cup \left( \bigcup_{A \in V} \bar{K}_A A \right)$ , avec  $L^6 = (V^4 - \{1\}, F \cup V_T, W, gl^6)$ , et

$W = V_T \cup V_N$ . Les ensembles  $V^4$  et  $V_T$  ont été définis précédemment, ainsi que l'entier NPG1 :  $\text{NPG1} = \text{NB} + \text{VOC} + 1$ .

La transcription  $t^6$  est donnée par :

$$- (\forall x \in V') \quad (t^6(x) = t^5(x)) \quad (V' \text{ est défini au § I})$$

$$- t^0(\text{NPG1}) = \text{VOC} + 1$$

$$- (\forall x \in V_N \cup V_T) \quad (t^6(x) = x - \text{NB})$$

Quant au graphe  $gl^6 = (V^4 - \{1\}, \Gamma^6)$  :

- $(\forall x, y \in V^4) (x\Gamma^6 y \iff x\Gamma^1 y)$
- $(\forall x \in V_N) (\forall y \in D(x-NB)) (y\Gamma^6 x)$ , ce qui nous donne

"les transitions du type 7" :

- $(\forall A \in N) (\forall B \in t_A(D_A)) (\bar{B}A)$
- $(\forall x \in D(1)) (x\Gamma^6 NPG1)$  ; on crée ainsi les "transitions du

type 8" :  $(\forall B \in t_0(D_0)) (\bar{B} \#)$ .

1.4)  $K^7 = t^6(L^7) = \left( \bigcup_{A \in V} \bar{K}_A A \right)^* \bar{X} \# \cap L^-(V_1)$ , avec pour  $L^7$ , le langage local

$(V^4 - \{1\}, F' \cup V_T, NPG1, gl^7)$ . L'ensemble  $F'$  est égal à  $F - F_0$ , mais comme nous identifions  $\Gamma$  et le graphe,  $(N, F)$ , qui le représente,  $F'$  sera le sous-graphe de obtenu en supprimant dans  $F$ , le point  $\{1\}$ .

Définissons le graphe  $gl^7 = (V^4 - \{1\}, \Gamma^7)$  :

- $(\forall x, y \in V^4 - \{1\}) (x\Gamma^7 y \iff x\Gamma^1 y)$
- $(\forall z \in V_T \cup V_N) (\forall y \in F[t^6(z)]) (t^6(y) = t^6(z) + VOC, z\Gamma^7 y)$

On crée les "transitions du type 9" :

- $(\forall A \in t_0(F_0) \cup \left( \bigcup_{C \in N} t_C(F_C) \right)) (\bar{A}\bar{A})$
- $(\forall x \in V_T) (\forall y \in V_T) (x\Gamma^7 y)$ , soit les "transitions du type 10" :
- $(\forall A \in T) (\forall B \in T) (\bar{A}\bar{B})$ .

1.5)  $K^8 = t^8(L^8) = \# \left[ \left( \bigcup_{A \in V} \bar{K}_A A \right)^* \bar{X} \# \cap L^-(V_1) \cap T(V \cup \bar{V}) \right]^* \#$

On a en particulier :  $K^8 = \# \left[ T(V \cup \bar{V}) \cap \left( \bigcup_{A \in V} \bar{K}_A A \right)^* \bar{X} \right]^* \# = K$ .

Le langage local  $L^8$  est donc le langage local,  $L_2$ , que nous recherchions, et il est donné par :  $(V^4, \{1\}, NPG1, gl^8)$ .

Nous avons pour la transcription  $t^8$  :

- $(\forall x \in V^4 - \{1\}) (t^8(x) = t^6(x))$
- $t^8(1) = 1$ .

Quant au graphe  $gl^8 = (V^4, \Gamma^8)$  :

- $(\forall x, y \neq 1) (x\Gamma^8 y \iff x\Gamma^7 y)$
- $(\forall x \in V_T) (1\Gamma^8 x)$ , soit "les transitions du type 11" :

$(\forall A \in T) (\bar{\#}A)$ .

## 2. Programmation de la génération de $K$

Il s'agit de construire la liste des familles des points du graphe des transitions du langage local  $L^8$ . Nous procéderons de la même façon qu'au paragraphe 1.2, et nous créerons une liste, LIS, qui sera celle des familles de  $gl^8$ , dans laquelle nous rangerons successivement les transitions de  $L^1, L^5, L^6, L^7$  et  $L^8$ . Nous allons définir cinq modules, que nous exécuterons successivement, et qui engendreront ainsi  $L^8$  et  $t^8$  :

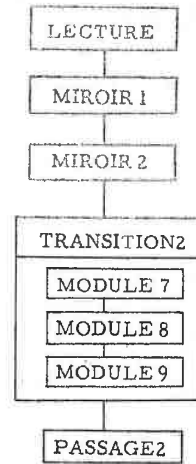
LECTURE, MIROIR1, MIROIR2, TRANSITION2, et PASSAGE2.

- Les modules LECTURE et MIROIR1, ont déjà été étudiés.
- Module MIROIR2 : Il crée le langage  $L^5$  ; mais en fait il se résumera à une instruction définissant,  $t^5$ .
- Module TRANSITION2 : Ce module crée les transitions des types 7, 8, 9 ; un sous-module est associé à chacune d'elles, soit respectivement : MODULE7, MODULE8, MODULE9.
- Module PASSAGE2 : Il nous faut dans ce module définir le tableau des familles, TS à partir de la liste LIS.

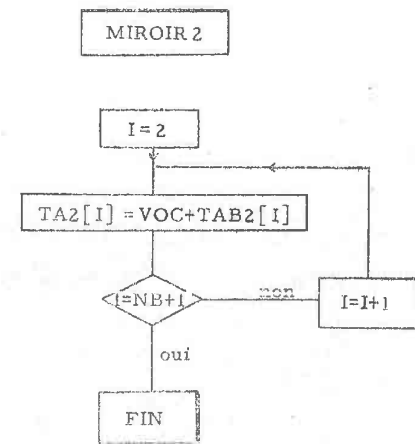
Les seuls successeurs des points de  $gl^8$  que nous n'avons pas rangés dans LIS, sont ceux de  $V_T \cup \{1\}$  qui répondent aux transitions des types 10 et 11 ; alors que précédemment l'ensemble des successeurs des éléments de  $V_T$  était précisément  $V_T$ , il n'en constitue plus maintenant, qu'une sous-famille commune. Après avoir rangé séquentiellement dans TS, les familles de LIS, nous devons non seulement ranger à la fin de ce dernier, la famille  $V_T$ , mais placer pour chacun des points de  $V_T$  qui possède une sous-famille de successeurs, I, différente de  $V_T$ , le marqueur zéro à la suite de I, comme nous l'avons convenu en 3.1.1.

## 3. Définition de l'homomorphisme $g_{L^8}$ en mémoire

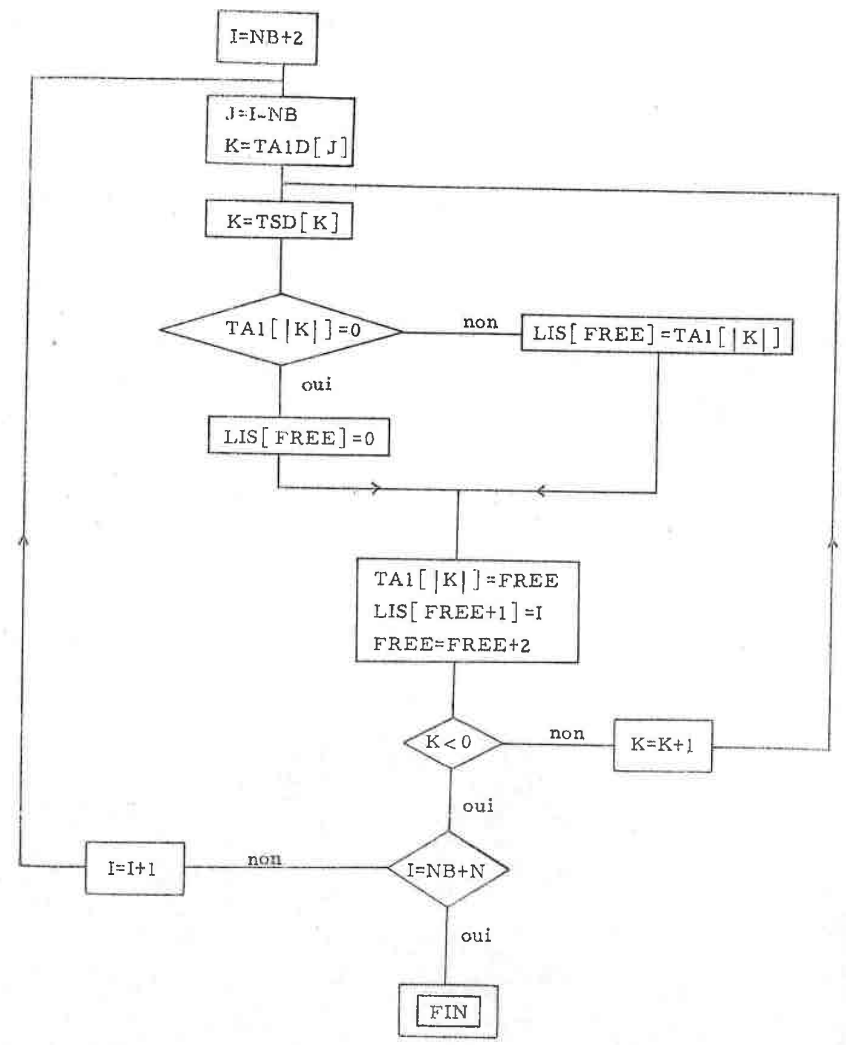
On se trouve dans le même cas que celui de la structure  $S_2$  (§ I.3).



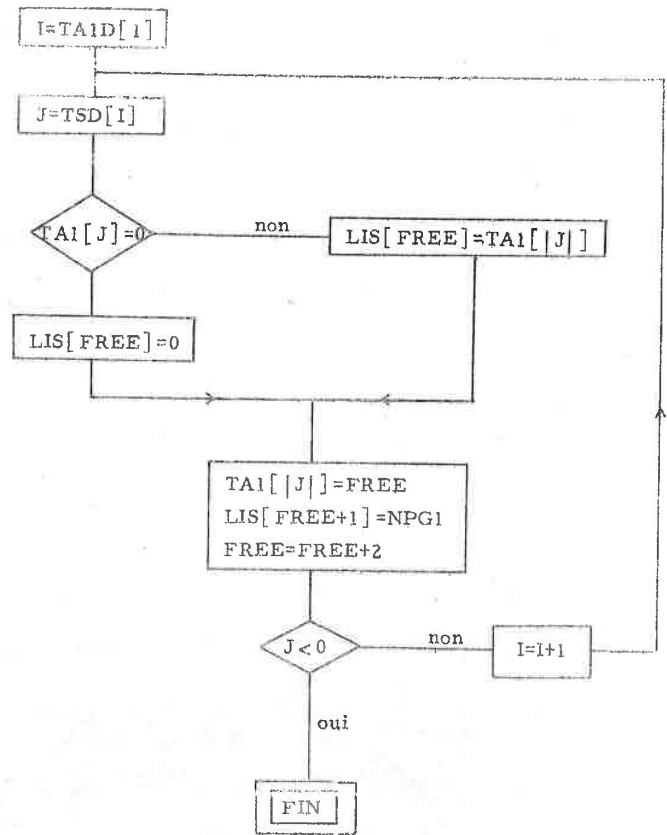
---



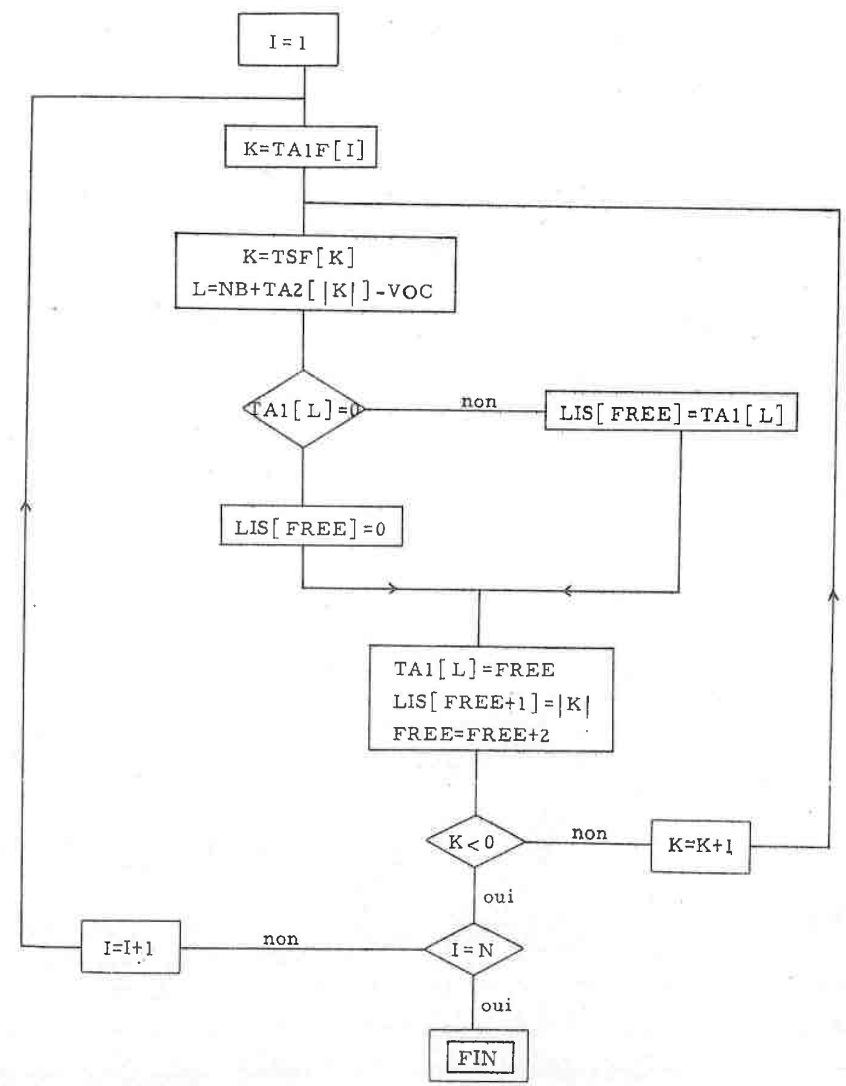
MODULE 7



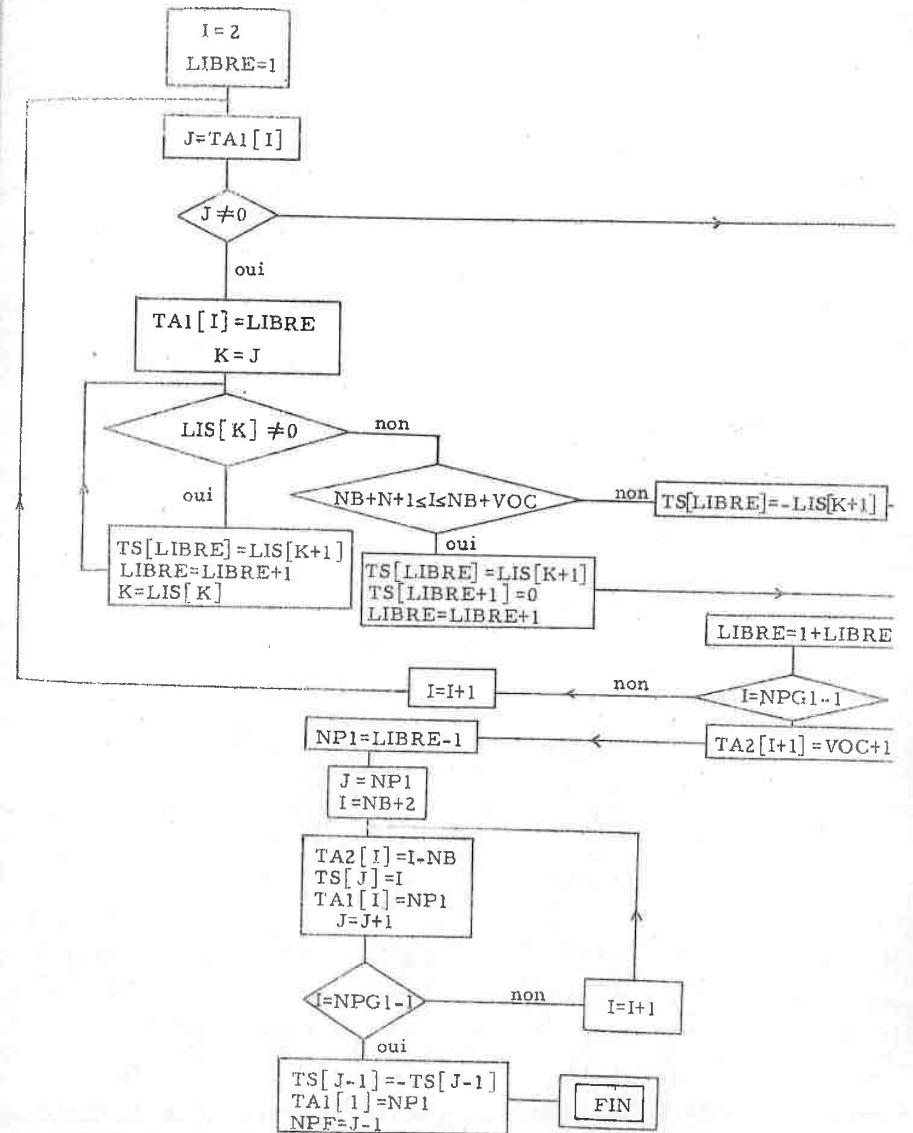
MODULE 8



MODULE 9



PASSAGE 2



### III. Structure $S_1$

#### 1. Définition du quadruplet associé à $S_1$

Le quadruplet associé que nous choisissons est  $(V'_1, g, L_1, h')$  ; ce quadruplet est celui que nous avons défini en 2.3.1, en tenant compte de l'introduction des marqueurs  $\#$  et  $\overline{\#}$  :

-  $L_1$  est le langage local,  $(V'_1 \cup \overline{V}'_1, \mathcal{E}, \mathcal{E}', g\ell_1)$ , avec  $V'_1 = V'_1 \cup \mathcal{E}$  et  $\overline{V}'_1 = \overline{V}'_1 \cup \mathcal{E}'$  ;  $g\ell_1 = (V'_1 \cup \overline{V}'_1, \Gamma_1)$  est le graphe des transitions  $\Gamma_1$  (2.3.1), compte tenu des transitions supplémentaires :

$$\forall x \in \overline{F}_0 \quad x \Gamma_1 \mathcal{E}'$$

$$\forall x \in D_0 \quad \mathcal{E} \Gamma_1 x$$

-  $g$  est une application de  $V'_1$  dans  $V$  pour laquelle :

$$g(\mathcal{E}) = g(\#) = \wedge \quad \text{et} \quad g(\mathcal{E}') = g(\overline{\#}) = \wedge$$

En effet, d'après la définition de  $\mathcal{E}$  et  $\mathcal{E}'$  (paragraphe 3.1.3), et puisque  $L_1$  est un langage local, on a les identités :  $\mathcal{E} \equiv \#$  et  $\mathcal{E}' \equiv \overline{\#}$

-  $h'$  est l'homomorphisme alphabétique de  $V^*$  dans  $T^*$  défini en 2.3.3.3.

Nous avons convenu en 3.1.4 de représenter, dans la mémoire de l'ordinateur, la grammaire  $G$  sur un alphabet  $V$ , sous la forme d'une grammaire locale  $G'$  d'alphabet  $V'_1$ , telle que :  $S[G] = \hat{g}(S[G'])$  ; mais  $g$  et  $V'$  sont précisément les éléments qui apparaissent dans le quadruplet :  $(V'_1, g, L_1, h')$ , avec  $V' = V'_1 - \{\mathcal{E}\}$ .  $G$  étant ainsi identifié en mémoire au langage régulier  $K^0 = t^0(L^0)$ , avec pour  $L^0$  le langage local,  $(V', D, F, g\ell^0)$ , le graphe  $g\ell_1$  peut être aisément défini à partir des graphes :  $(N, D)$ ,  $(N, F)$  et  $g\ell^0$ .

#### 2. Définition en mémoire de $g^*$

Le tableau TA2, qui apparaît dans les résultats des programmes de passage nous permettra d'associer à tout élément  $x$  de  $V'_1 \cup \overline{V}'_1$ , son transformé par  $g^*$ .

#### 3. Définition du graphe $g\ell_1$

L'ensemble  $V'_1$  étant identifié avec les entiers de 1 à  $NB+1$ , on associe à chaque  $x$  de  $V'_1$  un parenthèse fermante  $\bar{x} = x + NB + 1$ , de telle sorte que,  $g(\bar{x}) = t^0(x) + \text{VOC}$  puisque  $g(x) = t^0(x)$  (on rappelle que,  $t^0$ , est définie par le tableau TAB2).

Le graphe  $g\ell_1$  possède  $2xNB+2$  éléments, et on a :

$$1) (\forall x = 1, 2, \dots, NB+1) (1 \leq g(x) \leq N) (\forall y \in D[g(x)])(x \Gamma_1 y), \text{ ou ce qui est}$$

équivalent :

$$(\forall a \in g^{-1}(N)) (\forall b \in D_{g(a)})(a \Gamma b)$$

$$(\forall b \in \overline{D}_0) (\overline{\#} \Gamma b)$$

2)  $(\forall x=1, 2, \dots, NB+1)(N+1 \leq g(x) \leq \text{VOC})(z=x+NB+1, x\Gamma_1 z)$ , ou ce qui est équivalent :  $(\forall a \in g^{-1}(T)) (a\bar{a})$

3)  $(\forall x=1, 2, \dots, NB+1)(1 \leq g(x) \leq N)(\forall y \geq NB+2)((y-NB-1) \in F[g(x)])(z=x+NB+1; y\Gamma_1 z)$

Soit encore :  $(\forall a \in g^{-1}(N)) (\forall \bar{b} \in \bar{F}_g(a)) (\bar{b}\bar{a})$   
 $(\forall b \in \bar{F}_0) (b\bar{b})$

4)  $(\forall x, z=1, 2, \dots, NB+1)(x\Gamma^0 z)(y=x+NB+1; y\Gamma_1 z)$

Soit :  $(\forall a \in V') (\forall b; a \in I) (\bar{a}b)$

Nous avons ainsi quatre types de successeurs.

4. Programmation

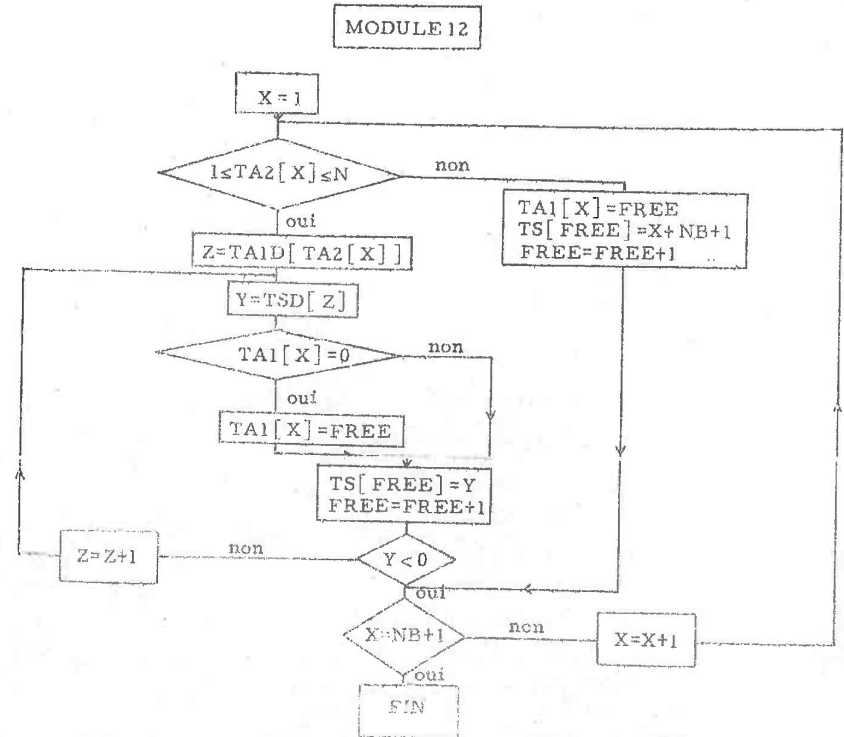
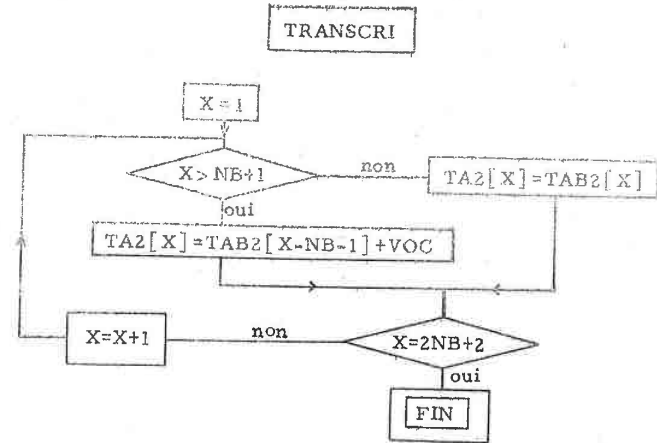
Il n'est plus nécessaire, comme dans le cas des structures  $S_2$  et  $S_3$ , de construire des langages intermédiaires pour définir  $L_1$ ; et de ce fait non plus de créer une liste auxiliaire des familles.

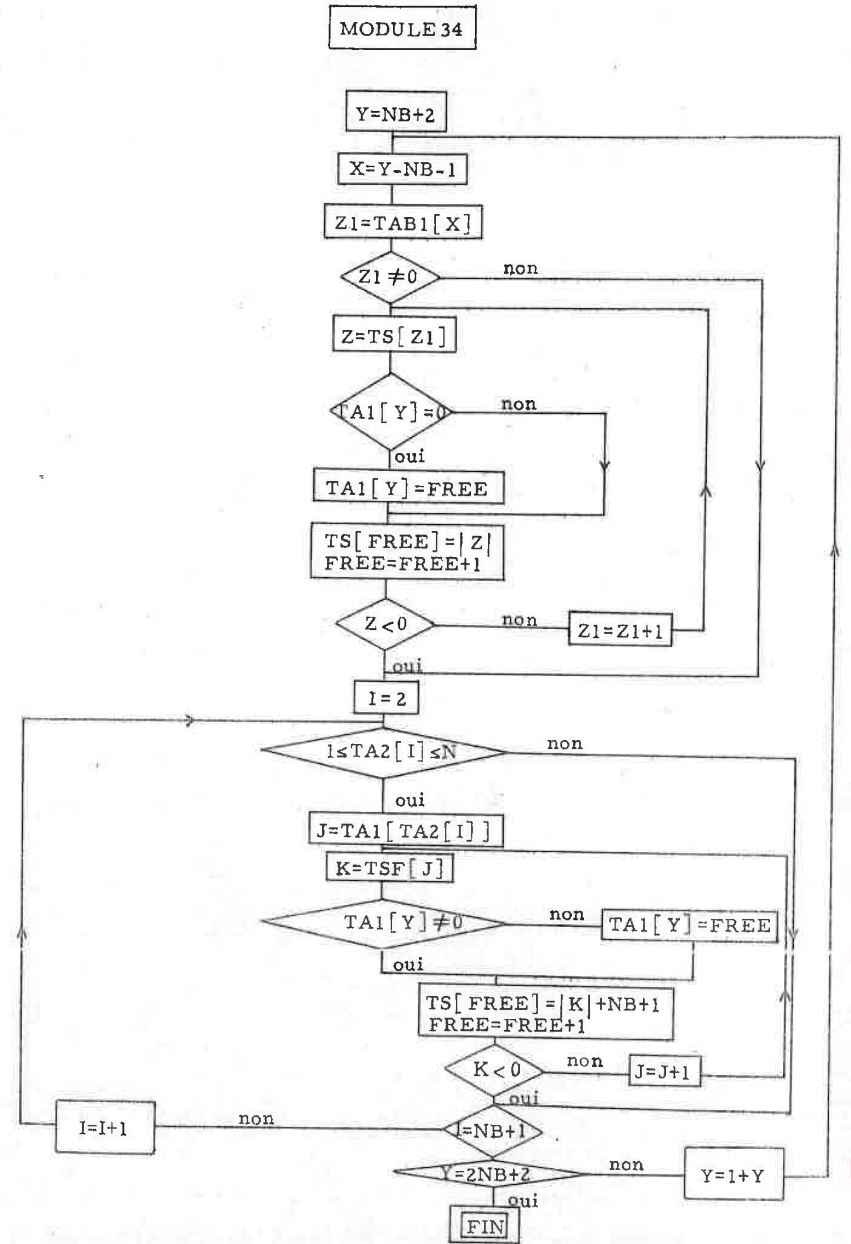
Nous définirons directement le tableau, TS, des familles de successeurs, en créant successivement les successeurs des types 1, 2, puis 3 et 4; ceci est rendu possible par le fait qu'un point ne peut avoir plus de deux types de successeurs :

- soit du type 1
- soit du type 2
- soit des types 3 et 4.

Le programme qui définira  $L_1$  s'articule en trois modules : LECTURE, TRANSITION3.

Le module TRANSITION3 possède deux sous-modules MOD12 et MOD34, le premier définissant les successeurs des types 1 et 2 et le second ceux des types 3 et 4. Le module TRANSCRI définit l'homomorphisme  $g^*$ .





4 - ETUDE DES CIRCUITS DES GRAPHES DES TRANSITIONS DES LANGAGES LOCAU

$L_1, L_2, L_3$

Nous ne nous intéresserons qu'aux circuits élémentaires,  $c$ , pour lesquels on a :

- (I) , dans le cas de  $L_1 : h'0g^*(c) = \Lambda$
- (II) , dans le cas de  $L_2 : h'0g^*0t_2(c) = \Lambda$
- (III) , dans le cas de  $L_3 : h'0g^*0t_3(c) = \Lambda$

Les transcriptions  $t_2$  et  $t_3$  sont celles qui vérifient :

$$K_2 = t_2(L_2) \quad \text{et} \quad K_3 = t_3(L_3).$$

3.4.1 - Circuits du graphe des transitions de  $L_1$

1) Etude des circuits sur  $x$ , appartenant à  $V_1' (x \leq NB+1 \text{ et } 1 \leq g(x) \leq N)$  :

Les seuls circuits sur  $x$ ,  $c = x_1 x_2 \dots x_n$ , ( $x_1 = x_n = x$ ) pour lesquels  $h'0g^*(c) = \Lambda$  sont ceux dans lesquels chacun des points,  $x_i$ , ne possède comme successeurs, que ceux du type 1 :

$$\forall i=1, 2, \dots, n-1 \quad x_{i+1} \in D[g(x_i)] \quad (g(x_i) \in N)$$

Nous les appellerons, circuits de forme 1.

Mais on a l'équivalence :

$$x_{i+1} \in D[g(x_i)] \iff g(x_{i+1}) \in g(x_i)$$

Une condition nécessaire et suffisante pour qu'il n'y ait pas de circuit de ce type est la condition C1 :

«Le graphe des initiales des règles de la grammaire  $G$  ne possède pas de circuit»

2) Etude des circuits sur  $x$ , appartenant à  $\bar{V}_1' (x \geq NB+2)$  :

Les seuls circuits sur  $x$ ,  $c$ , pour lesquels  $h'0g^*(c) = \Lambda$  doivent vérifier :  $g^*(c) \in \bar{N}^*$  ; chacun des points de ce circuit ne possédant que des successeurs du type 3.

Ce sont les circuits de forme 2.

3.4.2 - Circuits élémentaires du graphe des transitions de  $L_2$ , vérifiant (II)

Soit  $c_0$ , un circuit élémentaire sur  $x$  :

$$c_0 = x_1 x_2 \dots x_p, \quad x = x_1 = x_p.$$

3.4.2.1 - Supposons que pour tout entier  $i$ , inférieur ou égal à  $p$ ,  $x_i$  appartienne à  $V'$

Il est aisé de voir que  $x_p x_{p-1} \dots x_2 x_1$  est un circuit sur le point  $x$  de  $gt^0$  (transitions du type 1, au paragraphe I, 1.1), et que l'on a :  $t_2(x_i) \in \bar{V}$ , puisque  $x_i$  appartient à  $V'$ .

3.4.2.2 - Il existe un entier,  $i$  :  $i \leq p$  et  $x_i \notin V'$

Soit  $i(0)$ , le plus petit de ces entiers,  $i$ , supérieur à un. Cet entier existe, puisque si  $x_1$  n'appartient pas à  $V'$ , il en est de même pour  $x_p$ .

Deux cas se présentent :

- ou  $c_0 = x_1 m_{i(0)} x_{i(0)} = x_1 m_{i(0)} x_p$

- ou  $c_0 = x_1 m_{i(0)} x_{i(0)} c_1$ , avec  $c_1$ , un chemin de longueur supérieure ou égale à un.

Dans les deux cas, nous pouvons mettre en évidence un certain nombre de propriétés :

-  $m_{i(0)} = x_2 x_3 \dots x_{i(0)-1}$  et  $x_k$ , appartient à  $V'$  pour tout entier  $k$  :  $2 \leq k \leq i(0)-1$ .

En outre d'après la condition (II),  $x_{i(0)}$  appartient à  $V_N$ , et de ce fait la transition

$c_2^{-2} 0 t_2(x_{i(0)-1}) c_2^{-1} 0 t_2(x_{i(0)})$  est du type 7 :  $x_{i(0)-1} \in D[x_{i(0)}-NB]$ .

On en déduit ainsi que,  $x_{i(0)-1} x_{i(0)-2} \dots x_2$ , est un chemin du graphe

$gt^0 c_2^{-1} 0 t_2(x_{i(0)})$ , avec  $t_2(x_{i(0)}) = x_{i(0)}-NB$ .

Cas 1) :  $x = x_1 = x_p = x_{i(0)}$

En particulier,  $x$  appartient à  $V_N$  et,  $c_2^{-1} 0 t_2(x_1) c_2^{-1} 0 t_2(x_2)$ , doit être une transition du type 9 :  $x_2 \in F(x_{i(0)}-NB)$  et  $t_2(x_2) = t_2(x) + VOC$ . Il en résulte que,  $x_{i(0)-1} x_{i(0)-2} \dots x_3 x_2$ , appartient à  $L c_2^{-1} 0 t_2[x_{i(0)}]$ , et ainsi on a :

$c_2^{-1} 0 t_2[x_{i(0)}]$

Rappel :  $c_2$ , est la codification entière du vocabulaire  $V$  de  $G$ .

$A := \varphi A$ , si  $\varphi = c_2^{-1} [\{t_2(x_{i(0)-1})-VOC\} \dots \{t_2(x_4)-VOC\} \{t_2(x_3)-VOC\}]$   
et  $A = c_2^{-1} 0 t_2(x)$ .

Cas 2)  $i(0) \neq p$  et  $c_0 = x_1 m_{i(0)} x_{i(0)} c_1$

On a :  $c_1 = x_{i(0)+1} \dots x_p$ .

Deux possibilités s'offrent de nouveau :

a) Pour tout entier  $k$  supérieur ou égal à  $i(0)+1$ ,  $x_k$  appartient à  $V'$

On en déduit que  $x$  appartient à  $V'$  et que  $x_p \dots x_{i(0)+1}$  est un chemin de  $gt^0$  ; mais d'après l'étude précédente  $x_{i(0)+1} x_{i(0)-2} \dots x_2 x_1$  est un chemin de  $gt^0 c_2^{-1} 0 t_2(x_{i(0)})$ ,

par conséquent  $x_p \dots x_{i(0)+1}$  appartient à l'ensemble des chemins de  $gt^0 c_2^{-1} 0 t_2[x_{i(0)}]$

les sous-graphes partiels de  $gt^0$ ,  $gt_A$  et  $gt_0$ , ayant des numérotations disjointes.

La transition,  $c_2^{-1} 0 t_2(x_{i(0)}) c_2^{-1} 0 t_2(x_{i(0)+1})$ , devant être du type 9,  $x_{i(0)+1}$

appartient à  $F(t_2[x_{i(0)}])$ , avec  $t_2[x_{i(0)}] = x_{i(0)}-NB = t_2(x_{i(0)+1})-VOC$ .

En conséquence,  $x_{i(0)-1} x_{i(0)-2} \dots x_2 x_{p-1} x_{p-2} \dots x_{i(0)+1}$ , appartient au langage

$L c_2^{-1} 0 t_2[x_{i(0)}]$  : si nous posons  $A = c_2^{-1} 0 t_2[x_{i(0)}]$  et

$\varphi = c_2^{-1} \{ [t_2(x_{i(0)-1})-VOC] [t_2(x_{i(0)-2})-VOC] \dots [t_2(x_1)-VOC] \dots [t_2(x_{i(0)+1})-VOC] \}$

on a :  $A := \varphi A$

b) Il existe un entier  $k$  tel que :  $i(0)+1 \leq k \leq p$  et  $x_k$  n'appartient pas à  $V'$

On peut ainsi définir  $i(1)$  comme étant le plus petit de ces entiers  $k$ .

Nous pouvons reprendre la discussion que nous avons entreprise en 3.4.2.2, de

telle sorte que nous définirons une suite de couples,  $(m_i(k), x_{i(k)})$ , pour

$k=0, 1, \dots, p-1$ , pour laquelle on a :

$c_0 = x_1 m_{i(0)} x_{i(0)} x_{i(0)+1} m_{i(1)} x_{i(1)} \dots x_{i(k-1)+1} m_{i(k)} x_{i(k)} \dots x_{i(p-2)+1} m_{i(p-1)} x_{i(p-1)} m_{i(p)}$

et  $x_i$  appartient à  $V'$  pour tout entier  $i$  supérieur ou égal à  $i(p-1)$

ou  $c_0 = x_1 m_{i(0)} x_{i(0)} x_{i(0)+1} m_{i(1)} x_{i(1)} \dots x_{i(k-1)+1} m_{i(k)} x_{i(k)} \dots x_{i(p-2)+1} m_{i(p-1)} x_{i(p-1)}$

et  $i(p-1) = p$ .

Pour  $k=1, 2, \dots, p-1$  :

-  $i(k)$  est le plus petit entier strictement supérieur à  $i(k-1)$ , pour lequel  $x_{i(k)}$  n'appartient pas à  $V$  et tel que  $x_i \neq x$ , pour tout entier  $i$  vérifiant :  $i=i(k-1)+1, \dots, i(k)$  (sauf éventuellement pour  $i(p-1)$ )

$m_{i(k)} = x_{i(k-1)+2} \dots x_{i(k-1)}$ , et si on pose :  $A_k = c_2^{-1} 0 t_2 [x_{i(k)}]$  et

$$\varphi_k = c_2^{-1} \{ [t_2(x_{i(k-1)})-VOC] \dots [t_2(x_{i(k-1)+2})-VOC] \} \text{ alors :}$$

$$A_k ::= \varphi_k A_{k-1}$$

- Examinons le cas  $i(p-1) = p$  :  $x$  appartient à  $V_N$ , et d'après l'étude faite en 1) nous savons que,  $x_2$  appartient à  $F(x_{i(0)}-NB)$ , avec  $t_2(x_2) = t_2(x_{i(0)}) + VOC$ ,  $x_{i(0)-1} \dots x_3 x_2$  appartient à  $L_{c_2^{-1} 0 t_2 [x_{i(0)}]}$ , donc en particulier :

en posant  $A_0 = c_2^{-1} 0 t_2 [x_{i(0)}]$ ,  $A = c_2^{-1} 0 t_2 (x)$  et,

$$\varphi = c_2^{-1} 0 \left[ \{t_2(x_{i(0)-1})-VOC\} \dots \{t_2(x_2)-VOC\} \right], \text{ on a : } A_0 ::= \varphi A.$$

Mais,  $A_{p-1} = c_2^{-1} 0 t_2(x_{i(p-1)}) = c_2^{-1} 0 t_2(x_p) = A$ , donc :  $A ::= \varphi_{p-1} A_{p-2}$

D'où les règles de grammaire :

$$A_0 ::= \varphi A ; A_1 ::= \varphi_1 A_0 ; \dots ; A_{p-2} ::= \varphi_{p-2} A_{p-3} ; A ::= \varphi_{p-1} A_{p-2}, \text{ ce qui}$$

est équivalent d'écrire :  $A f_n A_0 f_n A_1 \dots f_n A_{p-2} f_n A$ .

Le graphe des finales de la grammaire possède un circuit sur  $A$ .

- Examinons le cas :  $i(p-1) \neq p$ , et  $x_k$  appartient à  $V'$  pour tout entier  $k$  supérieur ou égal à  $i(p-1)+1$

En conséquence  $\tilde{m}_{i(p)} = x_p x_{p-1} \dots x_{i(p-1)+1}$  est un chemin de  $gl^0$  ; mais  $x_{i(0)-1} x_{i(0)-2} \dots x_{i(p-1)+1}$  est un chemin de  $gl_{c_2^{-1} 0 t_2 [x_{i(0)}]}$  ; il en est donc de

même pour  $\tilde{m}_{i(p)}$  ( $x_1 = x_p = x$  et définition de  $gl^0$ ). De plus la transition,

$$c_2^{-1} 0 t_2 [x_{i(p-1)}] c_2^{-1} 0 t_2 [x_{i(p-1)+1}], \text{ est du type 9 : } x_{i(p-1)+1} \in F(x_{i(0)}-NB) \text{ et}$$

$$t_2 [x_{i(p-1)+1}] = t_2 [x_{i(p-1)}] + VOC ; \text{ ainsi le chemin,}$$

$$x_{i(0)-1} x_{i(0)-2} \dots x_2 x_{p-1} \dots x_{i(p-1)+1}, \text{ appartient à } L_{c_2^{-1} 0 t_2 [x_{i(0)}]}.$$

$$\text{Si on pose : } \varphi = c_2^{-1} \left[ \{t_2(x_{i(0)-1})-VOC\} \dots \{t_2(x_{i(p-1)+1})-VOC\} \right],$$

$$\text{on a : } A_0 ::= \varphi A_{p-1}$$

D'où les règles de grammaire :

$$A_0 ::= \varphi A_{p-1} ; A_1 ::= \varphi_1 A_0 ; \dots ; A_{p-2} ::= \varphi_{p-2} A_{p-3} ; A_{p-1} ::= \varphi_{p-1} A_{p-2},$$

ce qui est équivalent d'écrire :  $A_{p-1} f_n A_0 f_n A_1 f_n \dots f_n A_{p-2} f_n A_{p-1}$

Le graphe des finales des règles de la grammaire  $G$  possède un circuit sur  $A_{p-1}$ .

En conclusion, le graphe des transitions de  $L_2$  ne peut posséder que deux types de circuits élémentaires vérifiant (II) :

Forme 3 - ceux dus à l'existence de circuits élémentaires de  $gl^0$ , et qui vérifient :  $t_2(c) \in \bar{V}^*$

- ceux dus à l'existence de circuits élémentaires pour le graphe des finales des règles de la grammaire  $G$ , et dont les transcrits par,  $t_2$ , se présentent sous les trois formes :

Forme 4 -  $\bar{\psi}_1 A_2 \bar{A}_2 \bar{\psi}_2 A_3 \bar{A}_3 \dots A_{p-1} \bar{A}_{p-1} \bar{\psi}_{p-1}$ , avec  $\bar{\psi}_1, \bar{\psi}_2, \dots, \bar{\psi}_{p-1}$ , appartenant à  $\bar{V}^*$  ( $\bar{\psi}_1 \neq \Lambda$ , et  $\bar{\psi}_{p-1} \neq \Lambda$ ), et  $A_2, \dots, A_{p-1}$  appartenant à  $N$ .

Forme 5 -  $\bar{A}_1 \bar{\psi}_1 A_2 \bar{A}_2 \bar{\psi}_2 \dots A_{p-1} \bar{A}_{p-1} \bar{\psi}_{p-1} \bar{A}_1$ , avec  $\bar{\psi}_i$  (respectivement  $A_i$ ) appartenant à  $\bar{V}^*$  (respectivement  $N$ ), pour  $i=1, 2, \dots, p-1$ .

Forme 6 -  $A_1 \bar{A}_1 \bar{\psi}_1 A_2 \bar{A}_2 \bar{\psi}_2 \dots A_{p-1} \bar{A}_{p-1} \bar{\psi}_{p-1} A_1$ , avec  $\bar{\psi}_i$  (respectivement  $A_i$ ) appartenant à  $\bar{V}^*$  (respectivement  $N$ ).

3.4.3 - Circuits élémentaires du graphe des transitions de  $L_3$ , vérifiant (III)

Soit,  $c_0 = x_1 x_2 \dots x_p$ , un circuit élémentaire sur  $x$  ( $x_1 = x_p = x$ ).

3.4.3.1 - Supposons que pour tout entier,  $i$ , inférieur ou égal à  $p$ ,  $x_i$  appartient à  $V'$  :

Il est aisé de démontrer que  $x_p x_{p-1} \dots x_2 x_1$  est un circuit sur  $x$  de  $gl^0$  (transitions de type 1, au paragraphe I.1.1), et que l'on a :  $t_3(x_i) \in V$  pour  $i=1, 2, \dots, p$ .

3.4.3.2 - Il existe un entier  $i: i \leq p$  et  $x_i \notin V'$

Soit  $i(0)$ , le plus petit de ces entiers,  $i$ , supérieur à un. Deux cas se présentent

- ou  $c_0 = x_1 m_{i(0)}^{x_{i(0)}} = x_1 m_{i(0)} x_p$

- ou  $c_0 = x_1 m_{i(0)}^{x_{i(0)}} c_1$ .

Dans les deux cas, nous avons :

$m_{i(0)} = x_2 x_3 \dots x_{i(0)-1}$  et  $x_k$  appartient à  $V'$  pour tout entier  $k: 2 \leq k \leq i(0)$ .

En outre d'après la condition (III),  $x_{i(0)}$  appartient à  $V_N$  et de ce fait la transition

$c_2^{-1} 0 t_3 [x_{i(0)-1}] c_2^{-1} [t_3(x_{i(0)})]$  est du type 4 : il existe un entier,  $y$ , avec

$1 \leq y \leq N$ , pour lequel,  $x_{i(0)-1}$  appartient à  $D(y)$ , et  $x_{i(0)} = NB + t_3(x_{i(0)-1})$ .

On en déduit que,  $x_{i(0)-1} \dots x_2$ , est un chemin de  $gt$   $c_2^{-1}(y)$ .

Cas 1) :  $p = i(0)$

En particulier,  $x$  appartient à  $V_N$  et,  $c_2^{-1} [t_3(x_1)] c_2^{-1} 0 t_3(x_2)$ , est une transition du type 2 :  $x_2 \in F(x-NB)$  (avec  $t_3(x) = x-NB+VOC$ ).

Il en résulte que  $y = -NB+x$  et que,  $x_{i(0)-1} x_{i(0)-2} \dots x_3 x_2$ , appartient à  $L$  et de plus,  $t_3(x_{i(0)-1}) = t_3(x) - VOC$ .

Si on pose,  $A = c_2^{-1} 0 t_3(x_{i(0)-1})$  et  $\varphi = c_2^{-1} 0 t_3(x_{i(0)-2} \dots x_3 x_2)$ , alors :

$A := A\varphi$

Cas 2) :  $p \neq i(0)$  et  $c_0 = x_1 m_{i(0)}^{x_{i(0)}} c_1$

On peut envisager deux possibilités :

a) Pour tout entier  $k$  supérieur ou égal à  $i(0)+1$ ,  $x_k$  appartient à  $V'$

On en déduit que  $x$  appartient à  $V'$  et que  $x_p \dots x_{i(0)+1}$  est un chemin de  $gt$   $c_2^{-1}(y)$  mais puisque  $x_{i(0)-1} \dots x_2 x_1$  est un chemin de  $gt$   $c_2^{-1}(y)$ , il en est de même pour

$x_p \dots x_{i(0)+1}$ .

La transition,  $c_2^{-1} 0 t_3 [x_{i(0)}] c_2^{-1} [t_3(x_{i(0)+1})]$ , doit être du type 2 :

$x_{i(0)+1} \in F(x_{i(0)}-NB)$  ; par conséquent  $y = x_{i(0)} - NB$  et,  $x_{i(0)-1} \dots x_2 x_1$  appartient à  $L$  et

$c_2^{-1} [t_3(x_{i(0)}) - VOC]$

si nous posons  $A = c_2^{-1} [t_3(x_{i(0)}) - VOC]$  et  $\varphi = c_2^{-1} 0 t_3 [x_{i(0)-1} \dots x_2 x_1 x_{p-1} \dots x_{i(0)}]$  alors :  $A := A\varphi$ .

b) Il existe un entier  $k$ , tel que :  $i(0)+1 \leq k \leq p$ , et  $x_k$  n'appartient pas à  $V'$

on définit,  $i(1)$ , comme étant le plus petit de ces entiers  $k$ . Nous pouvons alors reprendre la même discussion qu'en 3.4.3.2, de telle sorte que nous définirons une suite de couples,  $(m_{i(k)}, x_{i(k)})$ , pour  $k=0, 1, \dots, p-1$ , pour laquelle on a :

- ou,  $c_0 = x_1 m_{i(0)}^{x_{i(0)}} m_{i(1)}^{x_{i(1)}} \dots m_{i(k-1)}^{x_{i(k-1)}} m_{i(k)}^{x_{i(k)}} x_{i(k)-1} x_{i(k)}$

$\dots x_{i(p-2)} m_{i(p-1)}^{x_{i(p-1)}} x_{i(p-1)-1} x_{i(p-1)}$

et  $i(p-1) = p$ .

- ou,  $c_0 = x_1 m_{i(0)}^{x_{i(0)}} m_{i(1)}^{x_{i(1)-1}} \dots m_{i(k-1)}^{x_{i(k)-1}} m_{i(k)}^{x_{i(k)-1}} x_{i(k)}$

$\dots x_{i(p-2)} m_{i(p-1)}^{x_{i(p-1)-1}} x_{i(p-1)-1} m_{i(p)}^{x_{i(p)}}$

et  $x_i$  appartient à  $V'$  pour tout entier,  $i$ , supérieur ou égal à  $i(p-1)+1$ .

Pour  $k=1, 2, \dots, p-1$  :

$i(k)$  est le plus petit entier strictement supérieur à  $i(k-1)$  pour lequel  $x_{i(k)}$  n'appartient pas à  $V'$ , et tel que  $x_i$  est différent de  $x$  pour  $i=i(k-1)+1, \dots, i(k)$  (soit éventuellement pour  $i(p-1)$ ).

$m_{i(k)} = x_{i(k-1)+1} \dots x_{i(k)-2}$ , et si on pose :  $A_k = c_2^{-1} 0 t_3 [x_{i(k)-1}]$  (Rappelons que  $t_3 [x_{i(k)-1}] = t_3 [x_{i(k)}] - VOC$ ) et  $\varphi_k = c_2^{-1} 0 t_3 [m_{i(k)}]$ , alors :  $A_{k-1} := A_k \varphi_k$ .

Examinons le cas,  $i(p-1) = p$  :  $x$  appartient à  $V_N$  et d'après l'étude faite en 1) nous savons que  $x_2$  appartient à  $F(x-NB)$  (avec  $y = x-NB$ ) ;  $x_{i(0)-1} \dots x_3 x_2$  appartient à  $L$  et si nous posons,  $A = c_2^{-1}(y)$ ,  $A_0 = c_2^{-1} 0 t_3(x_{i(0)-1})$  et

$\varphi = c_2^{-1} 0 t_3 [x_{i(p-1)-1}]$ , alors :  $A := A_0 \varphi$ .

Mais  $A_{p-1} = c_2^{-1} 0 t_3 [x_{i(p-1)-1}] = c_2^{-1} [t_3 [x_{i(p-1)}] - VOC] = c_2^{-1} [t_3(x) - VOC] = c_2^{-1}(x-NB) = A$ .

D'où les règles de grammaire :

$A := A_0 \varphi ; A_0 := A_1 \varphi_1 ; \dots ; A_{p-3} := A_{p-2} \varphi_{p-2} ; A_{p-2} := A_{p-1} \varphi_{p-1}$

ce qui est équivalent à écrire :  $A \in A_{p-2} \in A_{p-3} \in \dots \in A_1 \in A_0 \in A$ .

Le graphe des initiales de la grammaire possède un circuit sur  $A$ .

Examinons le cas :  $i(p-1) \neq p$  et  $x_k$  appartient à  $V'$  pour tout entier  $k$  supérieur ou égal à  $i(p-1)+1$

En conséquence,  $\tilde{m}_{i(p)}$  est un chemin de  $gl^0$ ; mais  $x_{i(0)-1} \dots x_2 x_1$ , étant un chemin de  $gl^{-1}(v)$ , il en est de même pour  $\tilde{m}_{i(p)}$ . La transition,

$c_2^{-1} \circ t_3(x_{i(p-1)}) \circ c_2^{-1} \circ t_3(x_{i(p-1)+1})$ , est du type  $z$  :  $x_{i(p-1)+1} \in F(x_{i(p-1)} - NB)$ ;  $y$  est donc égal à  $[x_{i(p-1)} - NB]$  et  $x_{i(0)-1} \dots x_2 x_{p-1} \dots x_{i(p-1)+1}$ , appartient à

$L_{c_2^{-1} [t_3(x_{i(p-1)}) - VOC]}$  : en posant  $A_0 = c_2^{-1} [t_3(x_{i(p-1)}) - VOC]$  et

$\varphi = c_2^{-1} \circ t_3(x_{i(0)-1} \dots x_2 x_{p-1} \dots x_{i(p-1)+1})$  on a :  $A_{p-1} ::= A_0 \varphi$ .

D'où les règles de grammaire :

$$A_{p-1} ::= A_0 \varphi ; A_{p-2} ::= A_{p-1} \varphi_{p-1} ; \dots ; A_1 ::= A_2 \varphi_2 ; A_0 ::= A_1 \varphi_1 .$$

Le graphe des initiales des règles de la grammaire  $G$  possède un circuit sur  $A_0$   $A_0$  in  $A_{p-1}$  in  $A_{p-2}$  in  $\dots$   $A_2$  in  $A_1$  in  $A_0$ .

En conclusion, le graphe des transitions de  $L_3$  ne peut posséder que deux types de circuits élémentaires vérifiant (III) :

- ceux dus à l'existence de circuits élémentaires de  $gl^0$ , et qui vérifient  $t_3(c) \in V^*$  (Forme 7).

- ceux dus à l'existence de circuits élémentaires pour le graphe des initiales des règles de  $G$  et dont les transcrits par,  $t_3$ , se présentent sous les trois formes :  $A_i \in N$  et  $\psi_i \in V^*$ , pour  $i=1, \dots, p-1$ .

- Forme 8 -  $\psi_1 A_2 \bar{A}_2 \psi_2 A_3 \bar{A}_3 \dots A_{p-1} \bar{A}_{p-1} \psi_{p-1}$  ( $\psi_1$  et  $\psi_{p-1} \neq$

- Forme 9 -  $\bar{A}_1 \psi_1 A_2 \bar{A}_2 \psi_2 \dots A_{p-1} \bar{A}_{p-1} \psi_{p-1} \bar{A}_1$

- Forme 10 -  $A_1 \bar{A}_1 \psi_1 A_2 \bar{A}_2 \psi_2 \dots A_{p-1} \bar{A}_{p-1} \psi_{p-1} A_1$ .

CHAPITRE IV  
-----  
Programmes d'Analyse

### INTRODUCTION

Les programmes d'analyse construisent les ensembles,  $\mathcal{A}(\alpha)$ , (chapitre 2), associé à tout mot,  $\alpha$ , de  $T^*$  que l'on désire analyser suivant la grammaire  $G = (T \cup N, \rightarrow, \lambda)$ . Ils admettent pour données, d'une part un quadruplet,  $(V_1, g, K_1, h)$ , déterminé préalablement par les programmes du chapitre 3, à partir de  $G$  et de la structure compatible choisie  $S$ , et d'autre part un mot  $\alpha$  de  $T^*$ .

Rappelons que :

- $K_1$ , est un langage régulier sur  $V_1 \cup \bar{V}_1$ , et que tous les mots de  $K_1$  commencent par la lettre  $\#$ , n'appartenant pas à  $V$  ( $V_1 = V \cup \#$ ).
- $W = T \cup N$  étant l'alphabet de  $G$ ;  $g$  est une application de  $V_1$  dans  $W$ .
- $h$  est un homomorphisme alphabétique de  $W^*$  dans  $T^*$ .

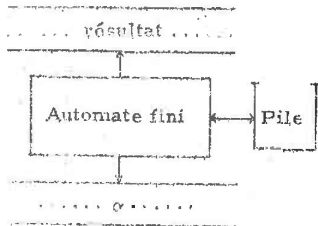
Les résultats de ces programmes sont les mots,  $m$ , transformés des analyses de  $c$  (c'est à dire des ramifications engendrées par  $G$ , et admettant  $\alpha$  comme mot des feuilles), par l'isomorphisme de binômes universels,  $p$ , de  $\bar{W}$  dans le binôme universel défini par la structure compatible  $S$ .

Si  $K_1 = t(L_1)$  et  $L_1 = (\mathcal{U}_1, \{\mathcal{E}\}, \{\mathcal{E}'\}, g\mathcal{L}_1)$  avec  $g\mathcal{L}_1 = (\mathcal{U}'_1, \Gamma_1)$ , la recherche d'un ensemble,  $\mathcal{A}(\alpha) = h^{-1}(\alpha) \cap g^*(K_1 \cap P(V_1))$ , équivaut à celle des chemins,  $c$ , du graphe  $g\mathcal{L}_1$ , d'origine  $\mathcal{E}$ , et d'extrémité  $\mathcal{E}'$ , qui vérifient :

$$\lambda \circ t(c) = \alpha \quad \text{et} \quad h \circ g^* \circ t(c) = \alpha.$$

Les mots de  $K_1$  sont engendrés par un automate fini représenté par le graphe,  $g\mathcal{L}_1$ , et la transcription  $t$  : cet automate doit vérifier qu'ils appartiennent à  $P(V_1)$  et pour cela il entretient une pile de reconnaissance de  $P(V_1)$  ; mais il est également pourvu d'une donnée, le mot  $\alpha$  ; au fur et à mesure qu'apparaissent les lettres d'un mot engendré, l'automate doit vérifier que leurs images par l'homomorphisme alphabétique,  $h \circ g^*$ , sont : soit le mot vide, soit les lettres successives de  $\alpha$ . (on doit lire à chaque étape, une ou zéro lettre de  $\alpha$ ).

La machine ainsi obtenue comme modèle d'un algorithme d'analyse syntaxique est un transducteur à pile.



Les états de l'automate seront les différentes étapes de l'analyse ; nous les nommerons, «états analytiques» ; ils précisent à chaque fois :

- l'état de la pile de reconnaissance
- le facteur droit de  $\alpha$ , non lu par l'automate
- le point du graphe  $gt_1$ , choisi par l'automate

L'automate ainsi construit est non déterministe ; on pourra le programmer de deux façons :

- Une première méthode consiste à élaborer séquentiellement les différentes analyses, possibles, de  $\alpha$ . Nous obtenons un premier type de programme : le programme de traitement par empilement et retour-arrière (Procédure TRAVPA).
- La deuxième méthode consiste à mener simultanément les différentes analyses. Cette dernière est utilisée dans le programme de traitement en parallèle (Procédure TRAVPA).

#### 4.2 - ETUDE DU FONCTIONNEMENT DE L'AUTOMATE

L'automate doit engendrer les mots de  $A(\alpha)$ , ou «analyses» :

$$\gamma \in A(\alpha) \iff (\exists \gamma' \in L_1) (z_0 t(\gamma') = \Lambda \text{ et } h_0 g^* t(\gamma') = \alpha \text{ et } \gamma = g^* t(\gamma'))$$

Si on appelle, «parcours», les mots de l'ensemble  $A'(\alpha)$  défini par :

$$A'(\alpha) = \{\gamma' \in L_1 \mid z_0 t(\gamma') = \Lambda, h_0 g^* t(\gamma') = \alpha\}, \text{ on a, } A(\alpha) = g^* t[A'(\alpha)].$$

Définition 1 :

Un mot,  $\gamma' = x_1 x_2 \dots x_n$ , de  $V_1^*$  est un parcours si et seulement si :

- $x_1 = \epsilon$ ,  $x_n = \epsilon'$
- $x_i \Gamma_1 x_{i+1}$ ,  $\forall i=1, 2, \dots, n-1$
- $z_0 t(\gamma') = \Lambda$ ,  $h_0 g^* t(\gamma') = \alpha$

Pour élaborer des analyses de  $\alpha$ , l'automate devra rechercher les parcours et pour ce faire il effectuera deux types de calculs :

- calcul de  $z_0 t(\gamma')$ , avec  $\gamma'$  appartenant à  $V_1^{*x}$
- calcul de  $h_0 g^* t(\gamma')$ , avec  $\gamma'$  appartenant à  $V_1^{*x}$ .

#### 4.2.1 - Calcul de $z_0 t(\gamma')$

Soit,  $x = x_1 x_2 \dots x_i$ , un mot de  $V_1^*$ , posons :

$$u_i = z [t(x_1 \dots x_i)] \text{ et } u_0 = \Lambda.$$

On rappelle que  $V_1 = VU \#$  est l'alphabet du langage régulier  $K_1$ .

Soit un parcours  $\gamma' = x_1 x_2 \dots x_n$ , alors les mots de  $V_1^*$ ,  $u_0, u_1, \dots, u_n$ , sont les états d'une pile sur  $V_1$ , que nous désignerons par  $U = (u_0, u_1, \dots, u_n)$  (Voir remarque de la définition [1] du paragraphe 1.5 au chapitre 1).

Soit  $f$  l'application qui à l'entier  $i$  de  $[0, p]$  ( $i$ ) associe l'élément de  $V_1$  dont  $i$  est l'occurrence dans le mot d'entrée de  $U = (u_0, u_1, \dots, u_n)$  ; celle-ci définit une transcription  $f^{**}$  qui transforme une pile simple sur les entiers de 0 à  $P$ ,  $P = (P_0, P_1, \dots, P_n)$  en la pile  $U$  ;  $p$  étant l'entier tel que  $n+1 = 2p$  (PAIR [1]).

Définition 2 :

Si  $U$  est une pile définie par un parcours, et  $P(U) = (P_0, P_1, \dots, P_n)$ , la pile simple dont la transcription par  $f^{**}$  est  $U$ , nous appellerons  $e(i)$  l'entrée du sommet de l'état  $P_i$  de  $P$ .

Théorème 1 :  $e(i) = \text{Max}\{j \leq i \mid u_j = u_i \text{ et } t(x_j) \in V_1 = VU \#\}$

Démonstration :

1) Supposons que  $t(x_i)$  appartienne à  $V_1$  ; il est évident que  $e(i) = i = \text{Max}\{j \leq i \mid u_j = u_i \text{ et } t(x_j) \in V_1\}$ .

2) Supposons que  $i$  soit une sortie de la pile  $U$  ; en particulier  $i$  est une sortie de la pile  $P(U)$ .

Posons  $E(i) = \{j \leq i \mid u_j = u_i \text{ et } t(x_j) \in V_1\}$ .

Par définition de  $e(i)$ , on a :

$$u_i = f^{**}(P_i) = f^{**}[P_{e(i)}] = u_{e(i)}, \text{ par conséquent } e(i)$$

Noté  $D$  l'ensemble des entiers de  $a$  à  $b$ .

Soit  $j_0$  la sortie du sommet de  $P_{e(i)}$  ;  $j_0$  est le plus petit indice supérieur à  $e(i)$  tel que :  $|P_{j_0}| < |P_{e(i)}|$  (1.6, théorème 1 ; PAIR [1]). De plus, on a :  $e(i) \leq j_0$  et pour tout entier  $k$ , tel que :  $e(i) \leq k < j_0$ ,  $P_{e(i)}$  est facteur gauche de  $P_k$ . On a en particulier :

( $\forall k$ ) ( $e(i) \leq k < j_0$ ) ( $P_k = P_{e(i)} \alpha$ , avec  $\alpha$  appartenant à l'itéré de  $[1, p]$ , soit  $[1, p]^{(k)}$ )

a) si  $k=i$ ,  $k \in E(i)$  ; en effet  $t(x_k) \in V_1$

b) Supposons,  $e(i) < k < i$  :

- si  $\alpha \neq \wedge$ , alors  $k \in E(i)$

- si  $\alpha = \wedge$ , alors ou  $P_k = P_{e(i)} = P_{k-1} \wedge$ , ou  $P_{k-1} = P_k \wedge = P_{e(i)}$

le premier cas est incompatible avec le fait que  $k$  est strictement inférieur à  $j_0$  car  $|P_{k-1}| < |P_k| = |P_{e(i)}|$  et  $k-1 \geq e(i)$  ; il reste le second cas pour lequel  $k$  n'appartient pas à  $E(i)$  ;  $k$  étant une sortie de la pile  $P$ ,  $t(x_k)$  n'appartient pas à  $V_1$ .

Il n'existe pas d'entier  $k$  appartenant à  $E(i)$  et qui soit strictement supérieur à  $e(i)$ .

**Théorème 2 :** Soit  $i$  une sortie de la pile  $P(U)$ , alors :  $e(i) = e(e(i-1)-1)$

**Démonstration :**  $i$  est une sortie de la pile  $U$  :

$u_{i-1} = u_i t(x)$  et  $u_{i-1} = u_{e(i-1)-1} t(y)$ , par conséquent,

$t(x) = t(y)$  et  $u_i = u_{e(i-1)-1}$ .

D'autre part,  $i$  étant la sortie du sommet de  $P_{i-1}$ , on a :

$|P_{e(i)}| = |P_i| < |P_{i-1}| = |P_{e(i)}|$  ; ce qui nous donne en appliquant le

théorème 1 (1.6 ; PAIR [1]),  $e(i) < e(i-1)$ , ou encore  $e(i) \leq e(i-1)-1$ .

On en déduit :  $e(i) = \text{Max}\{j \leq e(i-1)-1 \mid u_j = u_i \text{ et } t(x_j) \in V_1\}$ , et puisque  $u_i = u_{e(i-1)-1}$

$e(i) = \text{Max}\{j \leq e(i-1)-1 \mid u_j = u_{e(i-1)-1} \text{ et } t(x_j) \in V_1\} = e(e(i-1)-1)$

**Définition 3**

Soit  $U = (u_0, u_1, \dots, u_n)$  la pile associée à un parcours. On appelle **couplé** de  $i$ , pour tout entier  $i$  de  $[1, n]$  et on le notera  $c(i)$ , l'entier qui vaut  $e(i-1)$  si  $i$  est une entrée et  $e(i)$  dans le cas contraire.

$c(i) = \text{SI } e(i) = i \text{ ALORS } e(i-1) \text{ SINON } e(i)$

**Propriété 1**

L'entier  $c(i)$  couplé de  $i$  est déterminé par les couplés des entiers inférieurs à  $i$  ; et  $c(i)$  est l'un des entiers,  $i-1$ ,  $e(i)$  ou  $e(i-1)$ .

**Démonstration :**

i)  $t(x_i) \in V_1$  :  $c(i) = e(i-1)$  ; si  $(i-1)$  est une entrée  $e(i-1) = i-1$ , sinon  $e(i-1) = c(i-1)$

ii)  $t(x_i) \notin V_1$  :  $c(i) = e(i) = e(e(i-1)-1) = c(e(i-1))$

Si  $(i-1)$  est une entrée  $c(i) = c(i-1)$ , sinon  $c(i) = c[c(i-1)]$ .

On a ainsi :

-  $i$  et  $(i-1)$  sont des entrées :  $c(i) = i-1$

-  $i$  est une entrée,  $(i-1)$  est une entrée :  $c(i) = c(i-1)$

-  $i$  est une sortie, et  $(i-1)$  est une entrée :  $c(i) = c(i-1)$

-  $i$  et  $(i-1)$  sont des sorties :  $c(i) = c(c(i-1))$ .

**Théorème 3 :**

Soit  $\gamma' = x_1 \dots x_n$ , un mot de  $L_1$  et  $U$  la suite admettant comme éléments :  $u_i = \tau[t(x_1 x_2 \dots x_i)]$ , pour  $i=1, 2, \dots, n$ , alors avec  $u_0 = \wedge$  :

$U = (u_0, u_1, \dots, u_n)$  est une pile  $\iff c(n-1) = 1$

**Démonstration**

1) Soit  $\gamma'$  appartenant à  $L_1$  et  $u_n = \wedge$ , autrement dit

$U$  est une pile sur  $V_1$  :  $u_n = \tau[u_{n-1} \#] = \wedge$ , donc  $u_{n-1} = \#$ , mais la seule entrée possible de  $\#$  est un, puisque  $\Gamma_1^{-1}(\#) = \emptyset$ , d'où  $c(n-1) = e(n-1) = 1$  ;  $(n-1)$  est obligatoirement une sortie, car  $\#$  n'appartient pas à  $\Gamma_1(\#)$  et par conséquent  $(n-1)$  ne peut être égal à  $u_n$ , seule entrée de  $\#$  dans la pile.

2) Soit  $c(n-1) = 1$  ;  $(n-1)$  est différent de 1 puisque  $\#$  n'appartient pas à  $\Gamma_1(\#)$  ; on a ainsi,  $c(n-1) = e(n-1) = 1$ , et  $u_{e(n-1)-1} = u_1 = u_{n-1} = \#$

$u_n = \tau[u_{n-1} t(\#)] = \tau[\# \#] = \wedge$ .

La démonstration est établie compte-tenu des rappels du début de ce même paragraphe.

Le couplage nous permet de connaître chacun des états de la pile  $U(u_0, u_1, \dots, u_n)$  construite à partir d'un parcours  $\gamma' = x_1 x_2 \dots x_n$  :

En effet, supposons que nous soyons à l'état,  $p \leq n$  et que par conséquent nous connaissions les couplés,  $c(i)$ , pour les entiers,  $i=1, 2, \dots, p$ .

- Soit  $k(1)$ , le plus grand entier de  $[1, p-1]$ , tel que :  $c[k(1)] < c(p)$  ; nous pouvons ainsi construire une suite d'entiers,  $k(i)$ , pour  $i=1, 2, \dots, i_p$  qui vérifie : si  $c[k(i)]$  est différent de un, alors  $k(i+1)$  est le plus grand entier de  $[1, k(i)-1]$  pour lequel  $c[k(i+1)] < c[k(i)]$ .

Nous avons l'égalité  $c[k(i_p)] = 1$  et :

- si  $p$  est une entrée,  $u_p = t(x_c[k(i_p)] \cdots x_c[k(1)] x_c(p) x_p)$

- si  $p$  est une sortie,  $u_i = t(x_c[k(i_p)] x_c[k(i_{p-1})] \cdots x_c[k(1)] x_c(p))$

Démontrons ce résultat par récurrence sur  $p$  :

Le résultat est évident pour  $p$  égal à un. Supposons le démontré jusqu'au rang  $(p-1)$  :

.. Si  $(p-1)$  est une entrée,  $u_{p-1} = t(x_c[k(i_{p-1})] \cdots x_c[k(1)] x_c(p-1) x_{p-1})$ .

Dans le cas où  $p$  est une entrée :  $u_p = u_{p-1} t(x_p)$  et  $c(p) = p-1$  ;  $(p-1)$  est le plus grand entier  $k$  de  $[1, p-1]$ , pour lequel  $c(k) < c(p)$  ( $c(p-1) = e(p-2) \leq p-2 < p-1$ ).

Si  $p$  est une sortie, on a  $c(p) = c(p-1)$  et  $u_{p-1} = u_p \cdot y$  d'où

$u_p = t(x_c[k(i_{p-1})] \cdots x_c[k(1)] x_c(p))$  et  $k(1)$  est le plus grand entier  $k$  de

$[1, p-1]$  tel que :  $c(k) < c(p)$ .

- Envisageons maintenant le cas où  $(p-1)$  est une sortie :

$u_{p-1} = t(x_c[k(i_{p-1})] \cdots x_c[k(1)] x_c(p-1))$ .

Lorsque  $p$  est une entrée, le résultat est évident puisque  $c(p) = c(p-1)$  et

$u_p = u_{p-1} t(x_p)$ . Quant au cas où  $p$  est une sortie,

$u_p = t(x_c[k(i_{p-1})] \cdots x_c[k(2)] x_c[k(1)])$  ; mais  $c[k(1)]$  est l'entrée du sommet

de  $u_p$  :  $c(p) = e(p) = c[k(1)]$ .

Cette propriété nous permettra lors du "traitement en parallèle", de reconstruire les piles associées à chacune des rangées de la ramification des débuts de parcours en ne connaissant que les couples de chacun des points.

L'étude précédente nous fournit pour tout mot  $\gamma' = x_1 x_2 \dots x_n$  de  $L_1$  deux méthodes de calcul des mots  $z \text{ Ot}(\gamma')$  :

L'empilement, soit l'étude des variations des mots :  $u_i = z \text{ Ot}(x_1 \dots x_i)$ , pour les entiers  $i$  de  $[1, n]$  ; et l'on a l'équivalence :

$$z \text{ Ot}(\gamma') = \Lambda \iff u_n = \Lambda.$$

Le couplage, soit le calcul des couples,  $c(i)$ , de chacun des entiers  $i$  de  $[1, n]$  :

$$z \text{ Ot}(\gamma') = \Lambda \iff c(n-1) = 1.$$

#### 4.2.2 - Calcul de $h \text{ Og}^* \text{ Ot}(\gamma')$ pour tout $\gamma'$ de $L_1$

Soit  $\gamma' = x_1 x_2 \dots x_n$  de  $L_1$  ; il suffit de calculer successivement les quotients à gauche  $\beta_i$  de  $\alpha$  par  $h \text{ Og}^* \text{ Ot}(x_1 \dots x_i)$  :  $\alpha = h \text{ Og}^* \text{ Ot}(x_1 \dots x_n) \beta_i$

$$- \alpha = \beta_0$$

$$- \beta_i = h \text{ Og}^* \text{ Ot}(x_i) \beta_{i+1}$$

Si  $\gamma'$  est un parcours, on doit obtenir :  $\beta_n = \Lambda$ .

#### 4.2.3 - Etude de la ramification des débuts de parcours

Nous allons dans ce paragraphe, définir le fonctionnement de l'automate en décrivant ses changements d'état ; et nous définirons une analyse de  $\alpha$  à partir d'une suite d'états analytiques.

##### 4.2.3.1 - Introduction de la notion de ramification des débuts de parcours

###### Définition 4

Un calcul de l'automate engendrant  $\mathcal{A}(\alpha)$  est une suite de triplets, appartenant à  $\mathcal{V}_1^* \times \mathcal{V}_1^* \times \mathcal{T}^*$ ,  $(x_i, u_i, \beta_i)_{i=1}^{i=n}$ , qui vérifient :

- (I)  $u_{i+1} = z[u_i t(x_i)] \neq \emptyset$ ,  $x_{i+1} \in \Gamma_1(x_i)$ ,  $\beta_i = h \text{ Og}^* \text{ Ot}(x_i) \beta_{i+1}$
- (II)  $x_1 = \#$ ,  $u_1 = \#$ ,  $\beta_1 = \alpha$

On appellera pseudo-calcul toute suite de triplets de  $\mathcal{V}_1^* \times \mathcal{V}_1^* \times \mathcal{T}^*$ , qui vérifie la condition (I).

Les états de l'automate, que nous avons appelés les états analytiques, pourront ainsi être identifiés aux triplets  $(x_i, u_i, \beta_i)$  d'un calcul  $c = (x_i, u_i, \beta_i)_{i=1}^{i=n}$ . Le résultat d'un tel calcul,  $c$ , sera le mot de  $\mathcal{V}_1^*$  :  $\gamma' = x_1 x_2 \dots x_n$ . Les parcours sont les résultats des «calculs finaux», si on entend par ce terme les calculs dont le dernier état analytique est le triplet  $(\epsilon, \Lambda, \Lambda)$ .

En fait, les parcours seront obtenus en déterminant leurs facteurs gauches de longueur croissante ; nous appellerons «débuts de parcours», les facteurs gauches des résultats des calculs de l'automate :

Un mot  $\gamma' = x_1 \dots x_p$  de  $\mathcal{V}_1^*$  est un début de parcours si et seulement si il existe un calcul  $c = (x_i, u_i, \beta_i)_{i=1}^{i=p}$  pour lequel :  $x_i = x_i$ , pour  $i=1, 2, \dots, p$ .

Puisque tous les facteurs gauches de parcours sont des débuts de parcours (la réciproque étant fautive en général), l'automate devra construire les débuts de parcours et par conséquent il devra engendrer tous les calculs possibles, en effectuant tous les changements d'états qui lui sont permis.

Changement d'état de l'automate

Soit  $t_i = (x_i, u_i, \beta_i)$ , le dernier état analytique d'un calcul,  $c = (t_j)_{j=1}^i$ , les nouveaux états analytiques que l'automate peut prendre pour élaborer un nouveau calcul,  $c'$ , à partir de  $c$ , sont donnés par l'ensemble :

$$F[t_i] = \{t_k = (x_k, u_k, \beta_k) \in \mathcal{V}_1^* \times \mathcal{V}_1^* \times \mathcal{T}^* \mid x_k \in \Gamma_1(x_i), \beta_i = h \circ g^* \circ t(x_k) \beta_k, u_k = \varepsilon [u_i t(x_k)] \neq \emptyset\}$$

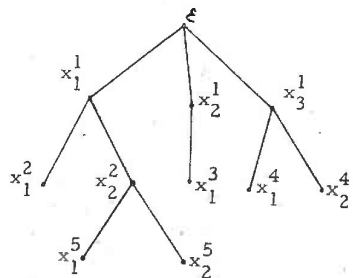
L'automate fonctionnera, en général, comme un automate indéterministe. On convient que les éléments,  $t_k$ , des ensembles  $F(t_i)$ , définis pour des états  $t_i = (x_i, u_i, \beta_i)$  sont ordonnés suivant l'ordre de rangement dans le tableau des familles de successeurs des éléments  $x_k$ .

Ramification des débuts de parcours

L'ensemble des débuts de parcours peut être représenté par une ramification  $\mathcal{R}(\omega)$

Soit  $t_0 = (\varepsilon, \#, \wedge)$  et  $t_i^j = (x_i^j, u_i^j, \beta_i^j)$

Exemple :



Chaque rangée de  $\mathcal{R}(\omega)$  est le résultat d'un calcul :

-  $F(t_0) = \{t_1^1, t_2^1, t_3^1\}$ ,  $F(t_1^1) = \{t_1^2, t_2^2\}$ ,  $F(t_2^2) = \{t_1^5, t_2^5\}$

-  $\varepsilon x_1^1 x_1^2$  est le résultat du calcul ;  $c_1 = (t_0, t_1^1, t_1^2)$

-  $\varepsilon x_1^1 x_2^2 x_1^5$  est le résultat du calcul ;  $c_2 = (t_0, t_1^1, t_2^2, t_1^5)$

Dans les paragraphes suivants nous allons étudier deux façons de construire la ramification  $\mathcal{R}(\omega)$  ; cependant il nous faut avant, poser le problème de

«l'arrêt des calculs de l'automate» : - l'automate peut-il prendre une infinité d'états analytiques ?  
ou encore - existe-t-il une infinité de calculs ?

4.2.3.2 - «Arrêt» de l'automate

Le graphe,  $gl_1 = (\mathcal{M}_1, \Gamma_1)$ , ne possédant qu'un nombre fini de points, il n'y aura qu'un nombre fini de calculs ; par contre cela n'implique pas que les calculs soient de longueur finie. Il nous faut étudier les conditions pour lesquelles les calculs de l'automate seront «finis».

Théorème 5 :

Une condition nécessaire et suffisante pour que les calculs soient «finis» est que le graphe,  $gl_1$ , ne possède pas de circuit élémentaire,  $c = x_1 x_2 \dots x_n$ , avec  $x_1 = x_n = x$  pour lequel,  $h \circ g^* \circ t(c) = \wedge$ , et tel qu'il existe un chemin,  $\ell$ , de  $C(\varepsilon, x)$  qui vérifie :

$$\forall n \geq 0 \quad \varepsilon \circ t(\ell^n) \neq \emptyset, \text{ avec } \ell = \ell'x.$$

Démonstration : 1) Soit  $c$  un tel circuit ; alors la suite de triplets,  $s = (x^i, u^i, \beta^i)_{i \geq 1}$ , définie par : si  $\ell = \ell'x$ , ...  $\ell_p$ ,

( $x^1 = \ell_1 = c$  et  $\ell_p = x = x^p$ )

-  $x^i = \ell_i$ , pour  $i=1, 2, \dots, p$

-  $x^i = x_{i-p+1}$ , pour  $i=p+1, \dots, p+n-1$

- pour tout  $k$  supérieur à un :  $x^{i+p+k(n-1)} = x^{p+i}$ , pour  $i=1, \dots, n-1$

. Quant aux mots  $u^i$  et  $\beta^i$  :

$$u^i = \varepsilon \circ t[x^1 x^2 \dots x^i], \text{ et } \beta^i = h \circ g^* \circ t(x^i) \beta^{i+1}, \text{ avec } \beta^1 = \alpha.$$

Compte-tenu des hypothèses du théorème,  $s$  est un calcul de l'automate qui est de longueur infinie.

2) Soit  $s = (x^i, u^i, \beta^i)_{i \geq 1}$  un calcul de longueur infinie. Cela entraîne un certain nombre de conséquences :

-  $gl_1$  possède un chemin de longueur infinie

- il existe une infinité de  $x^i$  pour lesquels  $h \circ g^* \circ t(x^i) = \wedge$ , car

$\beta^i = \beta^{i+1} \neq \emptyset$ , pour tout entier  $i$  supérieur à un.

Mais,  $gl_1$ , ayant un nombre fini de points, la seule possibilité pour  $gl_1$  de posséder un chemin de longueur infinie est d'avoir un circuit élémentaire qui,

représenté par l'ensemble de mots dans le résultat du calcul  $s$  : soit  $c$  le résultat de  $s$ , il existe un mot  $\ell$  de  $s^i$  pour lequel,

-  $c = x_1 \dots x_n$ , avec  $x_i = x_n$ , et  $x_{i+1}$  appartient à  $\Gamma_1(x_i)$  pour tout entier  $i$  de  $[1, n-1]$ .

-  $r = r'_i c_i$ , où  $\ell = r'_i x_1$  est un chemin de  $\mathcal{C}(\mathcal{C}, x_1)$  et  $c_i = c$ , pour  $i \geq 1$ .

De plus,  $h0g^*0t(c)$ , est égal au mot vide, car sinon il existerait un entier  $k$ , pour lequel  $|h0g^*0t(c^k)| > |\alpha|$ , et par conséquent le calcul  $s$  ne pourrait pas être de longueur infinie.

On peut déduire de ce théorème une condition suffisante pour que les calculs soient finis ; ce qui nous permettra, dans le cadre de chacune des structures compatibles étudiées, de mettre en évidence des conditions simples qui lui sont équivalentes.

Une condition suffisante pour que les calculs de l'automate engendrant  $\mathcal{R}(\omega)$  soient «finis», est :

Il n'existe pas de circuit élémentaire,  $c = x_1 x_2 \dots x_p$ , ( $x_1 = x_p$ ) du graphe  $gl_1$  qui vérifie la condition (A) :

$$(A) = \begin{cases} - h0g^*0t(c) = \Lambda \\ - (\exists \ell \in \mathcal{V}_1^*) (\forall n \in \mathbb{N}) (\ell 0t(\ell c^n) \neq 0) \end{cases}$$

Structure  $S_1$  :

Les circuits du graphe des transitions de  $L_1$ , de forme 1 vérifient la condition (A). On a déjà déterminé au paragraphe 3.4.1. 1) une condition nécessaire et suffisante pour qu'il n'y ait pas de tels circuits : la condition C1.

Les circuits de forme 2 ne vérifient pas la condition (A) : en effet si  $c$  est un de ces circuits, on a démontré en 3.4.1. 2) que  $c$  appartenait à  $\overline{V}_1^1$  (dans le cas de la structure  $S_1$ , on a  $\mathcal{V}_1^1 = V_1^1 \cup \overline{V}_1^1$  et  $t$  est l'identité sur  $V_1^1$ ). On en déduit immédiatement que pour tout mot  $\ell$  de  $\mathcal{V}_1^*$ ,  $\ell 0t[\ell c^n]$  est nul, lorsque l'entier  $n$ , est strictement supérieur à la longueur de  $\ell$ .

On peut ainsi énoncer :

Une condition suffisante pour que les calculs soient «finis» est :

«le graphe des initiales des règles de la grammaire  $G$  ne possède pas de circuit» (condition C1).

Structure  $S_2$  :

Pour la même raison que celle évoquée pour les circuits de forme 2, soit la non satisfaction de la deuxième partie de (A), les circuits de forme 3, 4 ou 5 ne vérifient pas la condition (A).

Seuls les circuits de forme 6,  $c$ , pour lesquels :

$\ell 0t[\ell A_1 \overline{A}_1 \overline{A}_1 \overline{A}_1 A_2 \overline{A}_2 \overline{A}_2 \dots A_{p-1} \overline{A}_{p-1} \overline{A}_{p-1} A_1]$ , et où tous les mots  $\overline{V}_i$  de  $\overline{V}^*$  se réduisent au mot vide, satisfont à (A). Ce cas se présente lorsque la grammaire  $G$  possède de règles du type :  $A_i ::= A_{i+1}$ , pour  $i=1, 2, \dots, p-1$  et  $A_p = A_1$ .

On peut ainsi énoncer la condition (C2), suffisante, sous les deux formes équivalentes :

- un symbole auxiliaire ne peut pas dériver strictement de lui-même

dans  $G$ .

- Il n'existe pas d'entier  $p$  pour lequel :

$A_i ::= A_{i+1}$ , pour  $i=1, 2, p-1$ , avec  $A_p = A_1$  ; les lettres  $A_i$  étant des symboles auxiliaires (éléments de  $N$ ).

Structure  $S_3$  :

Les circuits de  $L_3$  que nous avons étudiés en 3.4.3 vérifient tous la condition (A).

Deux conditions suffisantes peuvent être énoncées :

- la condition (C1), déjà étudiée,

et - la condition (C3) : «les graphes des transitions des langages locaux dont les transcrits sont les langages de production ou l'ensemble des axiomes de  $G$  ne possèdent pas de circuits ; ou de qui est équivalent la grammaire ne possède qu'un nombre fini de règles

### ANALYSE PAR EMPILEMENT ET RETOUR ARRIERE

Une méthode pour parcourir la ramification  $\mathcal{R}(\omega)$  est l'utilisation de sa pile attachée (1.6 et PAIR [1]) qui nous permet d'engendrer successivement les rangées de  $\mathcal{R}(\omega)$ . L'automate fonctionnera de façon déterministe en n'élabrant qu'un seul calcul au cours de sa recherche. Lors de l'analyse la ramification en cours de génération sera du type suivant :



Les pointillés indiquent les choix ultérieurs possibles pour l'automate.

Le calcul associé est donné par la suite :  $(\mathcal{E}, \#a), (x_1^1, u_1^1, \beta_1^1), (x_1^2, u_1^2, \beta_1^2)$ .  
 Le résultat de ce calcul est le début de parcours :  $\mathcal{E} x_1^1 x_1^2$ . Cependant si nous définissons une pile sur les éléments de  $\mathcal{V}_1$ , il nous faudrait à chaque entrée de l'un d'eux dans cette dernière, stocker en mémoire tous ceux qui appartiennent à une même famille de successeurs. Soit dans l'exemple précédent, lorsque  $x_1^1$  entre dans la pile, il serait nécessaire de ranger en mémoire  $x_2^1$  et  $x_3^1$ , de façon à pouvoir construire ultérieurement les rangées de  $\mathcal{R}(\alpha)$ , issues de ces derniers. En fait ces stockages sont inutiles si nous définissons une "pile attachée"  $P$  sur les adresses dans le tableau,  $TS$ , des familles de successeurs de chacun des points de  $g_{\mathcal{L}_1}$ ; nous noterons  $el(x)$ , le point de  $g_{\mathcal{L}_1}$ , rangé à l'adresse  $x$ , dans le tableau  $TS$ . Pour calculer les mots  $u_1^1, u_1^2, \dots$ , nous définirons une pile,  $U$ , sur  $\mathcal{V}_1$  comme nous l'avons fait au paragraphe 4.2.1.

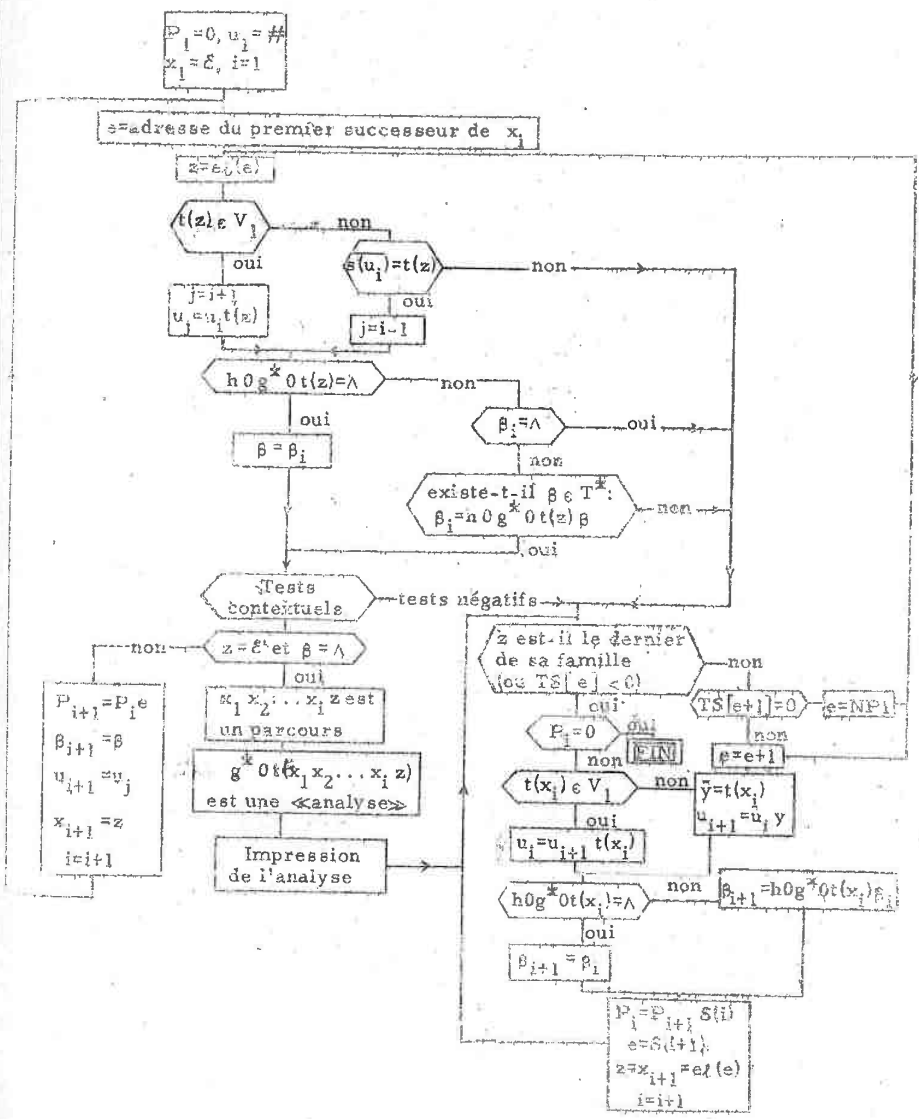
4.3.1 - Etude des changements d'état des piles  $P$  et  $U$

$S(i)$  (respectivement  $s(i)$ ) désignera le sommet de l'état  $P_i$  (respectivement  $u_i$ ) de la pile  $P$  (respectivement  $U$ ). Nous indiquerons à chaque changement d'état des piles  $P$  et  $U$ , le dernier état analytique,  $t_f^i = (x_i, u_i, \beta_i)$ , du calcul associé à la rangée  $\mathcal{R}(\alpha)$ , en cours d'élaboration.

- 1)  $P_0 = \Lambda$  et  $u_0 = \Lambda$
- 2)  $\mathcal{E}$ , ne possédant pas de prédécesseur, on pose  $P_1 = 0$ ; d'où  $t_f^1 = (\mathcal{E}, \#, a)$ .
- 3) Soient  $P_i$  et  $u_i$  les états de même indice dans  $P$  et  $U$ :
  - a) Si  $i$  est une entrée de la pile  $P$  et si  $F(t_f^i) = \emptyset$ , alors  $i+1$  est la sortie du sommet  $S(i)$ :  $t_f^{i+1} = t_f^{i-1}$  et  $P_{i+1} = P_{i-1}$
  - b) Si  $i$  est une entrée de  $P$  et si  $F(t_f^i) \neq \emptyset$ , alors  $i+1$  est l'entrée de l'adresse, dans  $TS$ , du premier successeur de  $x_i^i$ ; soit  $t_j = (x_j, u_j, \beta_j)$  le premier élément de  $F(t_f^i)$ , on a:  $t_f^{i+1} = t_j$ .
  - c)  $i$  est une sortie de  $P$ :
    - c.1) si  $S(i-1)$  est l'adresse du dernier élément d'une famille (c'est à dire  $TS[S(i-1)] < 0$ ), alors :
      - ou,  $P_i = 0$  et  $(i+1)$  est le dernier état de  $P$
      - ou,  $P_i \neq 0$  et  $i+1$  est une sortie
    - c.2) sinon,  $TS[S(i-1)]$  n'est pas strictement négatif :
      - + si  $TS[S(i-1)+1]$  est différent de zéro, et si l'on a :

$z [u_i t(el\{S(i-1)+1\})] \neq 0$ ,  
 et, il existe un mot  $\beta$  de  $T^*$  tel que  $\beta_i = n0g^*0t(el\{S(i-1)+1\})\beta$ .  
 alors  $i+1$  est l'entrée de  $S(i-1)+1$ , avec:  $x_{i+1} = el\{S(i-1)+1\}$ ,  $\beta_{i+1} = \beta$  et  $u_{i+1} = [u_i t(x_{i+1})]$ .  
 + si  $TS[S(i-1)+1]$  est nul, et si l'entier  $NPI$  vérifie les propriétés :  
 $[u_i t(el\{NPI\})] \neq 0$ , et il existe un mot  $\beta$  de  $T^*$  pour lequel,  
 $\beta_i = n0g^*0t(el\{NPI\})$ , alors  $i+1$  est l'entrée de  $NPI$ , avec :  
 $x_{i+1} = el\{NPI\}$ ,  $\beta_{i+1} = \beta$  et  $u_{i+1} = [u_i t(x_{i+1})]$ .  
 On rappelle que  $NPI$  est l'adresse d'une sous-famille de successeurs commune à plusieurs points du graphe  $g_{\mathcal{L}_1}$ .  
 + dans les autres cas,  $i+1$  est une sortie.

4.3.2 - Algorithme de fonctionnement de l'automate



4 - ANALYSE PAR TRAITEMENT EN PARALLELE

Le fonctionnement de l'automate de "traitement en parallèle" diffère du précédent par le fait qu'il correspond à celui d'un automate indéterministe qui génère simultanément un certain nombre de calculs  $c_1, c_2, \dots, c_p$  dont les états analytiques finaux possèdent tous la même troisième composante  $\beta$  :

$$- c_1 = (\varepsilon, \#, \alpha)(x_1^1, u_1^1, \alpha_1^1) \dots (x_{n_1}^1, u_{n_1}^1, \beta)$$

$$- c_p = (\varepsilon, \#, \alpha)(x_1^p, u_1^p, \alpha_1^p) \dots (x_{n_p}^p, u_{n_p}^p, \beta)$$

L'automate traite parallèlement les calculs qui ont lu le même nombre de lettres dans le mot  $\alpha$  à analyser, en l'occurrence celles du mot  $\gamma$ . dans l'exemple précédent avec  $\alpha = \gamma\beta$ . C'est la prochaine lettre à lire dans  $\alpha$  qui dicte à l'automate l'ensemble des calculs stockés en mémoire qu'il doit traiter dans une étape ultérieure de l'analyse ; les calculs qui auront lu celle-ci seront interrompus. La construction de la ramification,  $R(\alpha)$ , peut ainsi être partagée en phases de calcul :

Définition d'un train de calculs : Etant donnée une liste, LIST, d'états analytiques (finaux)  $t_f = (x, u, \beta)$ , appartenant à des calculs de l'automate, «train de calculs» associé à LIST est l'ensemble des pseudo-calculs  $c = (c^i)_{i=1}^{i=n}$  dont l'état analytique initial,  $c^1$ , appartient à l'un des ensembles  $F(t_f)$ .

Nous convenons que :  $c^i = (x_i, u_i, \beta_i)$  et que,  $\alpha_q$ , désigne la première lettre de  $\alpha$  non lue par l'automate.

Un train de calculs sera appelé «phase de calcul» pour  $\alpha_q$ , si les deux conditions suivantes sont vérifiées :

1) Pour tous les pseudo-calculs,  $c$ , on a :

$$- h0g^*0t(x_n) = \alpha_q$$
$$- h0g^*0t(x_1 \dots x_{n-1}) = \wedge$$

2) Pour tous les états,  $t_f$ , de la liste associée :

$$- \text{ou } h0g^*0t(x) = \alpha_{q-1} \quad (\alpha_{q-1} \text{ étant la dernière lettre de } \alpha \text{ lue par l'automate).}$$

- ou  $x$  est égal à  $\varepsilon$ , et par conséquent la liste associée se réduit au triplet  $(\varepsilon, \#, \alpha)$ .

Etape de calcul : «une étape de calcul» est un train de calculs dont les pseudo-calculs sont de longueur un. Une phase de calcul associée à une liste, LIST, est ainsi obtenue en déterminant une suite d'étapes de calcul, définie de la façon suivante :

- la première étape est celle qui admet LIST comme liste associée.
- Toute étape différente de la première est constituée par le train de calculs admettant pour liste associée la sous-liste des états analytiques,  $t=(x, u, \beta)$ , de l'étape précédente, qui vérifient :  $h0g^*0t(x) \neq \Lambda$ .
- La dernière étape est celle dont les pseudo-calculs,  $c=(x, u, \beta)$ , satisfont à :  $h0g^*0t(x) = \alpha_q$ .

. Si le mot  $\alpha$  de  $T^*$ , que l'automate doit lire, a pour longueur l'entier  $l$ , la génération de  $R(\alpha)$  se partagera en un nombre  $l$  de phases de calcul, et un train de calculs dont les pseudo-calculs admettent tous le triplet,  $(\mathcal{E}, \Lambda, \Lambda)$ , comme état analytique final.

Le contrôle de l'empilement ne peut plus être réalisé à l'aide d'une seule pile, puisqu'à chacun des calculs,  $c_1, \dots, c_p$ , définis à partir des pseudo-calculs des différentes phases de calcul est associée la pile  $u^i=(u_1^i, u_2^i, \dots, u_{n_i}^i)$ , pour  $i=1, 2, \dots, p$ ; on utilisera ainsi la notion de couplage en associant à chaque état  $u_j^i$ , pour  $j=1, \dots, n_i$ , d'une pile  $u^i$  son couplé,  $c(j)$ , qui nous permet de rechercher aisément l'élément qui peut sortir de la pile  $u^i$ , sans que nous connaissions les divers états  $u_j^i$ ;  $c(j)$  désigne en fait l'indice de l'état  $u_{c(j)}^i$  de la pile  $u^i$  dont le sommet est, soit le dernier, soit l'avant-dernier élément qui est entré dans la pile  $u^i$  et qui ne possède pas de sortie.

#### 4.4.1 - Mémorisation des calculs et des pseudo-calculs :

Les calculs sont stockés en mémoire sous forme d'une liste, LIS, mémoire unidimensionnelle possédant NIL éléments. Cette liste est divisée en enregistrements de quatre mots. En outre, les enregistrements rendus disponibles dans cette liste sont organisés en sous-liste par l'intermédiaire d'un pointeur placé dans le deuxième mot. L'adresse du premier enregistrement de cette sous-liste est définie par la variable FREE. Lorsque cette liste est vide, la création des enregistrements de LIS se fait séquentiellement; cela se produit lorsque la variable FREE est égale à NIL et lorsque la sous-liste des enregistrements disponibles est vide.

Soit,  $t^p$ , un état analytique appartenant à la liste associée d'une étape de calcul; c'est en particulier le dernier état d'un des calculs élaborés par l'automate :

$$c=(t^j)_{j=1}^{j=p}, \text{ avec } t^k=(x_k, u_k, \beta_k), \text{ pour tout entier } k \text{ de } [1, p].$$

Si l'ensemble,  $F(t^p)$ , n'est pas vide l'automate engendrera le train de calculs formé par les éléments de  $F(t^p)$ . L'ensemble  $F(t^p)$  est la réunion de deux sous-ensembles disjoints  $F'(t^p)$  et  $F''(t^p)$ , définis par :

$$F'(t^p) = \{ t = (x, u, \beta) \in F(t^p) \mid h0g^*0t(x) = \Lambda \}$$

$$F''(t^p) = \{ t = (x, u, \beta) \in F(t^p) \mid h0g^*0t(x) \neq \Lambda \}$$

Pour chaque triplet,  $t=(x, u, \beta)$ , de  $F'(t^p)$  (respectivement de  $F''(t^p)$ ) l'automate crée un enregistrement de LIS :

- le deuxième mot contient l'adresse de l'enregistrement du triplet  $t'$  de  $F'(t^p)$  (respectivement  $t''$  de  $F''(t^p)$ ) majorant de  $t$  suivant l'ordre que nous avons défini au paragraphe 4.2.3.1.

. Lorsque  $F(t^p)$  se réduit à un seul triplet,  $t$ , le deuxième mot de l'enregistrement attaché à  $t$  contiendra zéro. Pour un ensemble  $F(t^p)$  donné, le deuxième mot du dernier enregistrement créé contiendra l'adresse du premier enregistrement créé, affecté d'un signe moins.

En outre, lorsque  $F'(t^p)$  et  $F''(t^p)$  ne se réduisent pas à l'ensemble vide, le deuxième mot de l'enregistrement du dernier élément de  $F'(t^p)$  contient l'adresse de celui qui est attaché au premier élément de  $F''(t^p)$ .

- $x$  est rangé dans le premier mot.
- dans le troisième mot se trouve l'adresse d'implantation dans LIS, du triplet  $t^p$  ce qui nous permettra de reconstituer les rangées de la ramification  $R(\alpha)$  et ainsi d'imprimer les résultats; les analyses de  $\alpha$ .

Cette adresse sera affectée d'un signe moins, lorsque  $t$  est le dernier élément de  $F'(t^p)$ ; ce qui nous donne un test de fin de liste pour la sous-liste de LIS, constituée par les enregistrements attachés aux sous-ensembles  $F'(t^p)$ .

- Quant au quatrième mot : le triplet,  $t$ , est le dernier état analytique du calcul,

$$c=(x^l, u^l, \beta^l)_{l=1}^{l=p+1} = (t^l)_{l=1}^{l=p+1} \text{ défini à partir du calcul, } c=(x_k, u_k, \beta_k)_{k=1}^{k=p}$$

introduit au début de ce paragraphe :  $x_k=x^k, u_k=u^k, \beta_k=\beta^k$ , pour  $k=1, 2, \dots, p$ , et  $x^{p+1}=x, u^{p+1}=u, \beta^{p+1}=\beta$ .

Les mots,  $u^l$  (pour  $l=1, 2, \dots, p+1$ ), peuvent être considérés comme les états de rang inférieur ou égal à  $p+1$  d'une pile  $W=(w_0, w_1, \dots, w_{p+1}, \dots, w_p)$  avec  $|w_{p+1}|$ , et  $w_i=u^i$ , pour  $i$  appartenant à  $[1, p+1]$ , st.  $w_0=\Lambda$ . (Voir paragraphe 4.2).

Nous placerons dans le quatrième mot l'adresse, ADD, d'implantation dans la liste LIS de l'enregistrement attaché au triplet,  $t^{c(p+1)}$ ;  $c(p+1)$  étant le couple de l'entier,  $p+1$ , pour la pile W.

On peut aisément déterminer l'adresse ADD, compte-tenu de la propriété 1 du paragraphe 4. 2. 1.

Soit, AD, l'adresse d'implantation du triplet  $t^p$ ; trois cas se présentent :

- 1)  $c(p+1)=p$  : on a  $ADD=AD$
- 2)  $c(p+1)=c(p)$  : ADD est le contenu du quatrième mot de l'enregistrement de  $t^p$ , c'est à dire :  $ADD=LIS[AD+3]$
- 3)  $c(p+1)=c(c(p))$  : par définition ADD est égal au contenu du quatrième mot de l'enregistrement attaché à  $t^{c(p)}$ , soit  $LIS[LR+3]$  si LR est l'implantation de  $t^{c(p)}$ ; mais LR est aussi le contenu du quatrième mot de l'enregistrement de  $t^p$ , soit  $LR=LIS[AD+3]$ . On a en définitive :  $ADD=LIS[LIS[AD+3]+3]$ .

4. 4. 2 - Passage d'une étape de calcul à une autre étape ; changement de phase de calcul :

Nous désignerons par LIS (ADR, k, l) avec k un entier inférieur ou égal à l toute liste définie par des enregistrements dont le nombre de mots est l, et pour laquelle ADR est l'adresse du premier enregistrement ; k représente le rang du mot qui est utilisé comme pointeur de liaison des différents enregistrements de la liste.

Au cours d'une phase de calcul, l'automate doit ranger les états analytiques,  $t=(x, u, \beta)$ , tels que :  $h \circ g^* \circ t(x) = \alpha_q$  ( $\alpha_q$  est la lettre du mot  $\alpha$  que l'automate doit lire au cours de cette phase). Les calculs créés dans cette phase, et possédant comme état final l'un de ces états, sont interrompus. C'est pourquoi l'automate doit définir une sous-liste de LIS pour stocker les derniers états de ces calculs : en fait ces états appartiennent à un ensemble  $F''(t^p)$  dont les éléments sont déjà rangés dans LIS ; il suffit donc de créer une liste,  $LIS[ADFEU, 2, 2]$  dont les enregistrements précisent ceux des premiers triplets,  $t''$ , de chacun des ensembles  $F''(t)$  qui ont été définis au cours de cette phase de calcul.

Le problème est le même pour chacun des ensembles  $F'(t^p)$  obtenus au cours d'une même étape de calcul. A chaque étape on crée une liste, LIS(ADNFE, 2, 2), dont les enregistrements nous donnent ceux de LIS, attachés aux premiers triplets,  $t'$ , de chacun des ensembles  $F'(t^p)$ , définis au cours de celle-ci.

Définition de LIS(ADNFE, 2, 2) (respectivement de LIS(ADFEU, 2, 2) )

- Le premier mot contient l'adresse d'implantation dans LIS d'un triplet  $t'$  (respectivement  $t''$ )
  - Le deuxième mot est le pointeur reliant les enregistrements de la liste
- On lui affecte zéro pour chaque dernier enregistrement.

Plaçons-nous à la fin d'une étape de calcul :

Les pseudo-calculs de cette étape ont été rangés dans LIS, et les deux listes LIS (ADNFE, 2, 2) et LIS (ADFEU, 2, 2) ont été complétées. Pour définir l'étape suivante il suffit d'engendrer le train de calculs admettant comme liste associée celle formée pour les sous-listes de LIS dont les débuts de liste sont donnés par l'une des deux listes LIS (ADNFE, 2, 2) et LIS (ADFEU, 2, 2).

Un certain nombre de cas peuvent se présenter :

1) la liste LIS (ADNFE, 2, 2) est vide :

a - si LIS (ADFEU, 2, 2) est vide, l'automate s'arrête puisqu'il ne peut plus engendrer de nouveaux calculs,

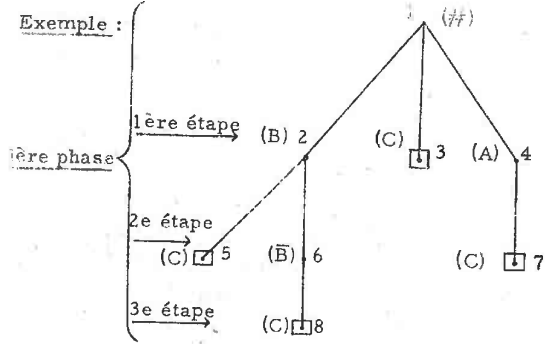
b - sinon une nouvelle phase de calcul débute : l'automate détermine le train de calculs associé à la liste, LIS (ADFEU, 2, 2).

2) LIS (ADNFE, 2, 2) n'est pas la liste vide : la phase de calcul en cours n'est pas terminée. L'automate débute l'étape de calcul associée à LIS (ADNFE, 2, 2).

Le passage d'une étape à une autre nécessite, en réalité, la définition de deux nouvelles listes du même type que les précédentes : LIS (AADNFE, 2, 2) et LIS (AADFEU, 2, 2). A la fin d'une phase de calcul la seconde est identifiée à LIS (ADFEU, 2, 2) ; l'adresse, ADFEU, étant alors initialisée à zéro pour la phase suivante.

A la fin d'une étape la première est identifiée à LIS (ADNFE, 2, 2) ; l'adresse, ADNFE, étant initialisée à zéro pour l'étape suivante.

Exemple :



- 1, 2, 3, 4, 5, 6, 7, 8 sont les codifications des points du graphe  $gt_1$ .

$h_0 g^* 0 t(5) = h_0 g^* 0 t(8) = h_0 g^* 0 t(3) = h_0 g^* 0 t(7) = C_e T.$

Etat de LIS avant la première "étape de calcul" :

|      |   |   |   |   |   |   |   |   |   |
|------|---|---|---|---|---|---|---|---|---|
|      | 1 | 2 | 3 | 4 | 5 | 6 | 7 | 8 | 9 |
| LIST | 1 | 0 | 0 | 0 | 1 | 0 |   | 5 |   |

ADNFE=5 ; FREE=NIL=9

Etat de LIS à la fin de la première "étape de calcul" :

|      |   |   |   |   |   |   |   |   |   |    |    |    |    |    |    |    |    |    |    |    |    |    |    |    |    |    |    |    |    |    |    |    |    |
|------|---|---|---|---|---|---|---|---|---|----|----|----|----|----|----|----|----|----|----|----|----|----|----|----|----|----|----|----|----|----|----|----|----|
|      | 1 | 2 | 3 | 4 | 5 | 6 | 7 | 8 | 9 | 10 | 11 | 12 | 13 | 14 | 15 | 16 | 17 | 18 | 19 | 20 | 21 | 22 | 23 | 24 | 25 | 26 | 27 | 28 | 29 | 30 | 31 | 32 | 33 |
| LIST | 1 | 0 | 0 | 0 | 1 | 0 |   | 5 |   | 2  | 25 | 1  | 1  | 9  | 0  | 13 | 3  | -9 | 1  | 1  | 17 | 0  | 21 | 4  | 17 | -1 | 1  | 25 | 13 | 13 |    |    |    |

NIL=33 ; FREE=5 ; AADNFE=29 ; ADFEU=21 ; ADNFE=0

Etat de LIS à la fin de la deuxième "étape de calcul" :

|      |   |   |   |   |   |   |   |   |   |    |    |    |    |    |    |    |    |    |    |    |    |    |    |    |    |    |    |    |    |    |    |    |    |
|------|---|---|---|---|---|---|---|---|---|----|----|----|----|----|----|----|----|----|----|----|----|----|----|----|----|----|----|----|----|----|----|----|----|
|      | 1 | 2 | 3 | 4 | 5 | 6 | 7 | 8 | 9 | 10 | 11 | 12 | 13 | 14 | 15 | 16 | 17 | 18 | 19 | 20 | 21 | 22 | 23 | 24 | 25 | 26 | 27 | 28 | 29 | 30 | 31 | 32 | 33 |
| LIST | 1 | 0 | 0 | 0 | 5 | 4 | 5 | 9 | 9 | 2  | 25 | 1  | 1  | 9  | 0  | 13 | 3  | -9 | 1  | 1  | 17 | 0  | 21 | 4  | 17 | -1 | 1  | 25 | 13 | 13 |    |    |    |

libérée

|   |   |   |   |   |   |   |    |   |   |   |   |   |   |   |    |   |   |   |   |   |   |   |   |   |   |   |   |   |   |   |   |   |   |   |   |   |   |   |   |
|---|---|---|---|---|---|---|----|---|---|---|---|---|---|---|----|---|---|---|---|---|---|---|---|---|---|---|---|---|---|---|---|---|---|---|---|---|---|---|---|
| 3 | 3 | 4 | 3 | 5 | 3 | 6 | 3  | 7 | 3 | 8 | 3 | 9 | 4 | 0 | 4  | 1 | 4 | 2 | 4 | 3 | 4 | 4 | 5 | 4 | 6 | 4 | 7 | 4 | 8 | 4 | 9 | 5 | 0 | 5 | 1 | 5 | 2 | 5 | 3 |
| 5 | 2 | 1 | 2 | 1 | 6 | 5 | -9 | 1 | 3 | 7 | 0 | 4 | 1 | 7 | -3 | 7 | 2 | 5 | 2 | 5 | 4 | 5 | 3 | 3 | 2 | 1 |   |   |   |   |   |   |   |   |   |   |   |   |   |

libérée

NIL=53 ; FREE=29 ; AADNFE=41 ; ADFEU=49 ; ADNFE=0

Etat de LIS à la fin de la première "phase de calcul" :

|      |   |   |   |   |   |   |   |   |   |    |    |    |    |    |    |    |    |    |    |    |    |    |    |    |    |    |    |    |    |    |    |    |
|------|---|---|---|---|---|---|---|---|---|----|----|----|----|----|----|----|----|----|----|----|----|----|----|----|----|----|----|----|----|----|----|----|
|      | 1 | 2 | 3 | 4 | 5 | 6 | 7 | 8 | 9 | 10 | 11 | 12 | 13 | 14 | 15 | 16 | 17 | 18 | 19 | 20 | 21 | 22 | 23 | 24 | 25 | 26 | 27 | 28 | 29 | 30 | 31 | 32 |
| LIST | 1 | 0 | 0 | 0 | 5 | 4 | 5 | 9 | 9 | 2  | 25 | 1  | 1  | 29 | 49 | 21 | 3  | -9 | 1  | 1  | 17 | 0  | 21 | 4  | 17 | -1 | 1  | 8  | 0  | 37 | 1  |    |

|   |   |   |   |   |   |   |    |   |   |   |   |   |   |   |    |   |   |   |   |   |   |   |   |   |   |   |   |   |   |   |   |   |   |   |   |   |   |   |   |
|---|---|---|---|---|---|---|----|---|---|---|---|---|---|---|----|---|---|---|---|---|---|---|---|---|---|---|---|---|---|---|---|---|---|---|---|---|---|---|---|
| 3 | 3 | 4 | 3 | 5 | 3 | 6 | 3  | 7 | 3 | 8 | 3 | 9 | 4 | 0 | 4  | 1 | 4 | 2 | 4 | 3 | 4 | 4 | 5 | 4 | 6 | 4 | 7 | 4 | 8 | 4 | 9 | 5 | 0 | 5 | 1 | 5 | 2 | 5 | 3 |
| 5 | 2 | 1 | 2 | 1 | 6 | 5 | -9 | 1 | 3 | 7 | 0 | 4 | 1 | 7 | -3 | 7 | 2 | 5 | 2 | 5 | 4 | 5 | 3 | 3 | 2 | 1 |   |   |   |   |   |   |   |   |   |   |   |   |   |

libérée

NIL=53 ; FREE=41 ; AADFEU=13 ; ADFEU=0 ; AADNFE=0 ;

Afin de simplifier la gestion des enregistrements disponibles et du même coup la programmation, les enregistrements des sous-listes LIS(ADNFE, 2, 2), LIS(ADFEU, 2, 2), ... ont été rangés dans des enregistrements de quatre mots. Le quatrième mot est utilisé pour transmettre l'adresse dans LIS du dernier enregistrement de ces sous-listes. Ce procédé occupe plus de place en mémoire ; cependant cela n'est pas gênant puisque ces sous-listes sont temporaires.

CHAPITRE IV

-----  
Etude des tests

## 1 - INTRODUCTION

On se propose dans ce chapitre d'élaborer des tests permettant d'orienter la recherche quelque peu aveugle des programmes d'analyse qui se contentent d'explorer systématiquement un graphe en ne validant leurs choix successifs que par le dernier élément de la pile de reconnaissance d'un langage de parenthèses et quelque fois par la prochaine lettre du mot des feuilles,  $\alpha$ , que l'automate doit lire.

On peut améliorer l'analyse en effectuant des tests de contrôle qui porteraient sur un certain nombre de dernières lettres de la pile de reconnaissance ainsi que sur certaines des premières lettres du facteur droit de  $\alpha$ , non encore lu. Les programmes d'analyse pourraient ainsi s'interroger à chaque étape de calcul, d'état analytique  $(x, u, \beta)$ , par l'étude des facteurs gauches de  $\beta$  et des facteurs droits de  $u$ , sur l'opportunité de la poursuite de l'analyse en cours à partir du point  $x$ .

## 2 - DEFINITION DES «TRIPLETS ACCEPTABLES»

. Soit  $(V_1, g, K_1, h)$  le quadruplet associé à la structure compatible  $S$ , que nous avons choisie pour réaliser des analyses d'une grammaire  $G$ , d'alphabet  $\mathcal{U} = T \cup N$ . Le langage régulier  $K_1$  est défini par la transcription  $t$  et le langage local  $L_1 = (\mathcal{L}_1, \{\varepsilon\}, \{\mathcal{E}'\}, g\mathcal{L}_1)$  tels que :  $K_1 = t(L_1)$  et  $g\mathcal{L}_1 = (\mathcal{L}_1, \Gamma_1)$ .

On rappelle que :  $V_1 = V \cup \{\#\}$ , puisque nous réalisons des analyses avec adjonction de marqueurs et que  $g^*$  est la transcription de  $V_1^*$  dans  $\mathcal{U}^*$  définie à partir de l'application  $g$  de  $V_1$  dans  $\mathcal{U}$ .

Quant à  $h$ , c'est un homomorphisme alphabétique de  $\mathcal{U}^*$  dans  $T^*$ .

Définition 1 : Un triplet  $(x, u, \gamma)$  de  $\mathcal{L}_1 \times \{\#\} V_1^* \times T^*$  est «acceptable» si et seulement si :

$$(\exists \lambda \in C(x, \{\mathcal{E}'\})) (\exists \gamma' \in T^*) (u t(\lambda)) = \lambda, \text{ et } h o g^* o t(\lambda) = \gamma \gamma')$$

. L'ensemble  $C(x, \{\mathcal{E}'\})$  désigne les chemins du graphe  $g\mathcal{L}_1$ , d'origine  $x$  et d'extrémité  $\mathcal{E}'$ .

Comment pouvons nous interpréter la notion de triplet acceptable, dans le contexte d'une analyse ?

Soit  $\alpha$  un mot de  $T^*$ ; nous avons vu au chapitre 4 que la recherche des analyses de  $\alpha$  nous conduisait à celle des calculs de l'automate qui générerait l'ensemble

$$\mathcal{A}(\alpha) = h^{-1}(\alpha) \cap g^*(K_1 \cap P(V_1)).$$

Soit  $(x, u, \beta)$  le dernier état analytique d'un calcul et supposons que nous connaissions tous les triplets acceptables  $(x, u, \gamma)$  avec  $|\gamma| = k$ . Si  $\beta'$  est le facteur droit de  $\beta$  ayant pour longueur  $k$  et que  $(x, u, \beta')$  ne soit pas acceptable, nous ne pouvons pas espérer engendrer un élément de  $\mathcal{A}(\alpha)$  à partir de l'état  $(x, u, \beta)$ . Tout calcul d'état final  $(x, u, \beta)$  doit être abandonné. La connaissance des triplets acceptables nous permet d'éviter les fausses pistes.

Lemme : Soit  $u \in V^*$  et  $\lambda \in (V \cup \bar{V})^*$  tels que  $z[u\lambda] = \Lambda$ .  
Alors  $\lambda = \lambda_1 \bar{a}_1 \lambda_2 \bar{a}_2 \dots \lambda_p \bar{a}_p \lambda_{p+1}$  avec  $\lambda_i \in P(V)$ ,  
pour  $i=1, 2, \dots, p$ , si  $u = a_p a_{p-1} \dots a_2 a_1$ .

Démonstration :

1) Soit  $u = \Lambda$ ; le lemme est vérifié :  $p=0$  et  $\lambda = \lambda_1$

2) Supposons le lemme démontré pour des mots de  $V^*$  de longueur strictement inférieure à  $p$ .

Soient  $u = a_p a_{p-1} \dots a_2 a_1$  un mot de  $V^*$  et  $\lambda$  un mot de  $(V \cup \bar{V})^*$  qui vérifient :  $z[u\lambda] = \Lambda$ .

Si on pose  $u' = u' a_1$  et  $\lambda' = a_1 \lambda$ , on a :  $z[u'\lambda'] = \Lambda$ .

Mais  $u'$  est de longueur  $p-1$  et vérifie l'hypothèse de récurrence ; par conséquent il existe  $\lambda'_i$  appartenant à  $P(V)$ , pour  $i=1, 2, \dots, p$ , pour lesquels :

$\lambda' = \lambda'_1 \bar{a}_1 \lambda'_2 \bar{a}_2 \dots \lambda'_{p-1} \bar{a}_{p-1} \lambda'_p$ . De plus  $\lambda'$  commençant par  $a_1$ , il en est de même

pour  $\lambda'_1$  ; et comme ce dernier appartient à  $P(V)$ , il existe  $\lambda_1$  et  $\lambda_2$  de  $P(V)$

tels que :  $\lambda'_1 = a_1 \lambda_1 \bar{a}_1 \lambda_2$ . Le mot  $\lambda$  se décompose alors comme suit :

$\lambda = \lambda_1 \bar{a}_1 \lambda_2 \bar{a}_2 \lambda'_2 \bar{a}_3 \dots \lambda'_{p-1} \bar{a}_{p-1} \lambda'_p$ , les  $\lambda_i$ , pour  $i=1, 2$  et les  $\lambda'_i$ , pour  $i=1, 2, \dots, p$  appartenant à  $P(V)$ .

Remarque : Désormais les notations seront celles introduites lors de la définition 1.

Proposition 1 : Soit  $u = a_p a_{p-1} \dots a_1$  un mot de  $\# V^*$  et  $\gamma$  un mot de  $T^*$  de longueur égale à  $k$ . Le triplet  $(x, u, \gamma)$  de  $\mathcal{L}_1 \times \{\# V^*\} \times T^*$  est acceptable si et seulement si :

$$\left( \exists \gamma_1, \gamma_2, \dots, \gamma_p \in T^* \right) \left( \exists \lambda_1, \lambda_2, \dots, \lambda_p \in P(V) \right) (\gamma = g_k(\gamma_1 \dots \gamma_p), \dots \\ \dots \lambda_1 \bar{a}_1 \lambda_2 \dots \lambda_p \bar{a}_p \in t[C(x, \{c'\})] \text{ et } \gamma_i = g_k \circ h \circ g^*(\lambda_i \bar{a}_i), \\ \text{pour } i=1, \dots, p)$$

Démonstration :

1) La condition suffisante est évidente si l'on prend, pour le chemin  $\lambda$  de la définition 1, un chemin  $m$  de  $C[x, \{c'\}]$  de la proposition 1, vérifiant :

$$t(m) = \lambda_1 \bar{a}_1 \lambda_2 \dots \lambda_p \bar{a}_p.$$

En effet,  $z[ut(m)] = \Lambda$ , et  $g_k \circ h \circ g^* \circ t(m) = g_k \left[ \prod_{i=1}^p \gamma_i \right]$ , ce qui équivaut à

l'existence d'un mot  $\gamma'$  de  $T^*$  tel que  $h \circ g^* \circ t(m) = \gamma \gamma'$ .

2) Démontrons la condition nécessaire : soit  $(x, u, \gamma)$  un triplet acceptable. Il existe un chemin  $\lambda$  d'origine  $x$  et d'extrémité  $c'$ , pour lequel ;  $z[ut(\lambda)] = \Lambda$ , et il existe un mot  $\gamma'$  de  $T^*$  tel que  $h \circ g^* \circ t(\lambda) = \gamma \gamma'$ .

Le mot  $t(\lambda)$  de  $(V_1 \cup \bar{V}_1)^*$  vérifie les hypothèses du lemme en substituant l'ensemble  $V_1$  à l'ensemble  $V$  dans son énoncé. Il existe des mots  $\lambda_i$  de  $P(V_1)$ , pour  $i=1, 2, \dots, p+1$ , vérifiant :  $t(\lambda) = \lambda_1 \bar{a}_1 \lambda_2 \bar{a}_2 \dots \lambda_p \bar{a}_p \lambda_{p+1}$ . Le point  $c'$  de  $g\mathcal{L}_1$  est le seul point tel que  $t(c') = \bar{\#} (= \bar{a}_p)$  comme  $c'$  n'a pas de successeur dans le graphe  $g\mathcal{L}_1$ , cela implique que  $\lambda_{p+1}$  est le mot vide. Si nous posons

$$\gamma_i = g_k \circ h \circ g^*(\lambda_i \bar{a}_i), \text{ pour } i=1, \dots, p, \text{ on en déduit :} \\ h \circ g^* \circ t(\lambda) = \prod_{i=1}^p h \circ g^*(\lambda_i \bar{a}_i) \text{ et } g_k \circ h \circ g^* \circ t(\lambda) = g_k \left[ \prod_{i=1}^p h \circ g^*(\lambda_i \bar{a}_i) \right] \\ = g_k \left[ \prod_{i=1}^p g_k \circ h \circ g^*(\lambda_i \bar{a}_i) \right] = g_k \left[ \prod_{i=1}^p \gamma_i \right] = \gamma$$

puisque  $\gamma$  est facteur gauche de  $h \circ g^* \circ t(\lambda)$  d'après la définition 1 et  $\gamma$  a pour longueur  $k$ .

### 3 - ETUDE DES «TRIPLETS INTERMÉDIAIRES»

La proposition 1 nous a conduit à décomposer les mots de  $(V \cup \bar{V})^*$ , qui sont les transcrits par  $t$  de chemins du graphe  $g\mathcal{L}_1$  en des mots de la forme  $\lambda \bar{a}$  où le mot  $\lambda$  appartient à  $P(V)$  et  $\bar{a}$  à  $\bar{V}_1$ . Cette décomposition justifie l'introduction des triplets intermédiaires.

**3.3.1 - Définition des triplets intermédiaires d'ordre k :**

Soient  $\mathcal{L}'_1$  l'ensemble des éléments de  $\mathcal{L}_1$  dont les transcrits par  $t$  appartiennent à  $\bar{V}_1$  et  $T_k$  l'ensemble des mots de  $T^*$  de longueur inférieure ou égale à  $k$ .

L'ensemble des triplets intermédiaires d'ordre k (k étant un entier positif ou nul),  $\mathcal{E}_k$ , est l'ensemble des triplets appartenant à  $\mathcal{L}'_1 \times \mathcal{L}'_1 \times T_k$  qui vérifient l'une des deux conditions suivantes :

- un triplet  $(x, y, \delta)$  de  $(\mathcal{L}'_1 - \mathcal{L}'_1) \times \mathcal{L}'_1 \times T_k$  est un triplet intermédiaire d'ordre k si et seulement si :  $(\exists \lambda \in C(x, \Gamma_1^{-1}(y))) (t(\lambda) \in P(V) \text{ et } g_k \circ h \circ g^* \circ t(\lambda, y) = \delta)$
- un triplet  $(y', y, \delta)$  de  $\mathcal{L}'_1 \times \mathcal{L}'_1 \times T_k$  est un triplet intermédiaire d'ordre k si et seulement si :  $(y = y') (g_k \circ h \circ g^* \circ t(y) = \delta)$ .

Cette définition implique, en particulier, que les mots  $\delta$  soient de longueur inférieure ou égale à  $k$ .

Nous pouvons définir sur  $\mathcal{E}_k$  le langage local  $\mathcal{L}_k = (\mathcal{E}_k, \mathcal{E}'_k, \mathcal{E}^*_k, \mathcal{G})$  avec :

- l'ensemble initial est l'ensemble de définition  $\mathcal{E}'_k$ .
- l'ensemble final est l'ensemble  $\mathcal{E}^*_k$ , sous-ensemble de  $\mathcal{E}_k$ , dont les triplets  $(x, y, \delta)$  possèdent une deuxième composante  $y$  égale à  $\mathcal{E}'$ .
- le graphe des transitions  $\mathcal{G} = \{\mathcal{E}_k, g^k\}$  est défini par :

$$(\forall (x, y, \delta), (x', y', \delta') \in \mathcal{E}_k) ((x, y, \delta) g^k(x', y', \delta') \iff y \Gamma_1 x')$$

La proposition 2 qui suit, va nous donner le moyen de déterminer pratiquement «les triplets acceptables» par l'intermédiaire du langage local  $\mathcal{L}_k$ . Avant de l'énoncer, introduisons un certain nombre de transcriptions et d'homomorphismes alphabétiques que nous allons utiliser. Soit  $p_1$ , l'application de  $\mathcal{E}_k$  dans  $\mathcal{L}_1$ , définie par :

$$\forall (a, b, c) \in \mathcal{E}_k \quad p_1[(a, b, c)] = a, \text{ ce que nous pouvons appeler}$$

la première projection, de la même façon soit  $p_3$ , la troisième projection.

Enfin, prenons pour  $p_2$  l'application de  $\mathcal{E}_k$  dans  $V_1$  définie par :

$$\forall (a, b, c) \in \mathcal{E}_k \quad p_2[(a, b, c)] = f \circ t(b), \text{ avec pour } f \text{ la bijection de } \bar{V}_1 \text{ dans } V_1 \text{ qui à tout élément } \bar{a} \text{ de } \bar{V}_1 \text{ associe l'élément correspondant } a \text{ de } V_1.$$

A partir de ces trois applications nous pouvons définir les transcriptions entre monoides libres  $p_1^*, p_2^*, p_3^*$  comme nous l'avons convenu au chapitre 1 et qui sont des homomorphismes alphabétiques de  $\mathcal{E}_k^*$  dans  $\mathcal{L}'_1$  pour  $p_1^*$ , de  $\mathcal{E}_k^*$  dans  $V_1$  pour  $p_2^*$ , et de  $\mathcal{E}_k^*$  dans  $T^*$  pour  $p_3^*$ .

**Proposition 2 :**

Soit  $\gamma$  un mot de  $T^*$  de longueur égale à  $k$ . Un triplet  $(x, u, \gamma)$  de  $\mathcal{L}_1 \times \{\# V^*\} \times T_k$  est acceptable, si et seulement si, il existe un mot  $m$  de  $\mathcal{L}_k$  tel que :

$$p_1 \circ g_1(m) = x, \quad p_2^*(m) = \bar{u}, \quad g_k \circ p_3^*(m) = \gamma$$

**Démonstration :** Soit  $(x, u, \gamma)$  un triplet acceptable ; d'après la proposition 1, cela équivaut à :  $\bar{u} = a_p a_{p-1} \dots a_1$ ,

$$(\exists \gamma_i \in V^*, i=1, 2, \dots, p) (\exists \lambda_i \in P(V), i=1, 2, \dots, p) \left( \prod_{i=1}^p \lambda_i \bar{a}_i \in t[C(x, \{\mathcal{E}'\})], \gamma = g_k \left( \prod_{i=1}^p \gamma_i \right), \right. \\ \left. \gamma_i = g_k \circ h \circ g^*(\lambda_i \bar{a}_i) \right)$$

Il est équivalent d'écrire qu'il existe un chemin  $\lambda$  de  $C(x, \{\mathcal{E}'\})$  tel que :

$$t(\lambda) = \prod_{i=1}^p \lambda_i \bar{a}_i \text{ et de telle façon que, pour } i=1, 2, \dots, p, \text{ l'on puisse trouver deux}$$

éléments  $x_i$  et  $y_i$  de  $\mathcal{L}_1$ , vérifiant :  $\lambda_i \bar{a}_i \in t[C(x_i, y_i)]$ ,  $t(y_i) = \bar{a}_i$ ,  $t(x_i) = g_1(\lambda_i)$ .

De plus,  $x_{i+1}$  appartient à  $\Gamma_1(y_i)$ , pour  $i=1, 2, \dots, p-1$  (en particulier  $x_1 = x$  et  $y_p \in \mathcal{E}'$ ).

Si nous posons  $m_i = (x_i, y_i, \gamma_i)$ , par définition  $m_i$  appartient à  $\mathcal{E}_k$ . Il est ainsi équivalent d'écrire que le mot  $m = \prod_{i=1}^p m_i$  de  $\mathcal{E}_k^*$  appartient au langage local  $\mathcal{L}_k$  et qu'il vérifie :

$$- g_k \circ p_3^*(m) = g_k \left[ \prod_{i=1}^p p_3(m_i) \right] = g_k \left[ \prod_{i=1}^p \gamma_i \right] = \gamma$$

$$- p_2^*(m) = \prod_{i=1}^p f \circ t(y_i) = \prod_{i=1}^p \bar{a}_i = \bar{u}.$$

**Corollaire :**

Soit  $x$  de  $\mathcal{L}_1$  et  $\gamma$  un mot de  $T^*$  de longueur égale à  $k$  ; alors l'ensemble  $L(x, \gamma)$  des mots  $u$  de  $\# V^*$  tels que les triplets  $(x, u, \gamma)$  soient acceptables est un langage régulier.

**Démonstration :** En effet, d'après la proposition 2, on a  $L(x, \gamma) = \bar{L}$ , avec pour  $L'$  le langage :

$$p_2^* \left[ (\mathcal{L}_k \cap D(x) \mathcal{E}_k^* \cap p_3^{-1*}(\gamma T^*)) \right], \text{ } D(x) \text{ étant l'ensemble des}$$

triplets de  $\mathcal{E}_k$ , admettant  $x$  pour première composante :

$$D(x) = \{ t \in \mathcal{E}_k \mid p_1(t) = x \}.$$

$\Gamma'$  est un langage régulier puisqu'il est formé d'intersections et d'image réciproque ou de transformés par homomorphismes entre monoïdes libres, de langages réguliers.

La recherche des triplets acceptables dépend ainsi de la génération des mots de  $\mathcal{E}_k$ ; c'est pourquoi nous allons étudier au paragraphe suivant la construction de l'ensemble  $\mathcal{E}_k$  des triplets intermédiaires.

5.3.2 - Recherche de l'ensemble  $\mathcal{E}_k$

Si nous notons, pour tout  $a$  de  $V_1$ ,  $P_a^-$  le langage  $P(V_1)\bar{a}$ , la détermination de l'ensemble  $\mathcal{E}_k$  se ramène à la recherche de l'un des deux types de langages suivants :

- pour tout couple  $(x, y)$  de  $(\mathcal{L}_1 - \mathcal{L}_1') \times \mathcal{L}_1'$ , le langage

$$\delta_k(x, y) = g_k 0 h 0 g^* \{ P_{t(y)} \cap t[C(x, y)] \}.$$

- pour tout couple  $(y, y)$  de  $\mathcal{L}_1' \times \mathcal{L}_1'$ , le langage

$$\delta_k(y, y) = \{ g_k 0 h 0 g^* 0 t(y) \}.$$

5.3.2.1 - Génération des langages  $P_a^-$  ( $a \in V_1$ )

Elle est intuitive compte-tenu de la forme de tout élément d'un langage de parenthèses.

Proposition 3 : Pour tout  $a$  de  $V_1$ , le langage  $P_a^-$  obéit au système (1) :

$$P_a^- = \bar{a} \cup \left( \bigcup_{b \in V_1} b P_b^- P_a^- \right)$$

Démonstration : L'inclusion directe est évidente. Soit  $x$  appartenant à  $P_a^-$  :

1) Si  $x$  est de longueur égale à un, on a :  $x = \bar{a}$ .

2) Le mot  $x$  est de longueur différente de 1 :

Alors  $x = x' \bar{a}$  avec  $x'$  appartenant à  $P(V_1)$ .

Pour tout élément  $x'$  de  $P(V_1)$ , il existe  $b$  appartenant à  $V_1$  et des mots  $x_0 = \bar{b} x_1$  de  $P(V_1)$  tels que :  $x' = b x_0 \bar{b} x_1$ .

Par conséquent,  $x = b(x_0 \bar{b})(x_1 \bar{a}) = b y y'$  avec  $y = x_0 \bar{b}$  appartenant à  $P_b^-$  et  $y' = x_1 \bar{a}$  à  $P_a^-$ ; c'est à dire  $x$  appartient à  $b P_b^- P_a^-$ .

5.3.2.2 - Etude de l'algorithme de génération des langages  $\delta_k(x, y)$

Nous noterons :

$$- \forall (x, y) \in (\mathcal{L}_1 - \mathcal{L}_1') \times \mathcal{L}_1' : L(x, y) = P_{t(y)} \cap t[C(x, y)]$$

$$- \forall (y, y) \in \mathcal{L}_1' \times \mathcal{L}_1' : L(y, y) = \{t(y)\}$$

On déduit aisément du système (1) de la proposition 3, la proposition suivante.

Proposition 4 : Pour tout couple  $(x, y)$  de  $(\mathcal{L}_1 - \mathcal{L}_1') \times \mathcal{L}_1'$ , on a :

$$(2) L(x, y) = \bigcup_{(z, x', x'') \in V_0(x, y)} t(x) L(z, x') L(x'', y), \text{ avec}$$

$$V_0(x, y) = \{ (x_1, x_2, x_3) \in \mathcal{L}_1 \times \mathcal{L}_1' \times \mathcal{L}_1' \mid x_1 \in \Gamma_1(x), x_3 \in \Gamma_1(x_2), t(x_2) = \overline{t(x)}, L(x_1, x_2) \neq \emptyset \text{ et } L(x_3, y) \neq \emptyset \}$$

Démonstration : Soit  $\delta$  appartenant à  $L(x, y)$ . D'après le système (1), il est équivalent de dire qu'il existe  $b$  appartenant à  $V_1$  tel que  $\delta$  appartienne à  $b P_b^- P_{t(y)}$ . En effet,  $t$  étant une transcription et  $t(x)$  appartenant à  $V_1$ ,  $\delta$  doit être de longueur supérieure à 1 pour qu'il puisse appartenir à  $t[C(x, y)]$ . On peut alors trouver deux chemins  $c_1$  et  $c_2$  de  $g \mathcal{L}_1$ , ( $t(c_1) \in P_b^-$  et  $t(c_2) \in P_{t(y)}$ ), tels que :  $\delta = t(x' c_1 c_2)$  ou ce qui est équivalent des points  $z, x'$  et  $x''$  de  $\mathcal{L}_1$  vérifiant :

$$c_1 \in C(z, x'), c_2 \in C(x'', y), z \in \Gamma_1(x), x'' \in \Gamma_1(x') \text{ et } t(x') = \bar{b} = \overline{t(x)}.$$

Il est à remarquer que la détermination des langages  $L(x, y)$  par l'algorithme de la proposition 4, ne se prête pas facilement au calcul sur ordinateur. C'est pourquoi nous le modifierons pour permettre une programmation plus aisée et plus efficace (en évitant en particulier les répétitions).

La forme du système (1) nous invite à construire  $L(x, y)$ , par « approximations successives », à partir de  $L(y, y) = \{t(y)\}$ , (pour  $y$  appartenant à  $\mathcal{L}_1'$ ), qui appartient à  $V_1$ . Nous engendrerons ainsi de proche en proche les mots de  $L(x, y)$ , de longueur croissante, en emboîtant ceux de longueur inférieure déjà obtenus. Les éléments de  $L(x, y)$  étant de longueur impaire, nous appellerons  $L(x, y, i)$  l'ensemble de ses éléments de longueur  $2i+1$ . Nous obtenons ainsi l'algorithme (2 bis) :

- Pour tout  $y$  de  $\mathcal{L}_1'$  :  $L(y, y, 0) = \{t(y)\}$

- Pour tout  $x$  de  $\mathcal{L}_1 - \mathcal{L}_1'$  et tout  $y$  de  $\mathcal{L}_1'$  :

$$L(x, y, i) = \bigcup_{(z, x', x'') \in V_0(x, y)} \left( \bigcup_{\substack{0 \leq m, n \leq i-1 \\ m+n=i-1}} t(x) L(z, x', m) L(x'', y, n) \right)$$

Mais les langages qui nous intéressent sont les transformés des langages  $L(x, y)$  par  $g_k \circ h \circ g^*$  :  $\delta_k(x, y)$ . Leur algorithme de génération est obtenu en transformant (2 bis) par l'application  $g_k \circ h \circ g^*$ .

Soient  $\Delta_k(x, y, i) = \{g_k \circ h \circ g^*(\delta) \mid \delta \in L(x, y, i)\}$  et  $V_0(x, y, i) = \{t \in V_0(x, y) \mid \text{si } t = (x_1, x_2, x_3) \text{ il existe des entiers } \ell \text{ et } p, \dots \text{ tels que : } \Delta_k(x_1, x_2, \ell) \neq \emptyset, \Delta_k(x_3, y, p) \neq \emptyset, \ell + p = i - 1, 0 \leq \ell, p \leq i - 1\}$

Pour tout couple  $(x, y)$  de  $(\ell_1 - \ell'_1) \times \ell'_1$  et tout entier  $i$  supérieur à 0 :

$$(3) \Delta_k(x, y, i) = \bigcup_{(z, x', x'') \in V_0(x, y, i)} \left( \bigcup_{\substack{0 \leq m, n \leq i-1 \\ m+n=i-1}} g_k[h \circ g^* \circ t(x) \Delta_k(z, x', m) \Delta_k(x'', y, n)] \right)$$

Pour tout  $y$  de  $\ell'_1$  :

$$\Delta_k(y, y, 0) = \{g_k \circ h \circ g^* \circ t(y)\}^*$$

On a :  $\delta_k(x, y) = \bigcup_{i \geq 1} \Delta_k(x, y, i)$ , pour tout couple  $(x, y)$  de  $(\ell_1 - \ell'_1) \times \ell'_1$ .

Il nous faut cependant démontrer que l'algorithme s'arrêtera après un nombre fini d'itérations, c'est à dire qu'il existe un entier  $i_0$  pour lequel :

$$\delta_k(x, y) = \bigcup_{i=1}^{i=i_0} \Delta_k(x, y, i).$$

En outre, pour programmer l'algorithme (3), il sera nécessaire de pouvoir déterminer pratiquement l'entier  $i_0$ .

Etude d'un test d'arrêt de l'algorithme (3) :

Pour tout entier  $i$  supérieur ou égal à 1, nous noterons :

$$\delta_k(x, y, i) = \bigcup_{j=1}^{j=i} \Delta_k(x, y, j).$$

On a évidemment l'inclusion : (4)

$$\forall i \geq 1 \quad \delta_k(x, y, i) \subset \delta_k(x, y, i+1).$$

On pourrait penser se contenter de l'inclusion :

$\Delta_k(x, y, i+1) \subset \delta_k(x, y, i)$  comme test d'arrêt, mais on ne peut pas démontrer que ce test est suffisant pour arrêter les itérations, car on ne réalise jamais deux fois le même emboîtement d'une étape  $i$  à une autre. Le test précédent est seulement une condition nécessaire pour que l'étape  $i$  soit la dernière itération.

Propriété 1 : «existence d'un nombre fini d'itérations»

Soit  $(x, y)$  appartenant à  $(\ell_1 - \ell'_1) \times \ell'_1$ , alors :  
il existe un entier  $i_0$ , tel que :  
 $(\forall j \geq i_0) (\delta_k(x, y, j) = \delta_k(x, y, i_0))$

Démonstration : Si la proposition était fautive, on aurait :

$$(\forall i \geq 1) (\exists j \geq i) (\delta_k(x, y, j) \neq \delta_k(x, y, j+1)).$$

l'inclusion (4) impliquerait que l'ensemble  $\delta_k(x, y)$  possède une infinité d'éléments ; ce qui est faux, puisque si  $n$  est le nombre de lettres de l'alphabet terminal  $T$  de la grammaire  $G$ ,  $\delta_k(x, y)$  possède un nombre de mots majoré par  $n^{k+1}$ , c'est à dire le nombre de mots de  $k$  lettres prises parmi  $n$  lettres plus un (pour le mot vide).

Corollaire : Il existe un entier  $j_0$  tel que :

$$(\forall (x, y) \in (\ell_1 - \ell'_1) \times \ell'_1) (\forall i \geq j_0) (\delta_k(x, y, j_0) = \delta_k(x, y, i))$$

Il suffit de prendre le plus grand des entiers  $i_0$ , de la propriété 1, associés à chacun des couples de  $(\ell_1 - \ell'_1) \times \ell'_1$ .

Propriété 2 : Soit  $E(k)$  l'ensemble des entiers pairs,  $2i$ , pour lesquels, on a :

$$(\forall j) (i \leq j \leq 2i-1) (\forall (x, y) \in (\ell_1 - \ell'_1) \times \ell'_1) (\Delta_k(x, y, j) \subset \delta_k(x, y, j-1))$$

Ce qui est équivalent à :

$$(\forall j) (i \leq j \leq 2i-1) (\forall (x, y) \in (\ell_1 - \ell'_1) \times \ell'_1) (\delta_k(x, y, j) = \delta_k(x, y, i-1))$$

i) L'ensemble  $E(k)$  n'est pas l'ensemble vide

ii) Soit  $2i$  un élément de  $E(k)$ , alors :

$$(\forall \ell \geq 2i) (\forall (x, y) \in (\ell_1 - \ell'_1) \times \ell'_1) (\Delta_k(x, y, \ell) \subset \delta_k(x, y, i-1)).$$

Démonstration :

i) D'après le corollaire précédent il est trivial que l'ensemble  $E(k)$  n'est pas l'ensemble vide.

ii) Soit  $2i$  un élément de  $E(k)$  et  $M$  un élément de  $\Delta_k(x, y, \ell)$  avec  $(x, y)$  appartenant à  $(\ell_1 - \ell'_1) \times \ell'_1$ . L'algorithme (3) nous conduit à décomposer  $M$  de la façon suivante :  $M = h \circ g^* \circ t(x) M' M''$ , avec  $M'$  (respectivement  $M''$ ) appartenant à  $\Delta_k(z, x', m)$  (respectivement  $\Delta_k(x'', y, n)$ ) et

$$m+n = \ell - 1, \quad 0 \leq m \leq \ell - 1, \quad 0 \leq n \leq \ell - 1.$$

L'entier  $(i-1)$  étant égal à  $2i-1$ , l'un des deux entiers  $m$  et  $n$  est supérieur ou égal à  $i$ , pendant que l'autre est inférieur ou égal à  $i-1$ .

Soit par exemple :  $n \geq i$  et  $m \leq i-1$ .

D'après la définition de l'ensemble  $E(k)$ , on a :  $\delta_k(x'', y, n) = \delta_k(x'', y, i-1)$ , il existe donc un entier  $n'$ ,  $n' \leq i-1$  tel que  $M''$  appartienne à  $\Delta_k(x'', y, n')$ . Mais  $m+n'=p$ , avec  $m \leq 2i-2$  et  $p+1 \leq 2i-1$ , par conséquent  $M$  appartient à  $\delta_k(x, y, i-1)$ .

On obtient ainsi :  $\delta_k(x, y, 2i) = \delta_k(x, y, i-1)$ , pour tout couple  $(x, y)$  de  $(\mathcal{L}_1 - \mathcal{L}'_1) \times \mathcal{L}'_1$ . Compte-tenu de ce résultat, et par une démonstration similaire à la précédente, on en déduit : (I)  $\delta_k(x, y, 2i+1) = \delta_k(x, y, i-1)$ ; et ainsi l'entier  $2(i+1)$  appartient à  $E(k)$ .

- On a démontré l'implication :  $2i \in E(k) \implies 2(i+1) \in E(k)$ .

On a immédiatement :  $\forall p \geq i, 2p \in E(k)$  (II). Nous pouvons alors démontrer, par récurrence sur la différence  $(p-i)$ ,  $p$  étant un entier strictement supérieur à  $i$ , les égalités suivantes :

$$(\forall p > i)(\forall \ell)(2i-1 < \ell \leq 2p-1)(\forall (x, y) \in (\mathcal{L}_1 - \mathcal{L}'_1) \times \mathcal{L}'_1) (\delta_k(x, y, \ell) = \delta_k(x, y, i-1)).$$

- Si  $p = i+1$ , le résultat se déduit de l'égalité (I).

- Supposons la propriété vraie pour les entiers  $p$  tels que  $p-i \leq k$  et soit  $p = i+k+1$ . ( $k > 1$ )

D'après la relation (II) :

$$(\forall \ell)(p \leq \ell \leq 2p-1)(\forall (x, y) \in (\mathcal{L}_1 - \mathcal{L}'_1) \times \mathcal{L}'_1) (\delta_k(x, y, \ell) = \delta_k(x, y, p-1)).$$

Mais,  $(p-1)-i = k$  et  $(p-1)$  vérifie l'hypothèse de récurrence, d'où :

$$\delta_k(x, y, p-1) = \delta_k(x, y, i-1).$$

La proposition 2 nous donne le moyen de décider du choix de la dernière itération :

« Pour un entier  $k$  donné, la dernière itération sera celle correspondant

à l'entier  $2i(k)-1$ , tel que  $2i(k)$  soit égal au plus petit élément de  $E(k)$  ».

$$\delta_k(x, y) = \bigcup_{i=1}^{i=i(k)-1} \Delta_k(x, y, i) = \delta_k(x, y, i(k)-1).$$

Il est à remarquer que les tests :

(III)  $\Delta_k(x, y, j) \subset \delta_k(x, y, j-1)$  seront coûteux lors de la programmation de l'algorithme (3), c'est pourquoi nous allons étudier quelques propriétés qui nous permettront de réduire le nombre de ces tests.

Soit  $V_0^i(k)$  l'ensemble défini par :

$$V_0^i(k) = \{(x, y) \in (\mathcal{L}_1 - \mathcal{L}'_1) \times \mathcal{L}'_1 \mid (\exists j \leq i)(V_0(x, y, j) \neq \emptyset)\}$$

On a évidemment :  $\forall i \geq 1, V_0^i \subset V_0^{i+1}$  (IV).

**Propriété 3 :** Il existe un entier  $j_0$  tel que :  
 $(\forall i \geq j_0)(V_0^i(k) \subset V_0^{j_0}(k))$

**Démonstration :** Si la propriété n'était pas vérifiée, on aurait :

$(\forall j)(\exists i \geq j)(V_0^i(k) \not\subset V_0^j(k))$ , compte-tenu de (IV), cela est équivalent à :

$$(\forall j)(\exists i \geq j)(V_0^i(k) \neq V_0^j(k));$$

ce qui impliquerait que  $(\mathcal{L}_1 - \mathcal{L}'_1) \times \mathcal{L}'_1$  possède une infinité d'éléments.

**Propriété 4 :** Soit  $j(k)$  le plus petit des entiers  $j_0$  vérifiant la propriété 3, alors :  $i(k) > j(k)$ .

**Démonstration :** Soit un entier  $i$  strictement supérieur à  $i(k)$ .

- Pour tout couple  $(x, y)$  de  $V_0^i(k)$ , on a : si  $j$  est le plus petit des entiers  $\ell$  tels que  $\ell \leq i$  et  $V_0(x, y, \ell) \neq \emptyset$  deux possibilités se présentent :

i)  $j < i(k)$ , et ainsi :  $(x, y) \in V_0^{i(k)-1}$

ii)  $i(k) \leq j \leq i$ ; d'après la définition de  $i(k)$ , on en déduit que  $\delta_k(x, y, i(k)-1) \neq \emptyset$  et qu'il existe un entier  $\ell \leq i(k)-1$  tel que :  $V_0(x, y, \ell) \neq \emptyset$ , ou ce qui est équivalent :  $(x, y) \in V_0^{i(k)-1}$ . Il en résulte :  $\forall i \geq i(k)-1, V_0^i(k) \subset V_0^{i(k)-1}(k)$ , et d'après la définition de  $j(k)$  cela implique :  $i(k)-1 \geq j(k)$ .

L'entier  $j(k)$  peut être caractérisé par une propriété intuitive :

$$(\forall (x, y) \in (\mathcal{L}_1 - \mathcal{L}'_1) \times \mathcal{L}'_1) ((x, y) \notin V_0^{j(k)}(k) \implies \delta_k(x, y) = \emptyset).$$

Nous pourrions déterminer précisément cet entier dans le paragraphe suivant, lorsque nous introduirons la notion de « couple créé ».

Les tests du type (III) ne seront exécutés que pour les entiers  $j$  strictement supérieurs à  $j(k)$ .

La propriété qui suit nous sera utile lors de l'étude contextuelle.

**Propriété 5 :** Pour tout entier  $j$  tel que :  $1 < i < k$ , on a :  
 i)  $\delta_{k-j}(x, y) = \mathcal{B}_{k-j}[\delta_k(x, y)]$ , pour tout couple  $(x, y)$  de  $(\mathcal{L}_1 - \mathcal{L}'_1) \times \mathcal{L}'_1$ .  
 ii)  $i(k) \geq i(k-j)$

**Démonstration :**

i) Par définition,  $\delta_{k-j}(x, y) = \mathcal{B}_{k-j}[\Delta_k(x, y, i)]$  et par conséquent :

$$\mathcal{B}_{k-j}[\Delta_k(x, y, i)] = \mathcal{B}_{k-j}[\bigcup_{i=1}^i \Delta_k(x, y, i)] = \delta_{k-j}(x, y).$$

$$ii) \delta_{k-j}(x, y) = \bigcup_{i=1}^{i=i(k-j)-1} \Delta_{k-j}(x, y, i) = g_{k-j}[\delta_k(x, y)] = \bigcup_{\ell=1}^{\ell=i(k)-1} \Delta_{k-j}(x, y, \ell).$$

. Pour tout entier  $i$  strictement supérieur à  $i(k)-1$ , on en déduit :  
 $\Delta_{k-j}(x, y, i) \subset \Delta_{k-j}(x, y, i(k-j)-1)$ , ce qui implique  $i > i(k-j)$ , et ainsi  $i(k) \geq i(k-j)$ .

#### 5.4 - PROGRAMMATION DE L'ALGORITHME (3)

Ce paragraphe a pour sujet la définition d'une procédure, TRIPLE(K), possédant un paramètre entier K, qui pour chaque entier K doit déterminer l'ensemble des triplets intermédiaires d'ordre K, soit  $\mathcal{E}_K$ .

Définition 1 : <<couples créés>>  
 On dira qu'un couple  $(x, y)$  de  $\mathcal{U}_1 \times \mathcal{U}'_1$  a été créé à l'étape  $i$ , si  $i$  est le plus petit entier pour lequel l'ensemble  $\Delta_k(x, y, i)$  est différent de l'ensemble vide.

Les couples créés sont rangés dans un tableau unidimensionnel, LIS, qui sera notre support d'information principal et qui sera organisé en structure de liste.

On lui adjoint cependant un tableau d'identificateur, LONG, qui permet de connaître, pour toute information rangée dans LIS, l'étape au cours de laquelle celle-ci a été enregistrée. Ceci est rendu possible par le fait que les informations enregistrées sont créées séquentiellement.

Si une adresse, AD, vérifie l'inéquation :  $LONG[p-1] < AD \leq LONG[p]$  cela signifie que l'information a été rangée en AD, à l'étape P.

Définition 2 : <<couples productifs>>  
 Un couple créé à l'étape  $i$ ,  $(x_1, x_2)$ , de  $\mathcal{U}_1 \times \mathcal{U}'_1$  est dit productif s'il existe un point  $x$  de  $(\mathcal{U}_1 - \mathcal{U}'_1)$ , qui vérifie :

$$\Delta_{i-1} x_1 \quad \text{et} \quad \overline{i(x)} = i(x_2).$$

Ces couples sont intéressants, car c'est parmi eux que nous rechercherons les premières et secondes composantes des triplets appartenant aux ensembles  $V_0(x, y, j)$  ( $j > i$ ), et c'est à partir d'eux seuls que l'on réalisera les emboîtements qui apparaissent dans l'algorithme (3).

Définition 3 : Un élément,  $x_2$ , de  $\mathcal{U}'_1$  est dit productif s'il existe un couple,  $(x_1, x_2)$ , productif.

#### 5.4.1 - Organisation du tableau, LIS, en structure de liste

Chaque liste que nous créons est définie par un ensemble d'enregistrements ; un enregistrement est formé par un ensemble de mots contigus. Chaque mot est un élément du tableau, LIS, contenant un entier qui peut représenter un élément de  $\mathcal{U}_1$  ou de  $\mathcal{U}'_1$ , un pointeur indiquant l'adresse du premier mot de l'enregistrement suivant celui auquel il appartient ; ou encore un pointeur repérant le premier mot du premier enregistrement d'une sous-liste associée à l'enregistrement auquel il appartient.

- Une liste dont les enregistrements sont de longueur fixe sera définie par un triplet : (AD, N1, N2).

- AD, est l'adresse dans le tableau, LIS, du premier mot du premier enregistrement
- N1, est la longueur d'un enregistrement (nombre de mots)
- N2, est le rang dans un enregistrement du mot contenant le pointeur liant les enregistrements entre eux ; le contenu du mot de rang, N2, sera nul pour le dernier enregistrement de la liste.

Le tableau, LIS, est utilisé comme mémoire de travail à partir d'une adresse, évidemment variable, et dont l'identificateur est LIBRE.

L'identificateur, FREE, indique l'adresse à partir de laquelle on pourra, ultérieurement, ranger des informations concernant les couples créés. On doit nécessairement avoir l'inégalité, FREE < LIBRE ; cependant on ne teste jamais celle-ci pour ne pas alourdir la programmation.

- Le tableau, LIS, comporte deux listes principales, (I) et (II), permettant la recherche des couples créés, ainsi que toutes les informations les concernant ; soit par leurs premières composantes, pour la liste (II), soit par leurs secondes composantes, pour la liste (I).

Liste (I) : Elle est définie par le triplet (PI, 3, 2).

- Le premier mot d'un enregistrement contient la seconde composante,  $y$ , d'un couple créé.
- Le troisième mot contient un pointeur repérant une sous-liste de type (II), associée à  $y$ .

Lorsque  $v$  est productif, le contenu du premier mot est affecté d'un signe moins.

Liste (II) : Elle est définie par le triplet (PF, 3, 2).

- Le premier mot d'un enregistrement contient la première composante,  $x$ , d'un couple créé.
- Le troisième mot contient un pointeur repérant une sous-liste de type

Listes de type (III) : A chaque enregistrement de la liste (I), dont l'adresse du premier mot est ADR, est associée une sous-liste définie par :  $(LIS[ADR+2], 3, 3)$ , qui représente l'ensemble des points  $x$  de  $\mathcal{L}_1$ , tels que les couples  $(x, y)$ ,  $y$  étant le contenu du mot d'adresse ADR, soient des couples créés.

- Le premier mot d'un enregistrement contient une des premières composantes  $x$ ; lorsque  $x$  appartient à un couple productif, le contenu du premier mot est affecté d'un signe moins, en outre contiguement à l'enregistrement on place les points  $z$ , de  $\mathcal{L}_1 - \mathcal{L}_1'$ , qui vérifient :

$$t(z) = t(y) \quad \text{et} \quad z \in \Gamma_1^{-1}(x)$$

- Le second mot contient un pointeur  $P_1$ , repérant la sous-liste de type (IV), qui définit les ensembles  $\delta_k(x, y, i)$ .

Listes de type (IV) : A chaque enregistrement de la liste (II), dont l'adresse du premier mot est RDA, est associée une sous-liste définie par :  $(LIS[RDA+2], 3, 2)$  qui représente l'ensemble des points  $y$ , de  $\mathcal{L}_1'$ , tels que les couples  $(x, y)$ ,  $x$  étant le contenu du mot d'adresse RDA, soient des couples créés.

- Le premier mot d'un enregistrement contient une des secondes composantes  $y$ .

- Le troisième mot contient un pointeur,  $P_2$ , repérant la sous-liste de type (V), qui définit les ensembles  $\delta_k(x, y, i)$ .

Pour un même couple,  $(x, y)$ , les pointeurs  $P_1$  et  $P_2$  sont identiques; on les identifiera à  $P(x, y)$ .

Listes de type (V) : A chaque couple créé,  $(x, y)$ , est associé une liste de type (V), définie par le triplet  $(P(x, y), 2, 2)$ . Le premier mot de chaque enregistrement contient l'adresse de rangement dans LIS, d'un mot de  $T^*$  appartenant à un ensemble  $\delta_k(x, y, i)$ .

Un mot de  $T^*$ ,  $\delta$ , est rangé dans LIS sous la forme d'un enregistrement de longueur variable.

Le premier mot de cet enregistrement contient la longueur du mot  $\delta$ . Les mots suivants représentent la codification entière des lettres de  $\delta$ , et dans l'ordre de leurs occurrences dans  $\delta$ .

La création de la liste (V) permet d'éviter celle de deux enregistrements définissant un même mot de  $T^*$ . Pour ce faire on utilise une liste auxiliaire, la liste VI, qui apparaît comme la liste des adresses de rangement dans LIS, de tous les mots de  $T^*$ , pour lesquels on a créé un enregistrement.

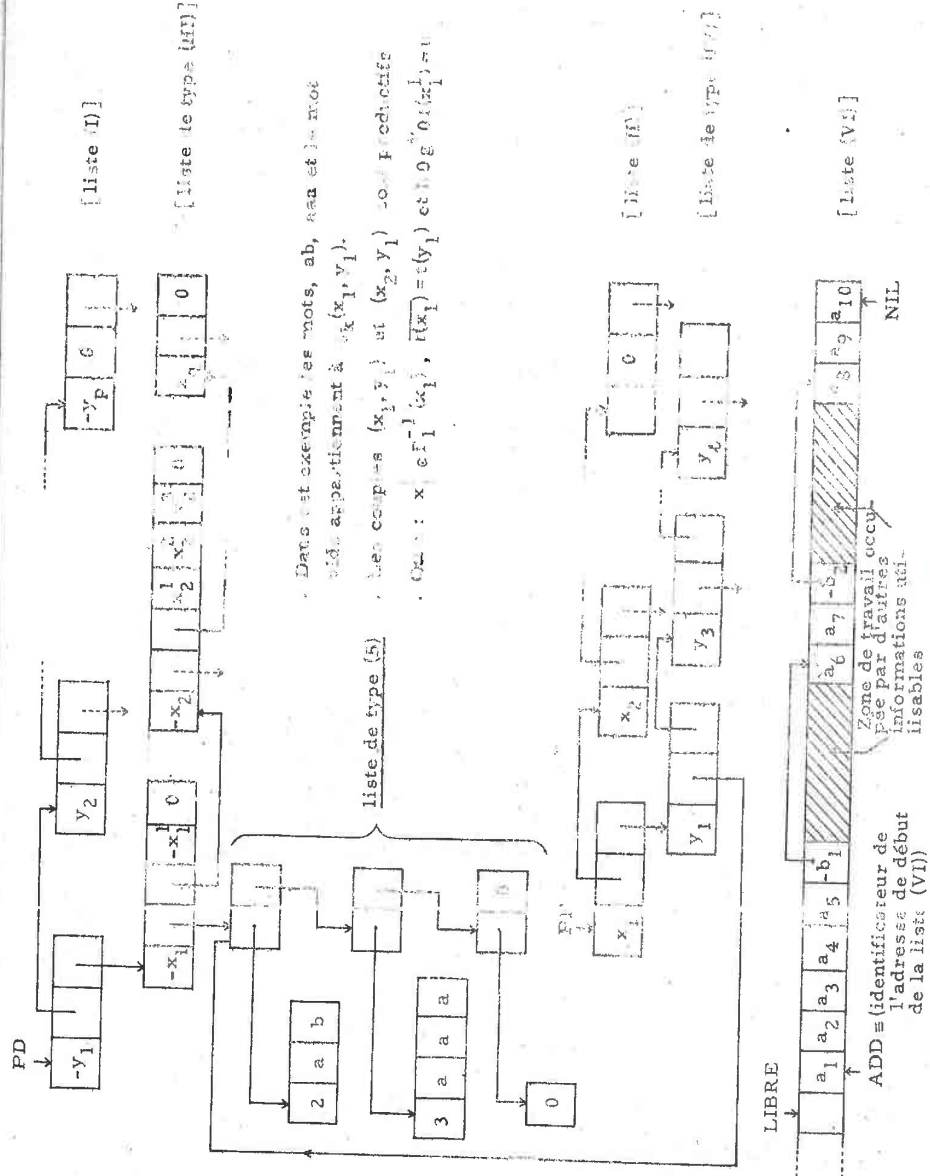
En outre, on s'astreint à ne pas créer deux enregistrements d'un même mot de type (V) qui aient référence à un même mot de  $T^*$ , ou même à un même couple  $(x, y)$ .

Liste (VI) : Cette liste est définie dans la norme de travail du tableau LIS; c'est une liste à enregistrements de longueur variable. Le dernier mot de chaque enregistrement contient l'adresse de l'enregistrement suivant, affectée d'un signe moins.

Tout autre mot nous donne l'adresse d'un mot de  $T^*$  qui a été enregistré dans LIS.

Chaque fois que cela est possible, les enregistrements de cette liste sont « tassés » à la fin du tableau LIS afin de permettre une utilisation de la zone de travail qui soit économique en place. Il en résulte en particulier que cette liste ne pourra jamais avoir plus de trois enregistrements.

Cette liste permet, en outre, un passage aisé des listes (II) à (V) soumises à la procédure TRIPLE à celles utilisées lors de l'étude contextuelle, de l'un des paragraphes 5.5.4.



Dans cet exemple, les mots, ab, aab et le mot vide appartiennent à  $\mathcal{L}_k(x_1, y_1)$ .

Les couples  $(x_1, y_1)$  et  $(x_2, y_1)$  sont productifs

car :  $x_1 \in L^+(x_1), r(x_1) = t(y_1)$  et  $0 \in L^+(x_1), r(x_1) = 0$

[Liste (I)]

[Liste de type (IV)]

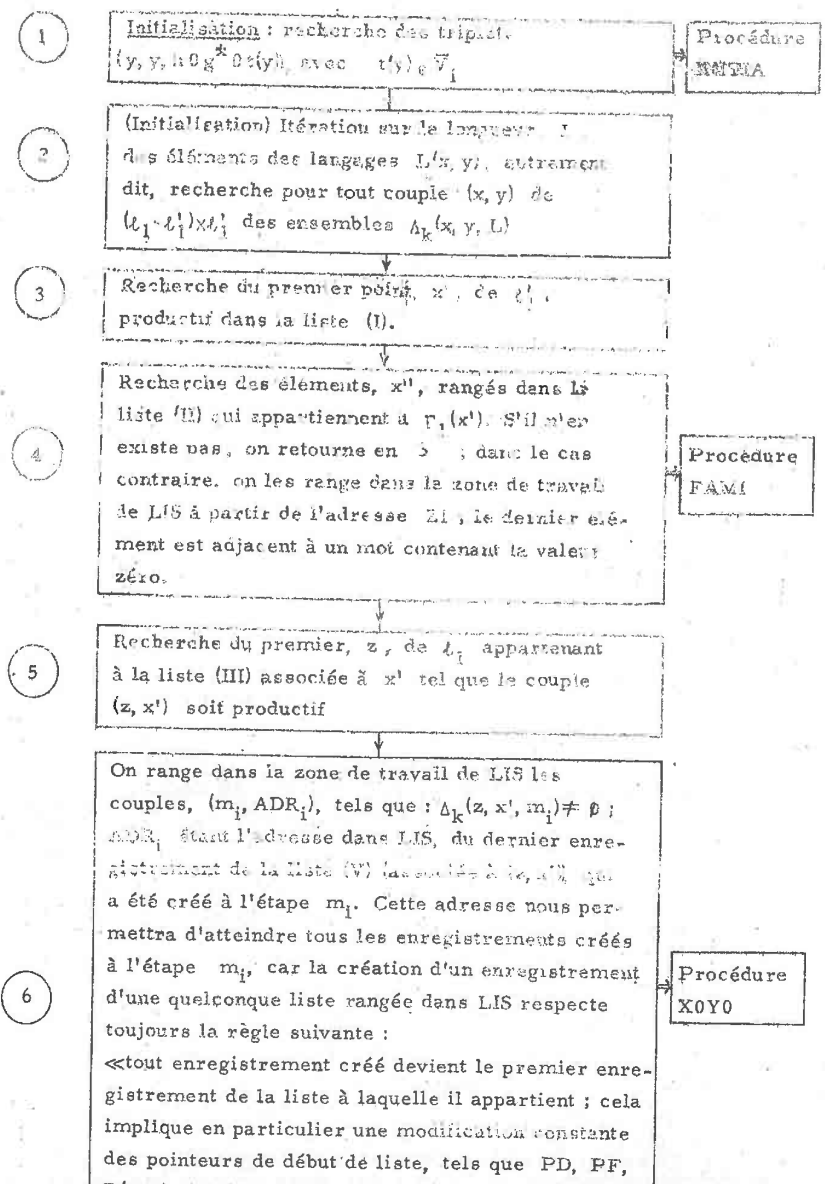
[Liste (II)]

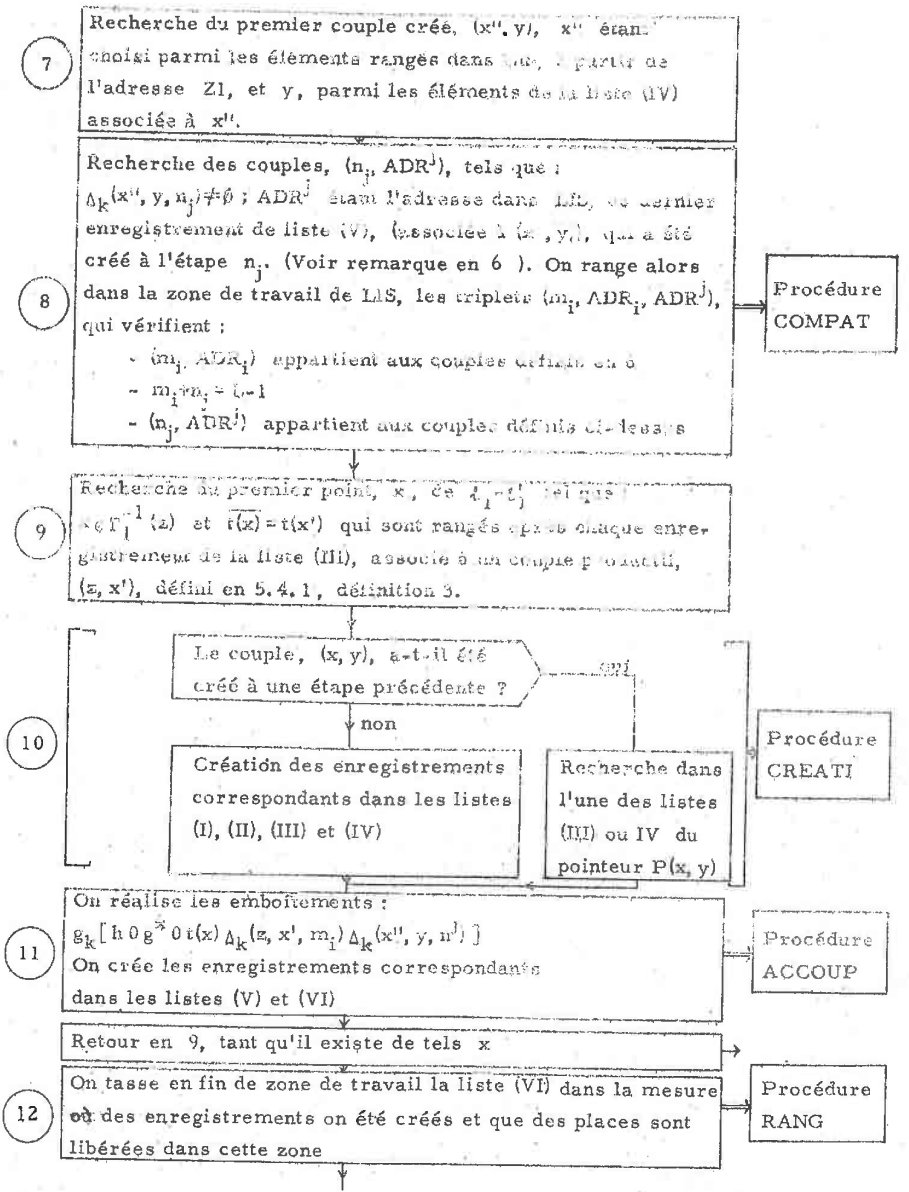
[Liste de type (V)]

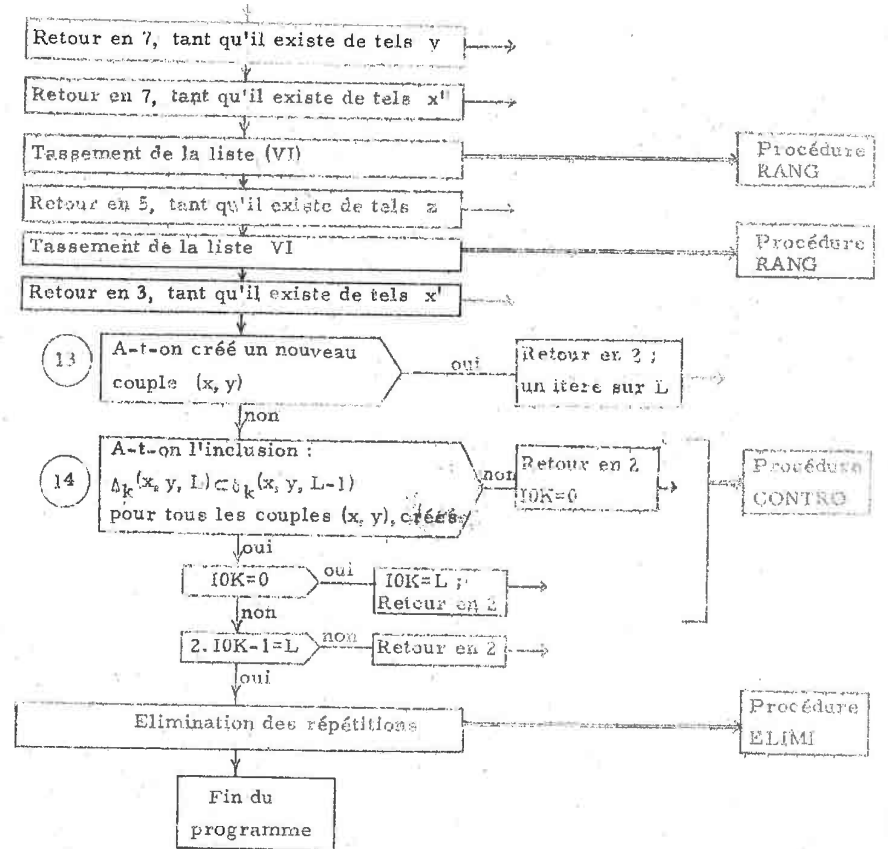
[Liste (VI)]



5.4.2 - Analyse de la procédure triple







Remarque : L'entier, IOK, représente le numéro de l'étape à partir de laquelle le test effectué en 14 est positif.

Lorsque l'on a l'égalité,  $2.IOK-1=L$ , à l'étape L, cela signifie que :  $IOK=i(k)$  (voir paragraphe 5.3).

Lorsque le test effectué en 13 est positif, cela implique l'inégalité :  $L \leq j(k)$  (voir paragraphe 5.3).

5.5 - ETUDE CONTEXTUELLE

Jusqu'à présent notre seul moyen d'éviter des recherches superflues dans le graphe  $gl_1$ , était de détecter ce que l'on avait appelé "les fausses pistes" (paragraphe 5.2). Dans le cadre d'une analyse du mot  $\alpha$  et en une étape donnée d'un programme d'analyse, d'état analytique  $(\alpha, u, \beta)$ , un point  $x$  de  $gl_1$  est une fausse piste si on ne peut pas élaborer d'analyse de  $\alpha$ , à partir de  $x$ , compte-tenu des mots  $u$  et  $\beta$ . D'après le corollaire de la proposition 2, (paragraphe 5.3.1), il est équivalent d'affirmer que  $u$  n'appartient pas à  $L(x, \beta)$ .

Mais  $L(x, \beta)$  est un langage régulier, on pourrait donc envisager de définir un algorithme de génération de ces langages. Déterminer une fausse piste, nous conduirait ainsi à générer pour tout point  $x$  de  $gl_1$  et tout facteur droit,  $\beta$ , de  $\alpha$  les langages  $L(x, \beta)$ ; ce qui en fait nous amène à réaliser des mini-analyses. Cependant, une étude moins exigeante est celle des facteurs droits, de longueur bornée, des mots de  $L(x, \beta)$ .

Pour que cette étude contextuelle soit efficace, il ne faut pas qu'elle se fasse dans le cadre de l'analyse d'un mot donné : cette étude doit être valable pour toute analyse de mots du langage engendré par une grammaire donnée. Les seules données d'une grammaire  $G$  et d'une structure compatible nous donneront une étude contextuelle qui précédera toute analyse.

5.5.1 - Définition des contextes d'ordre donné d'un point du graphe  $gl_1$

Définition 4 : Un couple,  $(v, \gamma)$ , appartenant à  $V_1^* \times T^*$  sera dit un contexte d'ordre  $(q, k)$ , d'un point  $x$  du graphe  $gl_1$ , si :  $|v|=q$ ,  $|\gamma|=k$  ; il existe un mot  $u$ , de  $\# V_1^*$  tel que le triplet  $(x, u, \gamma)$  soit acceptable et que l'on ait :  $g_q(\tilde{u}) = v$ .

On appellera :  $\mathcal{C}(q, k, x)$  l'ensemble des contextes d'ordre  $(q, k)$ , d'un point de  $gl_1$ .

La proposition 2 du paragraphe 5.3.1 nous permet de donner une définition équivalente à la précédente, qui présente l'avantage d'indiquer les grandes lignes d'une recherche pratique des contextes.

**Définition 5 :** Un couple  $(v, \gamma)$ , appartenant à  $V_1^* \times T^*$ , sera dit un contexte d'ordre  $(q, k)$  d'un point  $x$  de  $g\mathcal{L}_1$ , si :  $|v|=q$ ,  $|\gamma|=k$  ; et il existe un mot  $m$  de  $\mathcal{L}_k$  tel que :

$$p_1 \circ g_1(m) = x ; g_q[p_2^*(m)] = v ; g_k[p_3^*(m)] = \gamma.$$

Comme pour "les triplets acceptables" la recherche des contextes d'ordre  $(q, k)$  dépend essentiellement de la génération des mots du langage  $\mathcal{L}_k$ . Avant d'étudier plus précisément les ensembles  $\mathcal{C}(q, k, x)$  ne retenant que la possibilité de leur recherche par un algorithme, nous nous intéressons à leur rôle dans la détection de certaines "fausses pistes".

5.5.2 - Recherche des "fausses pistes"

**Définition 6 :** Un point  $x$  de  $\mathcal{L}_1$  est une fausse piste pour le couple  $(u, \gamma)$ , appartenant à  $\# V^* \times T^*$ , si le triplet  $(x, u, \gamma)$  n'est pas acceptable ou ce qui est équivalent,  $u$  n'appartient pas à  $L(x, \gamma)$ .

Soit  $x$  appartenant à  $\mathcal{L}_1$  et  $(x, v, \gamma)$  un état analytique avec :  $|v|=q'$  et  $|\gamma|=k'$ .

En raison des définitions 4 et 6 une condition nécessaire et suffisante pour que  $x$  soit une fausse piste pour le couple  $(x, \gamma)$  est :

$\ll (v, \gamma)$  n'est pas un contexte d'ordre  $(q', k') \gg$ .

Comme nous l'avons dit dans l'introduction, cette condition ne présente pas d'intérêt : son utilisation nécessiterait la recherche de contextes d'ordre variable pour chacun des points de  $\mathcal{L}_1$ . Nous pouvons cependant en déduire une condition moins exigeante :

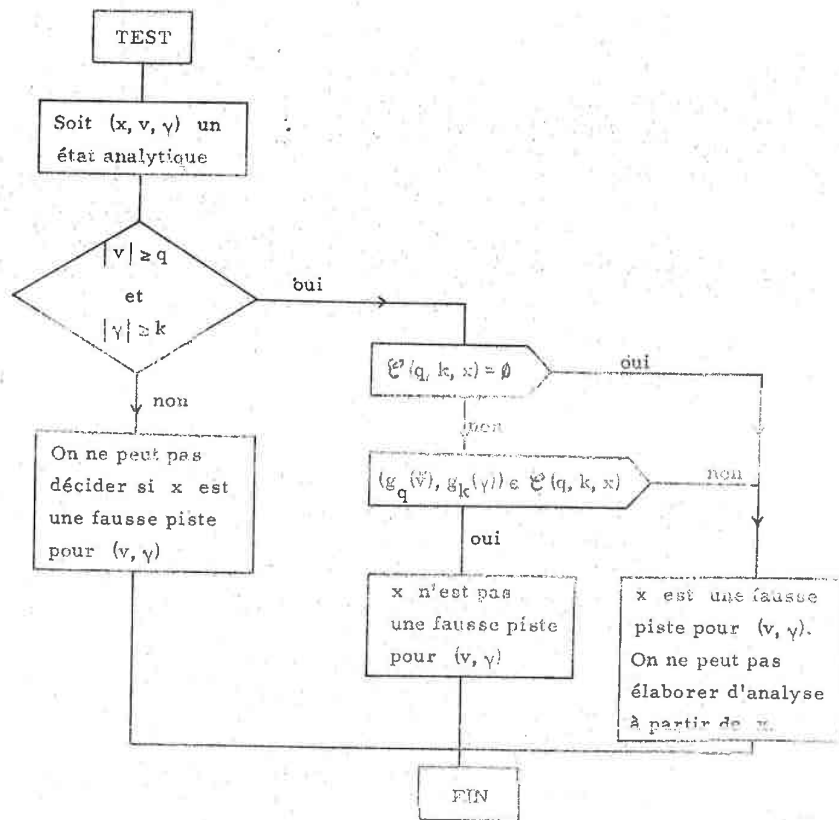
Si nous supposons,  $q' \geq q$  et  $k' \geq k(1)$ , une condition suffisante pour que  $x$  soit une fausse piste pour le couple  $(v, \gamma)$  est que le couple  $(g_q(v), g_k(\gamma))$  ne soit pas un contexte d'ordre  $(q, k)$ . En effet :

• Si  $(x, v, \gamma)$  est acceptable, a fortiori  $(x, v, g_k(\gamma))$  l'est et par suite  $(g_q(v), g_k(\gamma))$  est un contexte d'ordre  $(q, k)$ .

• Si l'une des inégalités (1) n'est pas satisfaite, on ne pourra pas décider si  $x$  est fausse piste en ne connaissant que les contextes d'ordre  $(q, k)$  ; à l'exception du cas suivant : si,  $q' \geq q$  et  $k' < k$ , et si il existe un mot  $\delta$  de  $T_k$  pour lequel on a,

$g_{k'}(\delta) = \gamma$  et  $(g_q(v), \delta) \in \mathcal{C}(q, k, x)$ , alors  $x$  n'est pas une fausse piste pour  $(v, \gamma)$  puisque le triplet  $(x, v, \delta)$  étant acceptable, le triplet  $(x, v, \gamma)$  l'est a fortiori.

A partir de ces remarques, on peut définir une procédure qui dans un cas précis nous déterminera les fausses pistes ; cette procédure est celle que l'on avait dénommée, TEST, dans l'analyse par empilement et retour-arrière.



5.5.3 - Etude des ensembles  $\mathcal{E}(q, k, x)$

Proposition 3 : Soit  $\mathcal{E}(q, k, x)$ ,  $x$  étant un point du graphe  $g_{\mathcal{L}_1}$ , alors :

$$\mathcal{E}(q, k, x) = \bigcup_{f \in \mathcal{F}} g_q[p_2^*(f)] \times g_k[p_3^*(f)] \quad (I),$$

où  $\mathcal{F}$  est l'ensemble des plus petits facteurs gauches de mots de  $\mathcal{L}_k$  qui vérifient :

$$p_1 \circ g_1(f) = x ; |f| \geq q ; |p_3^*(f)| \geq k.$$

Démonstration : Soit  $(v, \gamma)$  un contexte d'ordre  $(q, k)$  de  $x$ .

Par définition il existe un mot  $m$  de  $\mathcal{L}_k$  tel que :

$g_x \circ p_2^*(m) = v$  et  $g_k \circ p_3^*(m) = \gamma$  ; soit  $f$ , le plus petit facteur gauche de  $m$  de longueur supérieure ou égale à  $q$  qui vérifie :  $|p_3^*(f)| \geq k$  ; on a :

$$(v, \gamma) = (g_q[p_2^*(f)], g_k[p_3^*(f)]).$$

La réciproque est toute aussi évidente. Si  $(v, \gamma)$  appartient au second membre de l'égalité (I), il existe un mot  $m$  de  $\mathcal{L}_k$  pour lequel on a :  $m = f m'$ ,  $v = g_q[p_2^*(f)]$ , et  $\gamma = g_k[p_3^*(m')]$ .

Par conséquent :  $g_q[p_2^*(m)] = g_q[v g_q[p_2^*(m')]] = v$ , ( $|v| = q$ ),

et,  $g_k[p_3^*(m)] = g_k[\gamma g_k[p_3^*(m')]] = \gamma$ , ( $|\gamma| = k$ ).

La formule (I) nous fournit un algorithme relativement simple pour déterminer les ensembles  $\mathcal{E}(q, k, x)$  ; en particulier la conduite de cet algorithme est analogue à celle de l'analyse par empilement et retour arrière, c'est à dire une recherche séquentielle de chemins, dans un graphe donné, qui doivent vérifier un certain nombre de conditions. Une première difficulté surgit avec la nature du graphe donné qui, en l'occurrence, est celui des transitions du langage  $\mathcal{L}_k$ . Ce graphe,  $\mathcal{G}$ , est défini par la donnée des listes où sont rangés les triplets intermédiaires (ensemble  $\mathcal{E}_k$ ), et celle du graphe  $g_{\mathcal{L}_1}$  ; une recherche dans ce graphe est donc mal aisée.

En outre, un tel algorithme conduit à de nombreuses répétitions et ne permet pas l'utilisation des contextes déjà calculés. C'est pourquoi nous ne l'emploierons que pour certains des points du graphe  $g_{\mathcal{L}_1}$  (Algorithme 3, 5.5.5.3).

Proposition 4 :

$$\mathcal{E}(q, k, x) = \left\{ \bigcup_{(v, \gamma) \in C_4(x)} (v, \gamma) \right\} \cup \left\{ \bigcup_{(y, \delta) \in C_2(x)} \bigcup_{(v, \gamma) \in C_3(y, \delta)} (v, \gamma) \right\} \cup \left\{ \bigcup_{(y, \delta) \in C_0(x)} \bigcup_{(v, \gamma) \in C_1(y, \delta)} (v, \gamma) \right\}$$

avec :

$$C_0(x) = \{(y, \delta) \in \mathcal{L}_1^* \times T^* \mid h_0 g^* \circ t(y) = \Lambda ; (x, y, \delta) \in \mathcal{E}_k ; |\delta| < k\}$$

$$C_2(x) = \{(y, \delta) \in \mathcal{L}_1^* \times T^* \mid h_0 g^* \circ t(y) \neq \Lambda ; (x, y, \delta) \in \mathcal{E}_k ; |\delta| < k\}$$

$$C_1(y, \delta) = \{(v, \gamma) \in V_1^* \times T^* \mid |\gamma| = k - |\delta| ; (v, \gamma) \in \mathcal{E}(q, k - |\delta|, y)\}$$

$$C_3(y, \delta) = \{(v, \gamma) \in V_1^* \times T^* \mid |\gamma| = k - |\delta| ; (v, a\gamma) \in \mathcal{E}(q, k - |\delta| + 1, y) ; a = h_0 g^* \circ t(y)\}$$

$$C_4(x) = \{(v, \gamma) \in V_1^* \times T^* \mid |\delta| = k ; \text{il existe un chemin } m \text{ de } \mathcal{L}_k \text{ d'origine } (x, y, \gamma), \text{ de longueur supérieure ou égale à } q, \text{ pour lequel : } g_q[p_2^*(m)] = v\}.$$

Démonstration : Soit  $(v, \beta)$  appartenant à  $\mathcal{E}(q, k, x)$  et  $m$  un mot de  $\mathcal{L}_k$  tel que :

$$m = \prod_{i=1}^p m_i = \prod_{i=1}^p (x_i, y_i, \delta_i) ; x_1 = x ;$$

$$g_k \left[ \prod_{i=1}^p \delta_i \right] = \delta_1 \gamma = \beta ; g_q[p_2^*(m)] = v.$$

1) Si,  $|\delta_1| = k$ , il est équivalent d'affirmer que  $(v, \gamma)$  appartient à  $C_4(x)$ .

2) Soit,  $|\delta_1| < k$  : posons  $\mathcal{L} = 1$ , si  $h_0 g^* \circ t(y) \neq \Lambda$ , et  $\mathcal{L} = 0$  dans le cas contraire.

En vertu de la propriété 5 du paragraphe 5.4, le mot  $m'$  de  $(\mathcal{L}_1 \times \mathcal{L}_1^* \times T^*)^*$  défini par

$$m' = (y, y, h_0 g^* \circ t(y)) \prod_{i=2}^p m'_i, \text{ avec } m'_i = (x_i, y_i, \delta_i^i) \text{ et } \delta_i^i = g_{k-|\delta_1|+\mathcal{L}}(\delta_i^i), \text{ pour}$$

$i = 2, 3, \dots, p$ , appartient au langage  $\mathcal{L}_{k-|\delta_1|+\mathcal{L}}$ , et l'on a :

$$p_2^*(m') = p_2^*(m) ; p_3^*(m') = h_0 g^* \circ t(y) \prod_{i=2}^p \delta_i^i.$$

En outre, on peut écrire :  $g_{k-|\delta_1|+\mathcal{L}}[p_2^*(m')] = g_{\mathcal{L}}[h_0 g^* \circ t(y)] g_{k-|\delta_1|} \left[ \prod_{i=2}^p \delta_i^i \right],$

$$\text{et } g_{k-|\delta_1|} \left[ \prod_{i=2}^p \delta_i^i \right] = g_{k-|\delta_1|} \left[ \prod_{i=2}^p g_{k-|\delta_1|+\mathcal{L}}(\delta_i^i) \right] = g_{k-|\delta_1|+\mathcal{L}} \left[ \prod_{i=2}^p g_{k-|\delta_1|}(\delta_i^i) \right] =$$

Il est donc équivalent d'affirmer :

$$|y| = k - |\delta_1|, \text{ et } (v, a, \gamma) \in \mathcal{E}(q, k - |\delta_1| + \ell, x), \text{ avec } q = h \circ g^* \circ t(y).$$

**Proposition 5 :** Soit  $q$  un entier différent de un,  $y$  un élément de  $\mathcal{L}'_1$ , et  $\ell$  un entier égal à 0 si  $h \circ g^* \circ t(y)$  est le mot vide, et à 1 dans le cas contraire : alors :

$$\mathcal{E}(q, k, y) = \bigcup_{x \in \Gamma_1(y)} \bigcup_{(v, \gamma) \in \mathcal{E}(q-1, k-\ell, x)} (p_2(t)v, q\gamma),$$

avec  $t = (y, y, q)$  et  $a = h \circ g^* \circ t(y)$ .

**Démonstration :** Soit  $(u, \delta)$ , appartenant à  $\mathcal{E}(q, k, y)$ , et  $m$  le mot de  $\mathcal{L}'_k$  intervenant dans la définition 5 :

$$a = h \circ g^* \circ t(y) ; m = \prod_{i=1}^p (x_i, y_i, \delta_i) = (y, y, a) \prod_{i=2}^p (x_i, y_i, \delta_i), \text{ avec } g_k \circ p_3^*(m) \delta_i = a \gamma$$

et  $g_q \circ p_2^*(m) = p_2(t)v = u$ .

Le mot  $m'$  égal à  $\prod_{i=2}^p (x_i, y_i, \delta'_i)$ , avec  $\delta'_i = g_{k-\ell}(\delta_i)$  pour  $i=2, \dots, p$ , appartient à  $\mathcal{L}'_{k-\ell}$  et possède les propriétés suivantes :  $g_{k-\ell} \circ p_3^*(m') = \gamma$  et  $g_{q-1} \circ p_2^*(m') = v$ .

Il est donc équivalent de dire que  $(u, \delta)$  appartient à  $\mathcal{E}(q, k, y)$ , et qu'il existe  $x_2$  appartenant à  $\Gamma_1(y)$  tel que :

$$u = p_2(t)v, \quad \delta = a\gamma \quad \text{et} \quad (v, \gamma) \in \mathcal{E}(q-1, k-\ell, x_2).$$

**Remarques :**

Les propriétés précédentes mettent en évidence des relations entre les contextes d'ordre  $(q, k)$  des éléments de  $(\mathcal{L}'_1 - \mathcal{L}'_1)$  et ceux, d'un certain ordre, des éléments de  $\mathcal{L}'_1$  ; et en particulier la possibilité de construire les premiers à partir des seconds. Cependant cette solution ne sera intéressante que dans la mesure où l'on peut facilement obtenir les ensembles  $\mathcal{E}(q-i, k-j, x)$  ( $1 \leq i, j < q, k$ ), à partir des ensembles  $\mathcal{E}(q, k, x)$  et réciproquement.

Or, s'il est trivial que l'on ait l'implication :

$$(v, \gamma) \in \mathcal{E}(q, k, x) \implies (g_{q-1}(v), g_{k-j}(\gamma)) \in \mathcal{E}(q-i, k-j, x),$$

il semble moins évident d'obtenir des contextes d'ordre  $(q, k)$  à partir de contextes d'ordre inférieur.

De ce fait, on ne peut espérer obtenir un algorithme de construction directe des contextes des points de  $gl_1$ , qui lors de sa recherche, utilise des contextes déjà déterminés. C'est pourquoi nous nous intéresserons essentiellement à un algorithme de génération des contextes qui évitera (lorsque cela sera possible), non pas les répétitions contextuelles mais celles des facteurs gauches de mots de  $\mathcal{L}'_k$ , que l'on engendre simultanément.

#### 5.5.4 - Etude de la liste de rangement des ensembles $\mathcal{E}'_k$

La procédure, TRIPLE, nous fournira l'ensemble  $\mathcal{E}'_k$  sous la forme de la liste (VII) définie par le triplet, (TR, 4, 2), et dont les enregistrements sont constitués comme suit :

- le premier mot d'un enregistrement nous donne les premières composantes,  $x$ , des couples créés.
- le troisième mot est le pointeur de la sous-liste de type (VIII) associée à une première composante,  $x$ , et qui définit les points,  $y$ , de  $\mathcal{L}'_1$  tels que :  $\delta_k(x, y) \neq \emptyset$ .
- le quatrième mot contiendra la valeur zéro, il nous servira ultérieurement, lors de la recherche des ensembles  $\mathcal{E}(q, k, x)$ , comme pointeur des listes de définition des contextes.

**Sous-liste de type (VIII) :** Une sous-liste de type VIII est associée à chaque première composante,  $x$ , d'un couple créé. C'est une liste à enregistrements variables, rangés séquentiellement, et formés :

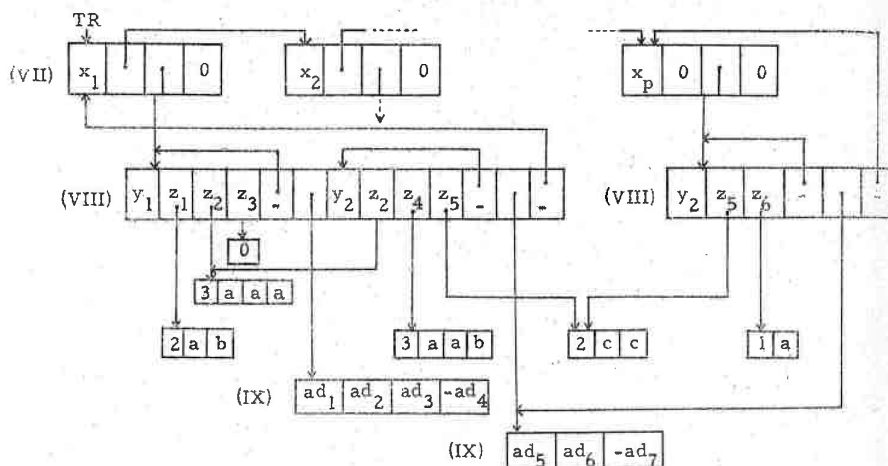
- d'un premier mot qui définit les secondes composantes,  $y$ , des triplets,  $(x, y, \delta)$  de  $\mathcal{E}'_1$ .
- puis d'un ensemble de mots adjacents contenant l'adresse de rangement des enregistrements concernant les mots de  $\delta_k(x, y)$  ; ces enregistrements sont constitués de la même façon que dans le tableau LIS, que nous avons introduit au paragraphe 5.4.
- enfin, de deux mots définissant des pointeurs :
  - le premier est l'adresse du premier mot de l'enregistrement, affecté d'un signe moins.
  - le second est l'adresse d'un enregistrement de type (IX).

Le dernier enregistrement d'une sous-liste de type (VIII) est suivi par un mot contenant l'adresse du mot où est rangé le point  $x$  de  $\mathcal{L}'_1$  affectée d'un signe moins. Ceci nous permettra de retrouver le couple créé  $(x, y)$  correspondant à chacune des informations de cette sous-liste.

Enregistrement de type (IX) : Il est de longueur variable.

Un tel enregistrement est défini pour chaque point  $y$  de  $\mathcal{L}'_1$  apparaissant comme seconde composante d'un couple créé. Chacun de ses mots contient l'adresse dans la liste (VII), des points  $x'$  de  $\mathcal{L}_1$  appartenant à  $\Gamma_1(y)$ . Le contenu du dernier mot est affecté d'un signe moins.

L'ensemble de ces enregistrements définit en quelque sorte la liste des successeurs des points du graphe des transitions,  $\mathcal{G}$ , du langage  $\mathcal{L}_k$ .



$$\delta_k(x_1, y_1) = \{ab, aaa, \Lambda\}$$

$$\delta_k(x_1, y_2) = \{aab, aaa, cc\}$$

$$\delta_k(x_p, y_2) = \{cc, a\}$$

Les successeurs de  $y_1$ , appartenant à  $\mathcal{L}'_1$ , sont rangés aux adresses :  $ad_1, ad_2, ad_3$  et  $ad_4$  (successeurs pour le graphe  $gt_1$ , et appartenant à l'ensemble des premières composantes des triplets de  $\mathcal{L}_k$ ).

On désignera toujours par LIS, le tableau dans lequel sont définies les listes introduites précédemment.

5. 5. 5 - Pseudo-contextes

Nous avons constaté en 5. 5. 3 que la recherche directe des contextes était gênée par une perte d'information : on ne peut pas aisément, à partir d'un contexte calculé, générer d'autres contextes, car dès l'instant où on le range en mémoire, toutes les informations concernant sa construction, et en particulier ses rapports éventuels avec ceux-ci, sont définitivement perdus.

Par contre, une recherche se situant au niveau des mots des langages  $\mathcal{L}_k$  peut nous permettre de connaître à tout moment de précieux renseignements sur leur construction.

C'est la notion de pseudo-contextes, basée sur la recherche d'une suite d'adresses (adresse dans la liste de rangement, introduite en 5. 5. 4) qui va nous permettre d'éviter les difficultés précédentes, et nous pourrons en particulier appréhender aussi bien des mots du langage  $\mathcal{L}_k$ , que ceux des langages  $\mathcal{L}_{k'}$ , si  $k' < k$  et si les listes définies en mémoire déterminent "l'ensemble des triplets intermédiaires  $\mathcal{L}_k$ ".

5. 5. 5. 1 - Définition

Soient deux entiers,  $k$  et  $k'$ , donnés :  
Pour tout  $x$  de  $\mathcal{L}_1$ , on désignera par  $F_g(k, k', x)$ , l'ensemble des facteurs gauches des mots  $m$  de  $\mathcal{L}_k$  qui vérifient :

$$|p_3^*(m)| \geq k' \text{ et } p_1 o g_1(m) = x.$$

Pour tout  $M$  de  $F_g(k, k', x)$ , on définit :

$$q_2(k', M) = \text{Min} \{j \in \mathbb{N} \mid |p_3^*[g_j(M)]| \geq k'\}.$$

Lorsque la longueur de  $M$  est supérieure ou égale à  $q$ , on pose :

$$q_1(q, k', M) = \text{Max}\{q, q_2(k', M)\} = |M| ; \text{ on a ainsi les inégalités : } q_1(q, k'; M) \geq q \text{ et } q_2(k', M) \leq q_1(q, k', M).$$

Donnons quelques définitions :

- l'application, ADD, associée à tout  $\delta$  de  $\delta_k(x, y)$  l'adresse dans la liste de rangement de l'enregistrement concernant  $\delta$ .
- l'application, ADY, associée à tout triplet,  $(x, y, \delta)$ , l'adresse dans les listes de type (VIII) de  $y$ .

- l'application, DY, associé à l'adresse de rangement d'une deuxième ou d'une troisième composante d'un triplet,  $(x, y, \delta)$ , l'adresse de rangement de la troisième composante.

- soit un entier  $k'$  inférieur à  $k$ , on désigne par  $\text{ext}_k$  l'application de  $\mathcal{L}_{k'}$  dans  $\mathcal{L}_k$ , qui à tout mot de  $\mathcal{L}_{k'}$ ,  $m' = \prod_{i=1}^n (x_i, y_i, \delta_i')$ , fait correspondre le mot  $m$  de  $\mathcal{L}_k$  défini par :  $m = \prod_{i=1}^n (x_i, y_i, \delta_i)$ , avec  $\delta_i' = g_k(\delta_i)$  et  $\text{ADD}(\delta_i) = \text{ADD}(\delta_i')$ .

L'application,  $\text{ext}_k$ , étant une bijection, on appellera, contra $_k$ , l'application réciproque  $\text{ext}_k^{-1}$ , pour un couple donné  $(k; k')$ .

Propriété 7 : Soit  $M'$  appartenant à  $F_g(k, x)$  et  $k'$  un entier inférieur à  $k$ , alors  $M = \text{contra}_{k'}(M')$  appartient à  $F_g(k', x)$  et  $q_2(k, M) \geq q_2(k', M)$ .

Démonstration :

$$\left\lfloor \prod_{i=1}^{q_2(k, M')} \delta_i \right\rfloor \geq k \quad \text{et} \quad \prod_{i=1}^{q_2(k, M')} \delta_i' = \prod_{i=1}^{q_2(k, M')} g_{k'}(\delta_i) ;$$

on en déduit 
$$g_{k'} \left[ \prod_{i=1}^{q_2(k, M')} \delta_i \right] = \prod_{i=1}^{q_2(k, M')} g_{k'}(\delta_i) = k' , \text{ et par conséquent}$$

$M$  appartient à  $F_g(k', x)$  et  $q_2(k, M) \geq q_2(k', M)$ .

Définition 7 : Soient les entiers  $q, k$  et  $k'$ , avec  $k' \leq k$ . Un pseudo-contexte d'ordre  $(q, k, k')$  d'un point  $x$  de  $g\mathcal{L}_1$  est un mot  $\ell$  de  $\mathbb{N}^*$  pour lequel il existe un mot  $m$  de  $F_g(k, k', x)$ , de longueur supérieure ou égale à  $q$ , de telle façon qu'en posant :

$$M = g_{q_1}(q, k', m) = \prod_{i=1}^{q_1(q, k', m)} M_i, \quad (M_i \in \mathcal{E}_{k'}^*), \text{ on a :}$$

$$\ell = \prod_{i=1}^{q_1(q, k', m)} \ell_i \quad \text{avec}$$

$$\ell_i = \text{SI } i \leq q_2(k', m) \text{ ALORS } \text{ADD}(M_i) \text{ SINON } \text{ADY}(M_i).$$

Cette définition sera surtout utilisée avec  $k=k'$ , auquel cas on obtient l'ensemble des pseudo-contextes d'ordre  $(q, k)$  des points de  $g\mathcal{L}_1$ , que l'on note :  $P(q, k, x)$ . Lorsque  $k$  est différent de  $k'$ , on a les ensembles  $P_{k'}(q, k, x)$ . Tout mot  $p$  de  $P(q, k, x)$  est déterminé par les trois éléments :

$$M(p) \in F_g(k, x) \quad q_1(q, k, M) = |M(p)| \quad \text{et} \quad q_2(k, M).$$

On utilisera toujours ces notations pour désigner un mot  $p$  de  $P(q, k, x)$ .

Contextes et pseudo-contextes d'ordre  $(q, k)$  des points de  $g\mathcal{L}_1$

On obtient aisément les contextes d'ordre  $(q, k)$  à partir des pseudo-contextes d'ordre  $(q, k)$  ; en effet, si  $p$  appartient à  $P(q, k, x)$  :

- pour obtenir la première composante,  $v$ , du contexte associé à  $p$ , il suffit d'une part de rechercher, pour  $i \leq q_2(k, M(p))$ , et à partir de l'adresse  $p_i$ , celle contenue dans le dernier mot de l'enregistrement contenant le mot adressé par  $p_i$  et appartenant à une sous-liste (VIII) ; et d'autre part de concaténer les contenus des premières à ceux des adresses  $p_i$ , pour  $i > q_2(k, M(p))$ . Ces opérations doivent être exécutées tant que  $i$  est inférieur à  $q$ .

- la seconde composante, quant à elle, s'obtient directement en concaténant les contenus des adresses,  $(p_i+1)$  à  $(p_i+(p_i))$ , ( $\text{ADD}$  désignant le contenu du mot adressé par  $\text{ADD}$ ), pour  $i \leq q_2(k, M(p))$ .

### 5. 5. 5. 2 - Quelques propriétés sur les pseudo-contextes

Proposition 6 : I) Supposons que nous connaissons les pseudo-contextes d'ordre  $(q, k')$  de  $x$ , avec  $k' < k$ , alors :

$$P(q, k, x) = U_1 \cup U_2 \cup U_3, \quad \text{avec}$$

$$U_1 = \bigcup_{p' \in A_1} \bigcup_{x' \in B_1(p')} g_{q_2}(k', M')(p') F_{j(p')}(q - q_2(k', M'), k, x')$$

$$U_3 = \{p' \in P(q, k', x) \mid M' = M'(p') ; M = \text{ext}_k(M') ; q_2(k', M') = q_2(k, M)\}$$

$$A_1 = \{p' \in P(q, k', x) \mid M' = M'(p') ; M = \text{ext}_k(M') ; q_2(k', M') < q_2(k, M) ; q_2(k', M') < q\}$$

$$j(p') = k - |P_3^*[g_{q_2}(k', M')(M)]|$$

$$B_1(p') = \{x' \in \Gamma_1[v_{q_2}(k', M')] \mid P_{j(p')}(q - q_2(k', M'), k, x') \neq \emptyset\}$$

$$U_2 = \bigcup_{p' \in A_2} \bigcup_{x' \in B_2(p')} p' P_{j'(p')} [1, k, x']$$

$$A_2 = \{p' \in P(q, k', x) \mid M' = M'(p'); M = \text{ext}_k(M'); q_2(k', M') < q_2(k, M); q_2(k', M') \geq q\}$$

$$j'(p') = k - |p_3^* [M]|$$

$$B_2(p') = \{x' \in \Gamma_1 [y_{q_2}(k', M')] \mid P_{j'(p')} [1, k, x'] \neq \emptyset\}$$

II) Supposons que nous connaissions les pseudo-contextes d'ordre  $(q, k)$  de  $x$ , alors :  $\forall k' < k$ ,

$$P(q, k', x) = U_1 \cup U_2 \cup U_3, \text{ avec}$$

$$U_3 = \{p \in P(q, k, x) \mid M = M(p); M' = \text{contra}_{k'}(M); q_2(k', M') = q_2(k, M)\}$$

$$U_1 = \bigcup_{p \in B_1^1} g_{q_2}(k', M') [p] \text{ DY}^* \left[ \begin{matrix} p \\ \pi \\ i=q_2(k', M')+1 \end{matrix} p_i \right]$$

$$B_1^1 = \{p \in P(q, k, x) \mid M = M(p); M' = \text{contra}_{k'}(M); q_2(k', M') < q_2(k, M); q_2(k', M') < q\}$$

$$U_2 = \bigcup_{p \in B_2^1} g_{q_2}(k', M') [p]$$

$$B_2^1 = \{p \in P(q, k, x) \mid M = M(p); M' = \text{contra}_{k'}(M); q_2(k', M') < q_2(k, M); q_2(k', M') \geq q\}$$

Démonstration :

Passage de  $P(q, k', x)$  à  $P(q, k, x)$  : Soit  $p'$  appartenant à  $P(q, k', x)$  et  $M' = M'(p')$ , le facteur gauche de  $F_g(k', x)$  associé à  $p'$ .

Si  $M = \text{ext}_k(M')$ , deux cas se présentent :  $p' = \prod_{i=1}^{q_1(k', M')} p'_i$ , avec  $p'_i = (x_i, y_i, \delta_i)$

1)  $g_{q_2}(k', M') [M]$  n'appartient pas à  $F_g(k, x)$ , ce qui est équivalent à  $q_2(k', M') < q_2(k, M)$ , d'après la propriété 7 :

1.1 - Supposons  $q_2(k', M') < q$  : soit  $x'$  appartenant à  $\Gamma_1 [y_{q_2}(k', M')]$ ,

si  $P_{j'(p')} [q - q_2(k', M'), k, x]$  est non vide et  $p''$ , l'un de ses éléments alors le mot  $p$  égal à  $g_{q_2}(k', M') [p'] \cdot p''$  appartient à  $P(q, k, x)$  ; en outre il est équivalent

d'affirmer que  $g_{q_2}(k', M') [p] \text{ DY}^* \left[ \begin{matrix} q_1(k', M') \\ \pi \\ i=q_2(k', M')+1 \end{matrix} p_i \right]$  appartient à  $P(q, k', x)$ ,

si  $M' = \text{contra}_{k'} [M(p)]$ .

1.2. Si  $q_2(k', M') \geq q$  : soit  $x'$  appartenant à  $\Gamma_1 [y_{q_2}(k', M')]$  et  $p'$

à  $P_{j'(p')} (1, k, x')$ , alors  $p = g_{q_2}(k', M') (p') \cdot p'$  appartient à  $P(q, k, x)$  ; il est équivalent d'affirmer que  $g_{q_2}(k', M') [p]$  appartient à  $P(q, k', x)$ , avec

$M' = \text{contra}_{k'} [M(p)]$ .

2)  $q_2(k', M') = q_2(k, M)$  : on en déduit  $q_1(q, k, M) = q_1(q, k', M')$  et ainsi le mot  $p$  associé à  $M$  appartient à  $P(q, k, x)$

On obtient ainsi les inclusions :

$$U_1 \cup U_2 \cup U_3 \subset P(q, k, x) \text{ et } P(q, k', x) \subset U_1 \cup U_2 \cup U_3.$$

Le passage de  $P(q, k, x)$  à  $P(q, k', x)$ , nous donnerait les inclusions symétriques par des considérations toutes aussi évidentes.

Proposition 7 :

$$P(q, k, x) = \left\{ \begin{array}{l} \bigcup_{(y, \delta) \in C_0(x, k)} \bigcup_{p \in D_1(y)} \text{ADD}[(x, y, \delta)] P \\ \bigcup \left\{ \begin{array}{l} \bigcup_{(y, \delta) \in C_1(x, k)} \bigcup_{p \in D_2(y)} \text{ADD}[(x, y, \delta)] P \end{array} \right\} \end{array} \right.$$

$$C_0(x, k) = \{(y, \delta) \in \mathcal{L}_1^* \times \Gamma^* \mid |\delta| < k, \delta \in \delta_k(x, y)\}$$

$$D_1(y) = \{p \in \mathbb{N}^* \mid \text{ADD}[(y, y, h \circ g^* \circ t(y))] \in P(q, k - i(y, \delta), y)\}$$

$$i(y, \delta) = \text{SI } h \circ g^* \circ t(y) = \wedge \text{ ALORS } |\delta| \text{ SINON } |\delta| - 1$$

$$C_1(x, k) = \{(y, \delta) \in \mathcal{L}_1^* \times \Gamma^* \mid |\delta| = k, \delta \in \delta_k(x, y)\}$$

$$D_2(y) = \{p \in P_0(q-1, k, x'), x' \in \Gamma_1(y)\}$$

Démonstration : Soit  $p$  appartenant à  $P(q, k, x)$  et  $M(p)$ , le facteur gauche

associé à  $p$  :  $p = p_1 p'$ ,  $M_1 = (x, y, \delta)$  et  $M = M_1 M' = \prod_{i=1}^{q_1(q, k, M)} (x_i, y_i, \delta_i')$

1)  $q_2(k, M) = 1$  : il est évident que  $p'$  appartient à  $P_0(q-1, k, x')$  avec  $x'$  appartenant à  $p_1 \circ \mathcal{G}(M_1)$ .

2)  $q_2(k, M) \neq 1$  : soit  $\delta = \text{ADD}^{(1)}(M_1)$  et si  $\ell = i(y, \delta)$ , posons  $M'' = (y, y, h \circ g^{*} \circ t(y)) M'$  avec  $M'' = \text{contra}_{k-\ell}(M')$ .

On a :  $|M''| = |M''| + 1 = q_1(q, k, M) \geq q$  et  $p_3^*(M''') = a p_3^*(M'') = a \prod_{i=2}^{q_1(q, k, M)} g_{k-\ell}(\delta_i')$

$M''$  appartient à  $F_{g_{k-\ell}}(y)$ , et de plus :

$$\forall j < q_2(k, M) : |p_3^*[g_j(M)]| < k \implies |p_3^*[g_{j-1}(M'')]| < k - |\delta|$$

Mais,  $k - \ell \geq k - |\delta|$ , par conséquent :

$$\begin{aligned} p_3^*[g_{j-1}(M'')] &= g_{k-\ell} \left\{ p_3^*[g_{j-1}(M')] \right\} = g_{k-\ell} \left[ \prod_{i=2}^j \delta_i' \right] = g_{k-\ell} \left[ \prod_{i=2}^j g_{k-\ell}(\delta_i') \right] \\ &= g_{k-|\delta|} \left[ \prod_{i=2}^j g_{k-\ell}(\delta_i') \right] = g_{k-\ell} \left[ p_3^* \circ g_{j-1}(M'') \right] \end{aligned}$$

il en résulte :  $|p_3^*[g_j(M''')]| = |a p_3^* \circ g_{j-1}(M'')| < k - \ell$  et  $q_2(k-\ell, M'') = q_2(k, M)$

Le mot  $p''$  égal à  $\text{ADD}[(y, y, h \circ g^{*} \circ t(y))] p'$  appartient à  $P(q, k-\ell, y)$  ; son facteur gauche associé est  $M''$ , et  $q_1(q, k-\ell, M'') = q_1(q, k, M)$ .

Le raisonnement inverse, partant de  $M''$ , s'établirait de la même façon en prenant  $M' = \text{ext}_k(M'')$ .

Proposition 8 : Soit  $q$  un entier différent de 1 et  $x$  appartenant à  $gl_1$ , alors :

$$1) P(q-1, k, x) = \left( \bigcup_{p \in C_1} p \right) \cup \left( \bigcup_{p \in C_2} g_{q-1}(p) \right) \cup \left( \bigcup_{p \in C_3} p \right)$$

$$C_1 = \{p \in P(q, k, x) \mid q_2(k, M) \geq q, \text{ avec } M = M(p)\}$$

$$C_2 = \{p \in P(q, k, x) \mid q_2(k, M) < q, \text{ avec } M = M(p)\}$$

$$C_3 = \{p \in P(q-1, k, x) \mid M = M(p) ; q_2(k, M) < q ; C_4(p) = \{\emptyset\}\}$$

$$C_4(p) = \{t \in \mathcal{E}_k \mid M = M(p) = \prod_{i=1}^{|M|} M_i ; t \in \mathcal{G}[M_{q-1}]\}$$

$$2) P(q, k, x) = \left( \bigcup_{p' \in C_1'} p' \right) \cup \left( \bigcup_{p' \in C_2'} t \circ \bigcup_{p' \in C_4'} p' \text{ ADV}[t] \right)$$

$$C_1' = \{p' \in P(q-1, k, x) \mid q_2(k, M') \geq q, \text{ avec } M' = M'(p')\}$$

$$C_2' = \{p' \in P(q-1, k, x) \mid q_2(k, M') < q ; M' = M'(p') ; C_4'(p') \neq \{\emptyset\}\}$$

Démonstration :

1) Passage de  $P(q, k, x)$  à  $P(q-1, k, x)$  : Soit  $p$  appartenant à  $P(q, k, x)$  et  $M(p)$ , le facteur gauche associé à  $p$ .

1.1. Si  $q_2(k, M) \geq q$ , alors  $q_2(k, M) = q_1(q, k, M) = q_1(q-1, k, M)$ , et  $p$  appartient à  $P(q-1, k, x)$ .

1.2. Si  $q_2(k, M) < q$ ,  $q_1(q, k, M) = q$  et par conséquent  $g_{q-1}(p)$  appartient à  $P(q-1, k, x)$  ; on en déduit aussi  $p = g_{q-1}(p) \text{ ADV}[t]$ , avec  $t$  appartenant à  $\mathcal{G}[M'_{q-1}]$  si on prend pour  $M'$  le facteur  $g_{q-1}(M)$  (on a en effet  $q_1(q-1, k, M') = q-1$ ).

2) Passage de  $P(q-1, k, x)$  à  $P(q, k, x)$  : Soit  $p'$  appartenant à  $P(q-1, k, x)$  et  $M'(p')$  le facteur gauche associé à  $p'$ .

2.1. Si  $q_2(k, M') \geq q$ , alors  $q_2(k, M') = q_1(q-1, k, M') = q_1(q, k, M')$  et  $p'$  appartient à  $P(q, k, x)$ .

2.2. Si  $q_2(k, M') < q$ , alors  $q_1(q-1, k, M') = q-1$ . Deux cas se présentent :

$$\text{soit } M' = \prod_{i=1}^{q-1} M_i = \prod_{i=1}^{q-1} (x_i, y_i, \delta_i')$$

- dans le cas où  $M'_{q-1}$  ne possède pas de successeur dans le graphe  $\mathcal{G}$ ,  $p'$  appartient  $\left\{ \bigcup_{p \in C_3} p \right\}$ .

- dans le cas contraire, soit  $t$  appartenant à  $\mathcal{G}(M'_{q-1})$ , alors  $p = p'ADY(t)$  appartient à  $P(q, k, x)$ ; son facteur gauche associé est  $M = M't$ .

Proposition 9 : Pour tout  $y$  de  $\mathcal{L}'_1$  et tout entier  $q$  supérieur à un, on a :

$$(II) \quad P(q, k, y) = \bigcup_{x \in \Gamma_1(y)} \text{ADD}[(y, y, h \circ g^* \circ t(y))] P(q-1, k-t, x),$$

avec  $t = \text{SI } h \circ g^* \circ t(y) = \Lambda \text{ ALORS } 0 \text{ SINON } 1$

Démonstration : Soit  $p$  appartenant à  $P(q, k, x)$  :  $p = \prod_{i=1}^{q_1(q, k, M)} p_i$ , si le facteur gauche associé à  $p$  est  $M = M(p) = \prod_{i=1}^{q_1(q, k, M)} M_i$ , avec  $M_i = (x_i, y_i, \delta_i)$ .

Il est équivalent d'écrire :  $p = p_1 p'$  et  $M = M_1 M'$ , avec  $M_1 = (y, y, h \circ g^* \circ t(y))$  et  $\mathcal{L}'_1 = \text{ADD}(M_1)$ .

1)  $h \circ g^* \circ t(y) = \Lambda$  :  $M'$  appartient à  $F_g(k, x_2)$  et  $x_2 \in \Gamma_1(y)$ ; en outre, la longueur de  $M'$  est supérieure ou égale à  $q-1$ .

$$\forall j < q_2(k, M)-1 : g_{j+1}(M) \notin F_g(k, y); \text{ mais } g_{j+1}(M) = M_1 g_j(M').$$

Il est donc équivalent d'écrire :

$$\forall j < q_2(k, M)-1, |p_3^* \circ g_j(M')| < k.$$

On en déduit :  $q_1(q-1, k, M') = q_1(q, k, M)-1$  et  $q_2(k, M') = q_2(k, M)-1$ .

Le mot  $p'$  associé au facteur gauche  $M'$  appartient à  $P(q-1, k, x)$ . On obtient ainsi l'égalité (II), avec  $t = 0$ .

2)  $h \circ g^* \circ t(y) \neq \Lambda$  : Soit  $M'' = \text{contra}_{k-1}(M')$ , d'après la propriété 7, on a :

$M''$  appartient à  $F_g(k-1, x_2)$  et  $q_2(k-1, M'') \leq q_2(k, M')$ .

En outre :  $\forall j < q_2(k, M), |p_3^* \circ g_j(M)| < k$ ; il est équivalent d'affirmer :

$$\forall j < q_2(k, M)-1, |p_3^* \circ g_j(M'')| < k-1, \text{ puisque}$$

$$p_{k-1}^* \circ p_3^* \circ g_j(M') = \prod_{i=2}^j g_{k-1}(\delta_i) = g_{k-1} \circ p_3^* \circ g_j(M'').$$

On en déduit :  $q_2(k-1, M'') = q_2(k, M')-1$  et  $q_1(q-1, k-1, M'') = q_1(q, k, M)-1$ .

Le mot  $p'$  associé au facteur gauche  $M''$  appartient à  $P(q-1, k-1, x)$ . On obtient ainsi l'égalité (II) avec  $t = 1$ , compte-tenu de l'équivalence :

$$M'' = \text{contra}_{k-1}(M') \iff M' = \text{ext}_k(M'').$$

Les propositions 6, 7, 8 et 9 sont susceptibles de nous donner des algorithmes de génération de pseudo-contextes à partir d'autres pseudo-contextes :

Soit un entier  $k'$  inférieur à  $k$ , la proposition 6 détermine les pseudo-contextes d'ordre  $(q, k')$  de tout point  $x$  de  $\mathcal{L}'_1$  à partir des pseudo-contextes d'ordre  $(q, k)$  et réciproquement.

$$\forall x \in \mathcal{L}'_1 \quad P(q, k, x) \xrightarrow{\text{Algorithme 6.1}} P(q, k', x) \quad (\text{Algorithme 6.1})$$

$$P(q, k', x) \xrightarrow{\text{Algorithme 6.1}} P(q, k, x) \quad (\text{Algorithme 6.1})$$

La proposition 8 définit les pseudo-contextes d'ordre  $(q, k)$  de tout point de  $\mathcal{L}'_1$ , en fonction des pseudo-contextes d'ordre  $(q-1, k)$ , et réciproquement.

$$\forall x \in \mathcal{L}'_1 \quad P(q, k, x) \xrightarrow{\text{Algorithme 8.1}} P(q-1, k, x) \quad (\text{Algorithme 8.1})$$

$$P(q-1, k, x) \xrightarrow{\text{Algorithme 8.2}} P(q, k, x) \quad (\text{Algorithme 8.2})$$

En fait, seul l'algorithme 8.2 est intéressant.

Soit  $x$  appartenant à  $\{\mathcal{L}'_1, \mathcal{L}'_2\}$ , et si l'on connaît les pseudo-contextes d'ordre  $(q, k)$  pour tous les points  $y$  de  $\mathcal{L}'_1$ , tels que  $(x, y)$  soit un couple créé (§ 5.4), la proposition 7, par l'intermédiaire de l'algorithme 6.1 détermine les contextes d'ordre  $(q, k)$  de  $x$ .

$$\left( \forall x \in \{\mathcal{L}'_1, \mathcal{L}'_2\} \right) \left( \forall y \in \mathcal{L}'_1 \right) (\delta_k(x, y) \neq \emptyset).$$

$$P(q, k, y) \xrightarrow{\left( \forall \delta \in \delta_k(x, y) \right) (P(q, k-|\delta|+t, y))} P(q, k, x) \quad (\text{Algorithme 7})$$

$$t = \text{SI } h \circ g^* \circ t(y) = \Lambda \text{ ALORS } 0 \text{ SINON } 1 \quad (k-|\delta|+t < k)$$

Lorsque l'on connaît les pseudo-contextes d'ordre  $(q, k)$  d'un point de  $\mathcal{L}'_1$ , la proposition 9 nous donne le moyen de rechercher les ensembles,  $P(q-1, k-1, x)$ , avec  $x$  appartenant à  $\Gamma_1(y)$ .

$$\forall y \in \mathcal{L}'_1 : P(q, k, y) \xrightarrow{\left( \forall x \in \Gamma_1(y) \right) (P(q-1, k-1, x))} \quad (\text{Algorithme 9})$$

Nous élaborerons à partir de ceux-ci un algorithme de recherche des pseudo-contextes d'ordre  $(q, k)$  et en particulier des contextes d'ordre  $(q, k)$ , de tous les points de  $g\mathcal{L}'_1$ , qui toutefois ne traite pas systématiquement en séquence chacun d'eux mais explore globalement le graphe  $g\mathcal{L}'_1$ .

Avant d'étudier cet algorithme nous nous intéresserons à celui qui dérive de la proposition 3, que nous avons évoqué au paragraphe 5.5.3. Il nous donnera le moyen de déterminer les pseudo-contextes des points pour lesquels on ne peut pas utiliser des pseudo-contextes déjà calculés, en particulier pour les points suivants :

$$(\forall y \in \mathcal{L}_1^+) (P(q, k, y) = \{\Delta\}) \quad (\forall z \in \mathcal{L}_1^+) (y \in \Gamma_1(z) \text{ et } P(q, k, z) \neq \{\Delta\})$$

5.5.5.3 - Détermination des pseudo-contextes par la recherche de facteurs gauches de longueur croissante

Cet algorithme recherche les ensembles  $P(q, k, x)$  et  $P_{k'}(q, k, x)$ , avec pour  $k'$  un entier inférieur à  $k$ .

Il utilise trois piles :  $p = (p_i)_i$  ;  $v = (v_i)_i$  ;  $u = (u_i)_i$ .

La pile,  $p = (p_i)_i$ , définit le facteur,  $g_i(p)$ , engendré par l'algorithme, susceptible d'être le facteur gauche d'un pseudo-contexte  $p$ . Comme il l'a été dit au paragraphe 5.5.5.1, à chaque état,  $p_i$ , ou encore à chaque facteur  $p_i(p)$ , est associé un mot  $M(p_i)$  de  $\mathcal{E}_k^*$  susceptible d'être le facteur gauche d'un mot de  $F_g(k, k', x)$ . Tant que l'inégalité  $|p_3^*[M(p_i)]| < k'$  est vérifiée, la pile  $p$  est une pile sur l'ensemble des adresses des enregistrements définissant les mots  $g$  de  $T_k^*$ , appartenant à  $p_3(\mathcal{E}_k)$ . Lorsque pour un entier  $i$ , on a l'inégalité  $|p_3^*[M(p_i)]| > k'$ , le mot  $M(p_i)$  appartient à  $F_g(k, k', x)$ , (modulo (1)), et par conséquent :  $i = q_2(k', M(p_i))$ ; de plus, si  $i$  est inférieur à  $q$ , la pile  $p$  est employée comme pile sur l'ensemble des adresses des mots contenant les secondes composantes des couples créés (sous-listes VIII).

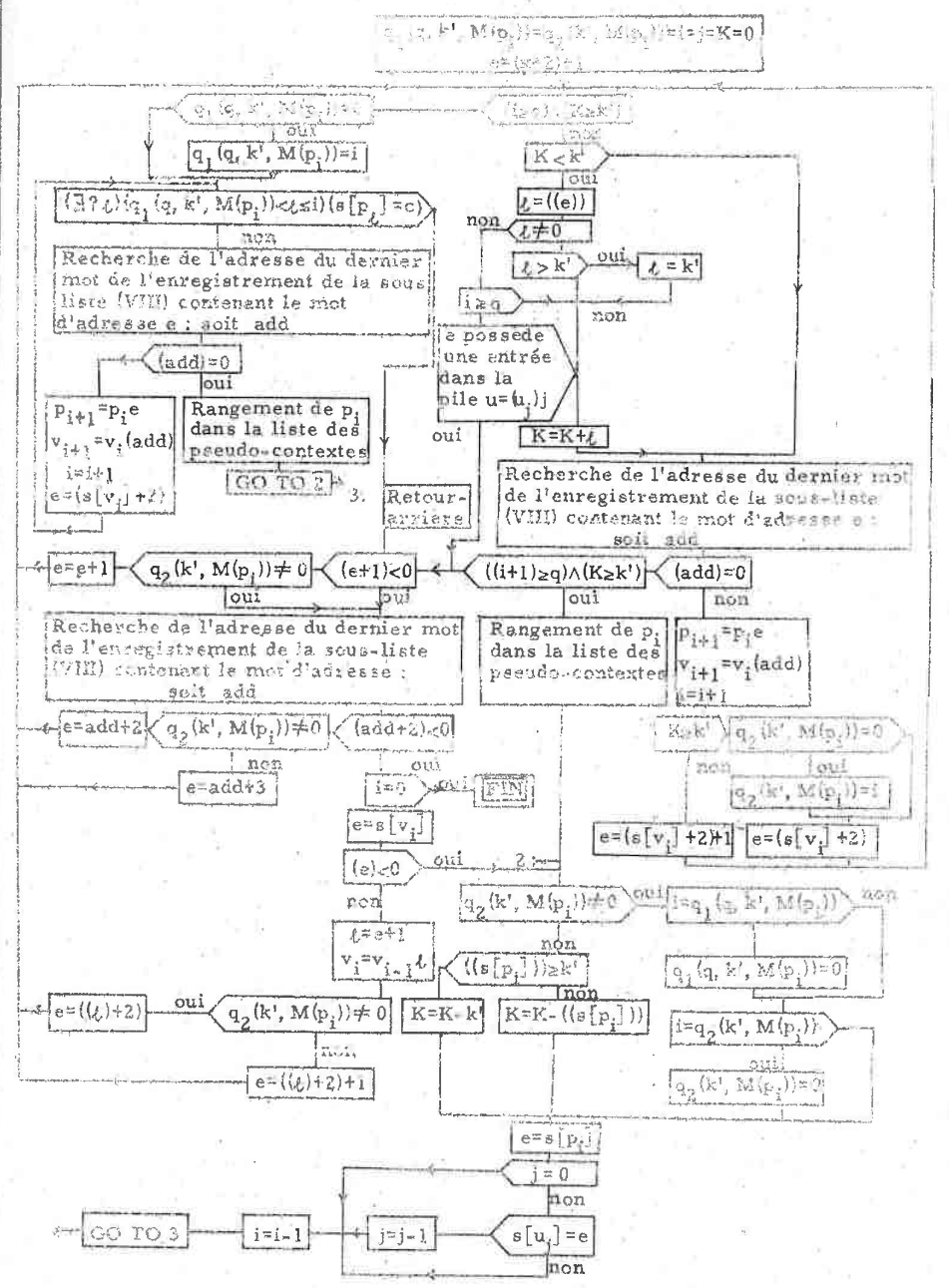
Lorsque les deux inégalités,  $|p_3^*[M(p_i)]| \geq k'$  et  $i \geq q$ , sont satisfaites, l'entier  $i$  est égal à  $q_1[q, k', M(p_i)]$  (modulo (1)); il suffit alors de trouver «un chemin élémentaire du graphe  $\mathcal{G}$ , d'origine  $M_{q_1}(q, k', M(p_i))$  et d'extrémité appartenant à  $\mathcal{E}_k^*$ », soit (1), pour affirmer que  $p_i$  appartient à  $P_{k'}(q, k, x)$  : la pile  $p$  est utilisée comme pile simple pour cette recherche.

La pile  $v$  est entretenue simultanément à la pile  $p$  de telle façon que chaque entrée  $i$  dans la pile  $p$  est suivie de l'entrée dans  $v$ , de l'adresse dans l'enregistrement de type (IX), du mot contenant la première composante du premier successeur de  $g_1[\widetilde{M(p_i)}]$  pour le graphe  $\mathcal{G}$ .

La pile simple  $u$  sert à accélérer la recherche dans certains cas : en effet lorsque,  $i \geq q$  et  $|p_3^*[M(p_i)]| < k'$ , il est inutile d'engendrer des facteurs gauches de mots de  $F_g(k, k', x)$ , en répétant des triplets de la forme :  $(x', y', \Delta)$ , dont la contribution au mot des feuilles est nulle.

Algorithme 3 : Recherche de  $P_{k'}(q, k, x)$ , avec  $k' \leq k$

- $X$  représente l'adresse dans la liste (VII) du mot contenant  $x$
- $K = |p_3^*[M(p_i)]|$
- Pour chaque adresse  $adr$ , repérant un mot des listes définies en 5.5.5.3,  $(adr)$  désigne le contenu de ce mot.
- Pour chaque pile,  $u = (u_i)_i$ , utilisée,  $s[u_i]$ , désigne le sommet de l'état  $v_i$ .

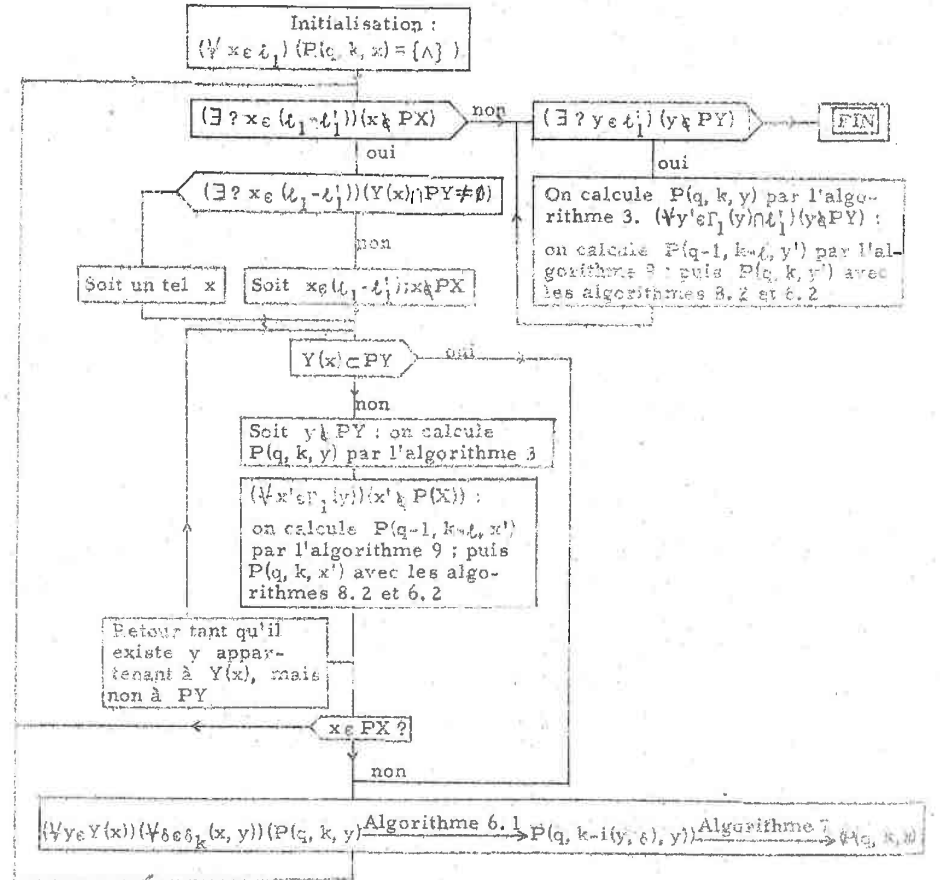


5.5.5.4 - Algorithme général de recherche des pseudo-contextes  
d'ordre  $(q, k)$ , des points de  $gl_1$

$Y(x) = \{y \in \mathcal{L}_1 \mid (x, y) \text{ est un couple créé}\}$ , avec  $x$  appartenant à  $\mathcal{L}_1$

$PY = \{y \in \mathcal{L}_1 \mid P(q, k, y) \neq \{\Lambda\}\}$

$PX = \{x \in \mathcal{L}_1 - \mathcal{L}_1' \mid P(q, k, x) \neq \{\Lambda\}\}$



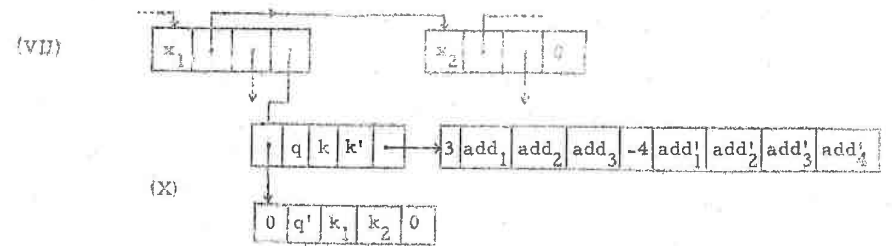
5. 5. 5. 5 - Liste de rangement des pseudo-contextes

Le quatrième mot de chaque enregistrement de liste (VII) repère une sous-liste de définition des pseudo-contextes : liste (X).

Liste (X), associée à un point  $x$  de  $t_1$  : Si ADD est le contenu du quatrième mot de l'enregistrement définissant  $x$  dans (VII), cette liste est définie par le triplet : (ADD, 5, 1).

Supposons qu'un algorithme ait déterminé  $P(q, k, x)$ , ( $k' \leq k$ ) :

- dans le deuxième mot, on place  $q$  ;  $k$  dans le troisième et  $k'$  dans le quatrième.
- le cinquième mot repère la sous-liste de rangement des éléments de  $P(q, k, k', x)$  qui est une liste à enregistrements séquentiels du même type que ceux où l'on range les mots des langages  $\delta_k(x, y)$ .



-  $P_{k'}(q, k, x_1) = \{ (\text{add}_1)(\text{add}_2)(\text{add}_3) ; (\text{add}'_1)(\text{add}'_2)(\text{add}'_3)(\text{add}'_4) \}$

-  $P_{k_2}(q', k_1, x_2) = \{ \emptyset \}$

-  $(\forall q)(\forall k)(\forall k')(P_{k'}(q, k, x_2) = \{ \cdot \}) \iff \left\{ \begin{array}{l} \text{On n'a fait aucune tentative de} \\ \text{recherche de } P_{k'}(q, k, x_2) \end{array} \right\}$

5. 5. 6 - Choix des "ordres contextuels"

Jusqu'à présent toute l'étude sur les contextes disposait a priori d'un ensemble de triplets intermédiaires  $\mathcal{E}_k$ , d'ordre donné  $k$ , défini par une structure de liste. Il nous faut cependant déterminer un critère de choix d'un entier  $k$  qui permettra, lors de la recherche des contextes, d'atteindre les ensembles  $\mathcal{E}_k$ , (pour tout entier  $k' < k$ ) dont on aura éventuellement besoin.

Un choix plus ambitieux serait, pour chaque point  $x$  du graphe  $gl_1$ , celui d'un couple d'entiers  $(q, k)$  pour lequel on recherchait les contextes de  $x$ . Une première nécessité est de déterminer par l'algorithme 3 les contextes d'ordre  $(q, k)$  afin d'éliminer les points de  $gl_1$  dont les transformés par  $g^+0t$  ne possèdent pas d'occurrence dans les mots du langage de parenthèses (choisi comme représentation de  $S(G)$ ) associés aux ramifications de  $R(T, N)$  :

- En effet, d'après les remarques qui suivent la proposition 5 de ce même chapitre,

$$(\forall x \in gl_1) (\mathcal{E}(1, 1, x) = \emptyset) \implies (\forall k, q \in \mathbb{N}) (\mathcal{E}(q, k, x) = \emptyset).$$

Cette recherche sera inutile lorsque la grammaire donnée,  $G = (V, \rightarrow, X)$ , est réduite, c'est à dire si pour tout  $A$  de  $V$ , il existe une ramification de  $S(G)$  où  $A$  possède au moins une occurrence.

Soient  $x$  un point de  $gl_1$ , et  $\Gamma_1(x) = \{y_1, y_2\}$ ; supposons que nous connaissions un couple  $(q, k) : \mathcal{E}(q, k, y_1) \cap \mathcal{E}(q, k, y_2) = \emptyset$ . Les programmes d'analyse devront choisir à partir du point  $x$ , les calculs à élaborer pour engendrer une "analyse" : au moins l'un des points  $y_1$  et  $y_2$ , sera une "fausse piste".

On dispose ainsi d'un moyen de connaître certaines fausses pistes d'une quelconque analyse d'une grammaire donnée : il suffit d'associer à chaque  $x$  de  $gl_1$  tel que  $\Gamma_1(x) = \{y_1, \dots, y_n\}$  avec  $n > 1$ , un couple  $(q, k)$  pour lequel il existe des entiers  $i$  et  $j$  distincts, appartenant à  $\{1, \dots, n\}$  et vérifiant :  $\mathcal{E}(q, k, y_i) \cap \mathcal{E}(q, k, y_j) = \emptyset$ . Il faudra cependant se contenter de couples  $(q, k)$  dont les composantes ne soient pas trop grandes de telle façon que la recherche des "fausses pistes" par une "procédure TEST" (paragraphe 5. 5. 2) ne soient pas compromise : en effet, plus l'ordre des contextes calculés sera grand et plus rares seront les occasions d'appliquer les tests de cette procédure.

L'étude précédente nous permet de tracer les grandes lignes qui conduisent à la conception d'un "système général d'analyse pour les grammaires de Chomsky". Tout d'abord, la diversité des analyses effectuées dépend des structures compatibles mises en évidence. Nous en avons étudiées trois,  $S_1, S_2$  et  $S_3$  au chapitre 2 : il pourrait être intéressant d'utiliser d'autres structures et de les déterminer toutes.

Au chapitre 3, nous avons recherché à partir d'une grammaire  $G$  les quadruplets,  $Q = (V, g, K, h)$ , associées à chacune des structures compatibles. Le passage de  $G$  à  $Q$  peut se faire en deux phases :

- Si  $G$  est donnée par des "règles" il est nécessaire de réaliser une transformation qui nous donnera  $G$  sous forme de graphes (Module 1[ $G$ ]).
- puis pour chaque structure  $S$  une seconde phase détermine les quadruplets  $Q$  (Module 2[ $S$ ]).

Le chapitre 5 définit "l'étude contextuelle" qui accélera les analyses d'un mot quelconque de l'alphabet terminal de  $G$  (Module 3[ $S, G$ ]). Cette étude est la plus coûteuse en temps et en place. Cependant il semble nécessaire de l'approfondir car il ne faut pas oublier qu'elle se fait pour une grammaire donnée et non pas pour une analyse d'un mot donné.

En outre, si l'on peut préciser dans un sens à déterminer la qualité de cette étude en fonction d'une grammaire donnée  $G$ , on possèdera le moyen de choisir automatiquement la méthode d'analyse adéquate de l'ensemble des mots engendrés par  $G$ .

L'enchaînement des modules, (Module 1[ $G$ ]-> Module 2[ $S$ ]->Module 3[ $S, G$ ]) nous fournit ce qu'on peut appeler "un programme d'analyse" constitué par la donnée d'un quadruplet  $(V, g, K, h)$  et d'une liste de contextes.

Le chapitre 4 définit des procédures (TRAVEM, TRAVPA) de génération d'analyses, qui à partir d'un mot  $\alpha$  sur l'alphabet terminal d'une  $G$ -grammaire  $G$  et d'un programme d'analyse associé à  $G$  engendrent l'ensemble  $h^{-1}(\alpha) \cap g^*(K \cap P)$  des analyses de  $\alpha$  (Module 4[ $S, G, \alpha$ ]).

Les modules 1, 2, 3, 4, auxquels on adjoindra un "module de choix", pourraient constituer les segments d'un système général d'analyse.

Une dernière remarque porte sur la programmation d'un tel système. Les programmes réalisés ont été écrits en Algol 60, la difficulté essentielle avec ce langage survient avec l'emploi de listes. Il serait nécessaire d'utiliser ou de définir un langage se prêtant aisément à la génération de listes ainsi qu'à leur mise à jour.

ANNEXE 1

Le problème de l'analyse syntaxique pour une grammaire,  $G = (V, \rightarrow, X)$ , et une structure compatible  $S = (V_1, g, K_1, h)$  est la recherche pour tout mot  $\alpha$  de  $T^*$  ( $V = T \cup N$ ) des ensembles :  $\mathcal{H}(\alpha) = h^{-1}(\alpha) \cap g^*(K_1 \cap P(V_1^*))$ .

Nous avons convenu d'effectuer des analyses avec adjonction de marqueurs :

$$V_1^* = V^* \cup \# \quad , \quad \# \notin V^*$$

Il s'agit dans cette annexe de préciser les procédures de définition des applications suivantes :

- l'homomorphisme alphabétique  $h$  de  $(V \cup \bar{V})^*$  dans  $T^*$
- la transcription de parenthèses  $g^*$  de  $(V^* \cup \bar{V}_1^*)^*$  dans  $(V \cup \bar{V})^*$  avec  $g(\#) = g(\bar{\#}) = \Lambda$ .
- la transcription  $t$ , telle que  $K_1 = t(L)$ ,  $L$  étant un langage local.

1) Structure compatible  $S_3 = (V_1, I_{V_1}, K, h)$

L'application  $g$  (c'est à dire  $I_{V_1}$ ) est donnée par :

- $\forall x \in V \cup \bar{V} : g(x) = x$
- $g(\#) = g(\bar{\#}) = \Lambda$

D'où la procédure :

```
'INTEGER' 'PROCEDURE' G(X) ; 'INTEGER' X ;
G := 'IF' (X=1) 'OR' (X=NPG1) 'THEN' 0 'ELSE' X ;
```

L'homomorphisme  $h$  de  $(V \cup \bar{V})^*$  dans  $T^*$  est défini par :

$$\forall A \in V \quad h(\bar{A}) = \text{SI } A \in T \text{ ALORS } A \text{ SINON } \Lambda$$

$$h(A) = \Lambda$$

D'où la procédure :

```
'INTEGER' 'PROCEDURE' PETITH(X) ; 'VALUE' X ; 'INTEGER' X ;
PETITH := 'IF' X > N+VOC 'THEN' X.VOC 'ELSE' 0 ;
```

Le mot vide  $\Lambda$  est codifié par zéro.

Au chapitre 3, le langage régulier  $K$  a été défini comme le transcrit par  $t_3$  du langage local  $L_3$ ; le tableau TA2 associant à tout  $x$  de  $L_3$  l'élément  $t_3(x)$  de  $K$ . La transcription  $t_3$  est définie par la procédure :

```
'INTEGER''PROCEDURE' EMP(X) ; 'VALUE'X ; 'INTEGER'X ;
EMP:=TA2(/X/);
```

2) Structure compatible  $S_2 = (V_1, I_{V_1}, K, h')$

L'ensemble  $V_1$  et l'application  $g$  (c'est à dire  $I_{V_1}$ ) sont identiques aux

éléments de même nom qui apparaissent dans le quadruplet définissant  $S_3$ . La procédure,  $G(X)$ , définie précédemment sera employée pour représenter l'application  $g$ .

L'homomorphisme  $h'$  de  $(V \cup \bar{V})^*$  dans  $T^*$  est défini par :

$$\forall A \in V \cup \bar{V} \quad h(A) = \text{SI } A \in T \text{ ALORS } A \text{ SINON } \wedge$$

D'où la procédure :

```
'INTEGER''PROCEDURE' PETITH(X) ; 'VALUE'X ; 'INTEGER'X ;
PETITH:='IF' N+1 ≤ X < VOC 'THEN' X 'ELSE' 0 ;
```

Le langage régulier  $K$  est, dans ce cas, le transcrit par  $t_2$  du langage local  $L_2$ ; comme précédemment le tableau TA2 associe à tout  $x$  de  $L_2$  l'élément  $t_2(x)$  de  $K$ ; on utilisera donc la procédure  $EMP(X)$  définie ci-dessus pour représenter  $t_2$ .

3) Structure compatible  $S_1 = (V_1, g, L_1, h')$

On a la même procédure,  $PETITH(X)$ , qu'au paragraphe 2 pour définir l'homomorphisme  $h'$ .

De plus, la transcription  $t$  est l'identité sur  $V_1$ , puisque  $L_1$  est un langage local.

D'où la procédure associée :

```
'INTEGER''PROCEDURE' EMP(X) ; 'VALUE'X ; 'INTEGER'X ;
EMP:=X ;
```

Quant à l'application  $g$  qui à tout  $x$  de  $V_1 \cup \bar{V}_1$

( $V_1 = V' \cup \epsilon = V' \cup \#$  et  $\bar{V}_1 = \bar{V}' \cup \epsilon' = \bar{V}' \cup \#\bar{\#}$ ) associe l'élément  $g(x)$  de  $V \cup \bar{V}$ , elle est représentée par la procédure :

```
'INTEGER''PROCEDURE' G(X) ; 'VALUE'X ; 'INTEGER'X ;
G:='IF' (X-1)'OR' (X=NPG1)'THEN' 0 'ELSE' TA2(/X/);
```

En effet  $g(\#) = g(\#\bar{\#}) = \wedge$  ( $C_2(\#) = 1$ ,  $C_2(\#\bar{\#}) = \text{NPG1}$ )

ANNEXE II

Listings des programmes

```

JOB MAP,IR07,A;LEMAIRE,1.
JALGOL SI,LS,GO
'BEGIN'
'INTEGER' VOC,VOC1,AL,NP1,NPF,NPG1,I,N;
'READ'(105,FORM)VOC1,VOC,N,AL,NPG1,NPF,NP1;
FORM:'FORMAT' (2014);
'WRITE'(108,FMT)VOC1,VOC,N,AL,NPG1,NPF,NP1;
FMT:'FORMAT'('///// ' NOMBRE D ELEMENTS DE L ALPHABET DU LANGAGE REGULIER
K',10X,15/ ' NOMBRE D ELEMENTS DE L ALPHABET DE LA GRAMMAIRE',16X,15/ ' NO
MBRE D ELEMENTS DE L ALPHABET AUXILIAIRE DE G',64X,15 / ' NOMBRE DE LETTR
ES DE LA PHRASE A ANALYSER',21X,15/ ' NOMBRE D ELEMENTS DU GRAPHE ASSOCIE
A K',24X,15/ ' NOMBRE D ELEMENTS DU TABLEAU DES FAMILLES DU GRAPHE ASSOC
IE',4X,15/ ' ADRESSE DANS LE TABLEAU DES FAMILLES DE LA SOUS FAMILLE COMM
UNE',15///);
'BEGIN'
'INTERER' 'ARRAY' TA1(/1;NPG1//),TA2(/1;NPG1//),TS(/1;NPF//),ALPHA(/1;AL//);
'PROCEDURE' TEST ; 'BEGIN' 'END';
'INTEGER' 'PROCEDURE' PETITH(X); 'VALUE' X ;
PETITH:= 'IF' X > N+VOC 'THEN' X-VOC 'ELSE' 0 ;
'INTEGER' 'PROCEDURE' G(X); 'VALUE' X ; 'INTEGER' X ;
G:= 'IF' (X=1) 'OR' (X=NPG1) 'THEN' 0 'ELSE' X;

```

#### PROCEDURE TRAVPA

```

'INTEGER' 'PROCEDURE' EMP(X); 'INTEGER' X ; EMP:=TA2(/X//);
'READ'(105,FORM)'FOR' I:=1 'STEP' 1 'UNTIL' NPG1 'DO' (TA1(/I//),
'FOR' J:=1 'STEP' 1 'UNTIL' NPG1 'DO' (TA2(/J//),
'FOR' K:=1 'STEP' 1 'UNTIL' NPF 'DO' (TS(/K//),
'FOR' L:=1 'STEP' 1 'UNTIL' NPF 'DO' (TS(/L//);
'READ'(105,FORM)'FOR' I:=1 'STEP' 1 'UNTIL' AL 'DO' (ALPHA(/I//));
'WRITE'(108,PROF)'FOR' I:=1 'STEP' 1 'UNTIL' AL 'DO' (ALPHA(/I//));
PROF:'FORMAT' (// ' PHRASE A ANALYSER :', (' ',2014));
TRAVPA
'END' 'END';
JLOAD (GO),(UNSAT,(ALGLIB),(F&LIB)),(MAP)
JRUN
JPMOI
JDATA
14 7 4 8 20 26 0
600
1 2 3 5 6 7 8 10 12 13 14 15 16 17 18 19 20 20 20
1 2 9 4 4 5 10 11 0 0 3 7 4 5 7 5 12 13 14
-2 -3 4 -5 -6 -8 -7 9 -10 13 -12 -11 -14 -16 -19 -15 -17 -19 -17
7 17 8 18 19 -20
5 5 5 6 6 6 7 7

```

```

'PROCEDURE' TRAVPA ;
'BEGIN'
'INTEGER' Q, LV, LR, ADFEU, ADNFE, PARAM, X, X1, Y, Z, Z1, F, REE1, REE2, REE, NIL, L,
FREE ;
'BOOLEAN' VIDE, TERM, FEU ;
'READ'(105, FMT) L ;
FMT: 'FORMAT'(I4) ;
'BEGIN' 'INTEGER' 'ARRAY' LIS(/1/L) ;
'PROCEDURE' RANGE(X, Y) 'INTEGER' X, Y ;
'BEGIN'
'INTEGER' I ;
'PROCEDURE' PLACE ;
'BEGIN'
'IF' FREE=NIL 'THEN' FREE:=NIL:=NIL+4
'ELSE' FREE:='IF' LIS(/FREE+1)=0 'THEN' NIL 'ELSE' LIS(/FREE+1)
'END' ;
REE:=FREE ; PLACE ;
'IF' X'NE'0 'THEN' X:=LIS(/X+1):=REE
'ELSE' 'BEGIN'
I:=FREE ; PLACE ; X:=REE ; LIS(/I+1):=Y ; LIS(/I):=REE ;
LIS(/I+3):='IF' Y=0 'THEN' I 'ELSE' LIS(/Y+3) ; Y:=I
'END'
'END' ;
'PROCEDURE' EXTRAC ;
'BEGIN'
'INTEGER' I ; I:=LW ;
'WRITE'(102, FMT2) GLEMP(LIS(/LR)), 'FOR' I:=ABS(LIS(/I+2)) 'WHILE' I>1 'DO'
(GLEMP(LIS(/I))) ;
FMT2: 'FORMAT'('G', 'ANALYSE :', (' ', 30I3)) ;
'END' ;
'PROCEDURE' LISPLA(X) 'INTEGER' X ;
'BEGIN'
'IF' FREE'NE'NIL 'THEN' LIS(/LIS(/X+3)+1):=FREE ;
FREE:=X
'END' ;
'PROCEDURE'ARRIER(X) 'INTEGER' X ;
'BEGIN'
'INTEGER' H, K, N, L ;
L:=X ;
'FOR' H:=L 'WHILE' LIS(/H+1)=0 'DO' 'BEGIN'
LIS(/L+1):='IF' FREE=NIL 'THEN' 0 'ELSE' FREE ;
FREE:=L ; L:=ABS(LIS(/L+1)) ;
'IF' L=1 'THEN' 'GOTO' RETURN 'END' ;
'FOR' M:=LIS(/H+1) 'WHILE' M>0 'DO' H:=M ;
'IF' LIS(/-M+1)=H 'THEN'
'BEGIN' 'IF' H=L 'THEN' LIS(/-M+1):=0 'ELSE' LIS(/H+1):=0 ; 'GOTO' LA 'END' ;
'IF' L'NE'1 'THEN' 'BEGIN'
H:=M ;
'FOR' P:=LIS(/H+1) 'WHILE' M'NE'L 'DO' H:=M ;
LIS(/H+1):=LIS(/L+1)
'END'
'ELSE' LIS(/H+1):=-LIS(/L+1) ;
LA: LIS(/L+1):='IF' FREE=NIL 'THEN' 0 'ELSE' FREE ; FREE:=L ;
RETURN: 'END' ;

```

```

*WRITE(108,FMT2);
FMT2 : 'FORMAT(//30X,***** ANALYSE AVC TRAITEMENT EN PARALLELE
*****//41X,*****);
Q:=LIS(/1/):=LIS(/5/):=1;LV:=PARAM:=LIS(/8/):=5;NIL:=FREE:=9;
LIS(/2/):=LIS(/3/):=LIS(/4/):=LIS(/6/):=ADFEU:=ADNFE:=0;TERM:='FALSE' ;
LABA: LR:=LIS(/LV/);
LA : Y :=TA1(LIS(/LR/));REE1:=REE2:=0;VIDE:='TRUE';
ICI : FEU:='FALSE'; X:=TS(/Y/); X1:=ABS(X); Z1:= EMP(VOC1);
Z:=LIS(/ IF'EMP(LIS(/LR/))>VOC1 'THEN'LIS(/LR+3/)'ELSE'LR/);
'IF'Z1>VOC1 'THEN''BEGIN''IF'EMP(Z)'NE'Z1-VOC1'THEN''GOTO'CONTIN'END';
F:=PETITH(G(Z1));
'IF'F'NE'0'THEN' 'BEGIN'
'IF'TERM'OR'(F'NE'ALPHA(/Q/))'THEN''GOTO'CONTIN ;
'IF'X1=NPQ1'THEN''BEGIN''IF'TERM'THEN'EXTRAC;'GOTO'CONTIN'END';
FEU:='TRUE' 'END' ;
TEST ; VIDE:='FALSE';
'IF'FEU 'THEN'RANGE(REE2,ADFEU)'ELSE'RANGE(REE',ADNFE);
LIS(/REE/):=X1; LIS(/REE+2/):=LR;
Z1:=EMP(LIS(/LR/));Z:=LIS(/LR+3/);
'IF'EMP(X1)<=VOC1'THEN' LIS(/REE+3/):='IF'Z1<=VOC1 'THE'LR'ELSE'Z
'ELSE'LIS(/REE+3/):='IF'Z1>VOC1'THEN'LIS(/Z+3/)'ELSE'Z;
CONTIN:
'IF'X>0'THEN''ELSE'Y+1;'GOTO'ICI'END';
'IF' VIDE 'THEN' 'BEGIN'
'IF'LIS(/LR+2/)>0 'THEN' 'BEGIN'
'IF'LIS(/LR+1/)>0 'THEN''BEGIN'
F:=LR; LR:=LIS(/LR+1/);
ARRIER (F);'GOTO' LA
'END'
'END';
ARRIER(LR);'GOTO'ENCORE 'END';
'IF'REE*REE2 'NE'0'THEN''BEGIN'
LIS(/REE1+1/):=LIS(/ADFEU/);
LIS(/REE1+2/):=-LIS(/REE1+2/);
LIS(/REE2+1/):=-LIS(/ADNFE/);
'END'
'ELSE''IF'REE2=0'THEN'
LIS(/REE1+1/):='IF'LIS(/ADNFE/)=REE1'THEN'0'ELSE'-LIS(/ADNFE/);
'ELSE'
LIS(/REE2+1/):='IF'LIS(/ADFEU/)=REE2'THEN'0'ELSE'-LIS(/ADFEU/);
'IF' LIS(/LR+2/)>0.'AND'LIS(/LR+1/)>0 'THEN'
'BEGIN'LR:=LIS(/LR+1/);'GOTO'LA 'END';
ENCORE:
'IF' LIS(/LV+1/)'NE'0'THEN''BEGIN'LV:=LIS(/LV+1/);'GOTO'LABA 'END';
LISPLA(PARAM);
'IF' ADNFE'NE'0 'THEN''BEGIN'
LV:=PARAM:=ADNFE ;
ADNFE:=0;'GOTO'LABA
'END'
'ELSE''IF'ADFEU'NE'0'THEN''BEGIN'
LV:=PARAM:=ADFEU;ADFEU:=0;
'IF'Q=AL'THEN'TERM:='TRUE''ELSE'Q:=Q+1;
'GOTO' LABA 'END'
'END''END';

```

```

JOB MAPA:RG7,A:LEMAIRE,1.
JALGOL ST,LS,GO
*BEGIN*
*INTEGER* VOC,VOC1,AL,NP1,NPF,NP1,I,N;
*READ*(105,PROF)VOC1,VOC,N,AL,NP1,NPF,NP1;
FORM:'FORMAT'(2014);
*WRITE*(108,PROF)VOC1,VOC,N,AL,NP1,NPF,NP1;
PRT:'FORMAT'(157) NOMBRE D ELEMENTS DE L ALPHABET DU LANGAGE REGULIER
K',10X,15/ NOMBRE D ELEMENTS DE L ALPHABET DE LA GRAMMAIRE',10X,15/ NO
MBRE D ELEMENTS DE L ALPHABET AUXILIAIRE DE G',64X,15 / NOMBRE DE LETTR
ES DE LA PHRASE A ANALYSER',21X,15/ NOMBRE D ELEMENTS DU GRAPHE ASSOCIE
A K',24X,15/ NOMBRE D ELEMENTS DU TABLEAU DES FAMILLES DU GRAPHE ASSOC
IE',4X,15/ ADRESSE DANS LE TABLEAU DES FAMILLES DE LA SOUS FAMILLE COMY
ONE',15//);
*BEGIN*
*INTEGER* *ARRAY* IA1(1:NP1//),IA2(1:NP1//),TS(1:NPF//),ALPHA(1:AL//)
*PROCEDURE* TEST A *BEGIN* *END*;
*INTEGER* *PROCEDURE* PETITHX // *VALUE* X // *INTEGER* X //
PETITH:=IF X > N+VOC THEN X-VOC ELSE 0 //
*INTEGER* *PROCEDURE* GIX // *VALUE* X // *INTEGER* A //
G:=IF (X=1) OR (X=NP1) THEN 0 ELSE X //
*INTEGER* *PROCEDURE* EMPLEX // *INTEGER* X // EMP:=IA2(X//)

```

#### PROCEDURE TRAVEM

```

*READ*(105,PROF)*FOR I:=1*STEP 1*UNTIL NP1*DO*(IA1(I//),
*FOR I:=1*STEP 1*UNTIL NP1*DO*(IA2(I//),
*FOR I:=1*STEP 1*UNTIL NPF*DO*(TS(I//));
*READ*(105,PROF)*FOR I:=1*STEP 1*UNTIL AL*DO*(ALPHA(I//));
*WRITE*(108,PROF)*FOR I:=1*STEP 1*UNTIL AL*DO*(ALPHA(I//));
PROF:'FORMAT'(157) PHRASE A ANALYSER :',( ' ',2014));
TRAVEM
*END* *END*;
JLOAD (GO),(UNSAT,(ALGLIB),(F4LIB)),(MAP)
JRUN
JPPDI
JDATA
14 7 4 15 20 26 0
SCS 300
1 2 3 5 6 7 8 10 12 13 14 15 16 17 18 19 20 20 20
1 2 5 4 4 5 10 11 0 6 3 7 4 5 7 5 12 13 14
-2 -3 4 -5 -6 -0 -7 8 -10 13 -12 -11 -14 -10 -19 -15 -17 -19 -17
7 17 8 78 19 -20
5 5 5 5 5 0 0 6 6 6 6 6 7 7 7
JECCL

```

```

'PROCEDURE' TRAVEM ;
'BEGIN'
'INTEGER' F,IP,IP1,Q,Q1,LR,X,X1,Y,Z,Z1;
'BOOLEAN' TERM,TERM1;
'HEAD'(105,FORMA)IP,LR ;
FORMA:'FORMAT'(2I4);
'BEGIN'
'INTEGER''ARRAY' PILATT(/1:LR/),PILE(/1:IP/);
'PROCEDURE' EXTRAC;
'BEGIN'
'INTEGER' I ;
'WRITE'(108,F) 'FOR' I:=1 'STEP' 1 'UNTIL' LR 'DO'
(G(EMP(ABS(TS(/PILATT(/I/))))));
F : 'FORMAT'( '0'.ANALYSE :'. (' ',30I3));
'END';
'WRITE'(108,FMT);
FMT: 'FORMAT'('////30X.'*****ANALYSE PAR EMPILEMENT ET RETOUR ARR
ERE*****//40X.'*****);
IP:=0:=PILE(/1/):=1;LR:=0; TERM:=TERM1:='FALSE' ;
ICI:
Y:='IF' LR 'NE' 0 'THEN' TA1(/ABS(TS(/PILATT(/LR/))))'ELSE' TA1(/1/);
LA : X:= TS(/Y/); A1:=ABS(A);
Z:=EMP(X1);
'IF' Z<=VOC1 'THEN' 'BEGIN' IP1:=IP+1; PILE(/IP1/):=Z 'END'
'ELSE' 'IF' Z<=VOC1+PILE(/IP/) 'THEN' IP1:=IP-1 'ELSE' 'GOTO' LABA;
F:=PETITH(G(Z));
'IF' F 'NE' 0 'THEN' 'BEGIN'
'IF' TERM 'OR' F 'NE' ALPHA(/Q/) 'THEN' 'GOTO' LABA ;
'IF' Q=AL 'THEN' TERM1:='TRUE' 'ELSE' Q1:=Q1+1
'END'
'ELSE' Q1:=Q;
TEST ;
'IF' TERM 'AND' (A1=NPG1) 'THEN' 'BEGIN'
EXTRAC ; TERM1:='FALSE' ;
Q1:=AL+1 ; 'GOTO' LABA
'END';
LR:=LR+1; PILATT(/LR/):=Y ; IP:=IP1; Q:=Q1 ; TERM:=TERM1; 'GOTO' ICI ;
LABA :
'IF' TS(/Y/) > 0 'THEN' 'BEGIN'
Y:= 'IF' TS(/Y+1/) = 0 'THEN' NP1 'ELSE' Y+1;
'GOTO' LA
'END';
'IF' LR=0 'THEN' 'GOTO' FIN ;
Z:=ABS(TS(/PILATT(/LR/))); A1:=EMP(Z); F:=PETITH(G(Z));
'IF' Z1<=VOC1 'THEN' IP:=IP+1
'ELSE' 'BEGIN' IP:=IP+1; PILE(/IP/):=Z1-VOC1 'END';
'IF' F 'NE' 0 'THEN' 'BEGIN'
'IF' TERM 'THEN' TERM1:=TERM1:='FALSE'
'ELSE' 'IF' Q1 'NE' AL+1 'THEN' Q:=Q-1 'ELSE' Q1:=AL
'END';
Y:=PILATT(/LR/); LR:=LR-1; 'GOTO' LABA ;
FIN: 'END' 'END';

```

ANNEXE III

Exemple d'une "analyse descendante prédictive"

- Soit la grammaire,  $G = (N \cup T, ::=, X)$  donnée par ses règles :

$$N = \{ A, C, X \} \quad T = \{ a, b, c \}$$

$$X ::= AC \mid C$$

$$A ::= aAb \mid ab$$

$$C ::= cC \mid c$$

La structure compatible associée est :  $S_3 = (V_1, I_{V_1}, K, h)$

Le graphe des transitions,  $gl_1$ , du langage local  $L_3$  tel que  $K = t_3(L_3)$  est donné par les tableaux TA1 et TS ; la transcription  $t_3$  est définie par le tableau TA2 ; l'application  $C_2$  codifie l'alphabet  $N \cup T$ .

|     |   |   |   |   |   |   |    |    |    |    |    |    |    |    |    |    |    |    |    |    |
|-----|---|---|---|---|---|---|----|----|----|----|----|----|----|----|----|----|----|----|----|----|
|     | 1 | 2 | 3 | 4 | 5 | 6 | 7  | 8  | 9  | 10 | 11 | 12 | 13 | 14 | 15 | 16 | 17 | 18 | 19 | 20 |
| TA1 | 1 | 2 | 3 | 5 | 6 | 7 | 8  | 10 | 12 | 13 | 14 | 15 | 16 | 17 | 18 | 19 | 20 | 20 | 20 | 0  |
| TA2 | 1 | 2 | 9 | 4 | 4 | 3 | 10 | 11 | 6  | 6  | 3  | 7  | 4  | 5  | 7  | 5  | 12 | 13 | 14 | 8  |

|    |     |     |    |    |    |    |    |    |     |    |     |     |     |     |     |     |     |
|----|-----|-----|----|----|----|----|----|----|-----|----|-----|-----|-----|-----|-----|-----|-----|
|    | 1   | 2   | 3  | 4  | 5  | 6  | 7  | 8  | 9   | 10 | 11  | 12  | 13  | 14  | 15  | 16  | 17  |
| TS | -2  | -3  | 4  | -5 | -6 | 8  | -7 | 9  | -10 | 13 | -12 | -11 | -14 | -16 | -19 | -15 | -17 |
|    | 18  | 19  | 20 | 21 | 22 | 23 | 24 | 25 | 26  |    |     |     |     |     |     |     |     |
|    | -19 | -17 | 3  | 7  | 17 | 8  | 18 | 19 | -20 |    |     |     |     |     |     |     |     |

|       |   |   |   |   |   |   |   |
|-------|---|---|---|---|---|---|---|
|       | # | X | A | C | a | b | c |
| $C_2$ | 1 | 2 | 3 | 4 | 5 | 6 | 7 |

$$N=4 \quad VOC=7 \quad NPG_1=20 \quad NPF=26$$

RUN  
PMD1  
ALGOL EXEC 17:56

|  |    |
|--|----|
| NOMBRE D ELEMENTS DE L ALPHABET DU LANGAGE REGULIER K                | 14 |
| NOMBRE D ELEMENTS DE L ALPHABET DE LA GRAMMAIRE                      | 7  |
| NOMBRE D ELEMENTS DE L ALPHABET AUXILIAIRE DE G                      | 4  |
| NOMBRE DE LETTRES DE LA PHRASE A ANALYSER                            | 8  |
| NOMBRE D ELEMENTS DU GRAPHE ASSOCIE                                  | 20 |
| NOMBRE D ELEMENTS DU TABLEAU DES FAMILLES DE LA SOUS FAMILLE COMMUNE | 26 |
| ADRESSE DANS LE TABLEAU DES FAMILLES DE LA SOUS FAMILLE COMMUNE      | 0  |

PHRASE A ANALYSER :  
5 5 6 6 7 7

\*\*\*\*\* ANALYSE AVEC TRAITEMENT EN PARALLELE \*\*\*\*\*  
\*\*\*\*\*

ANALYSE :  
14 7 11 14 7 4 11 13 13 13 12 5 6 10 12 5 3 6 10 12 5 3 6 10 3 4 9 2

RUN  
PMDI  
ALGOL EXEC 17:55

|   |   |    |
|---|---|----|
| NUMBRE D ELEMENTS DE L ALPHABET DU LANGAGE REGULIER             | X | 14 |
| NUMBRE D ELEMENTS DE L ALPHABET DE LA GRAMMAIRE                 |   | 7  |
| NUMBRE D ELEMENTS DE L ALPHABET AUXILIAIRE DE G                 |   | 4  |
| NUMBRE DE LETTRES DE LA PHRASE A ANALYSER                       |   | 15 |
| NUMBRE D ELEMENTS DU GRAPHE ASSOCIE                             |   | 20 |
| NUMBRE D ELEMENTS DU TABLEAU DES FAMILLES DU GRAPHE ASSOCIE     |   | 26 |
| ADRESSE DANS LE TABLEAU DES FAMILLES DE LA SONS FAMILLE COMMUNE |   | 0  |

PHRASE A ANALYSER :  
5 5 5 5 5 6 6 6 6 6 7 7 7

\*\*\*\*\* ANALYSE PAR EMPILEMENT ET RETOUR ARRIERE \*\*\*\*\*

\*\*\*\*\*

ANALYSE :  
2 9 4 3 13 6 3 5 12 13 6 3 5 12 10 6 3 5 12 10 6 3 5 12 10  
6 5 12 13 13 13 13 13 11 4 7 14 11 4 7 14 11 7 14

Interprétation des résultats

I) Analyse avec traitement en parallèle

- La phrase à analyser est :

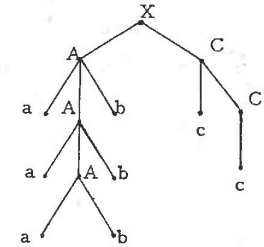
$\alpha = a a a b b b c c$

- Résultat de l'analyse

X  $\bar{X} C A \bar{A} b A a \bar{a} \bar{A} b A a \bar{a} \bar{A} b A a \bar{a} \bar{A} b a \bar{a} \bar{b} \bar{b} \bar{b} \bar{c} C c \bar{c} \bar{C} c \bar{c}$

. Le résultat obtenu sur le listing est, en fait, le mot réfléchi de l'analyse du mot  $\alpha$ .

- Ramification associée à l'analyse



II) Analyse par empilement et retour-arrière

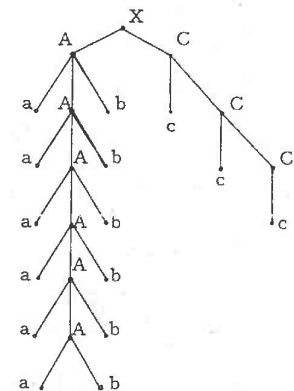
- La phrase à analyser est :

$\alpha = a a a a a b b b b b b c c c$

- Résultat de l'analyse

X  $\bar{X} C A b A a \bar{a} \bar{A} b a \bar{a} \bar{b} \bar{b} \bar{b} \bar{b} \bar{b} \bar{b} \bar{c} C c \bar{c} \bar{C} C c \bar{c} \bar{C} c \bar{c}$

- Ramification associée à l'analyse



REFERENCES

- [1] C. PAIR < Etude de la notion de pile ; application à l'analyse syntaxique >  
(Collection des thèses de la faculté des Sciences . 1965).
- [2] C. PAIR et A. QUERE  
< Définition et étude des bilangages réguliers >. (Information  
and control 13 (1968) p. 565. 593)
- [3] C. PAIR et A. QUERE  
Cours de D. E. A. : Théorie des langages (1967).
- [4] C. PAIR < Sur des notions algébriques liées à l'analyse syntaxique > .  
(Exposé fait le 10 mars 1969 au centre d'Automatique de l'Ecole  
des Mines, à Fontainebleau ; Revue Française d'Informatique,  
1970 p. 329).
- [5] B. STUDENMANN  
< Rapport de D. E. A. > (Centre de Calcul Automatique de Nancy,  
1969-1970).
- [6] N. CHOMSKY et M. P. SCHUTZENBERGER  
< The algebraic theory of context-free languages. Computer  
programming and formal systems > (Braffort. Hirschberg,  
editors North Holland Amsterdam . 1963, p. 188. 161 .
- [7] S. GINSBURG  
< The mathematical theory of context-free languages >  
(Mac Graw. Hill, New-York, 1966).
- [8] C. BERGE < Théorie des graphes et ses applications > (Dunod, Paris 1967).
- [9] J. LOECKX < An algorithm for the construction of bounded-context parsers >  
(Communication ACM 13 may 1970).
- [10] R. W. FLOYD  
< Bounded-context syntactic analysis > (Communication ACM  
7 february 1964 p. 62. 67).
- [11] D. E. KNUTH  
< On the translation of languages from left to right > (Information  
and Control, décembre 1965).
- [12] D. E. KNUTH  
< Top down syntax analysis >.  
International Summer School on Computer Programming,  
Copenhagen (1967).

NOM DE L'ETUDIANT : LEMAIRE Claude

Nature de la thèse : Doctorat de Spécialité en Mathématiques Appliquées

Vu, Approuvé

et permis d'imprimer

NANCY, le 2 octobre 1971

Le Président du Conseil de l'Université de NANCY

A handwritten signature in dark ink, appearing to read 'HELLUY', is written over a circular stamp. The stamp is partially obscured by the signature and contains some illegible text.

J.R. HELLUY